

**YILDIZ TEKNİK ÜNİVERSİTESİ
FEN BİLİMLERİ ENSTİTÜSÜ**

**BALIKÇI GEMİLERİ FORM PARAMETRELERİNİN ÖN
DİZAYN AŞAMASINDA PRATİK STABİLİTE
KRİTERLERİ ACISINDAN İNCELENMESİ**

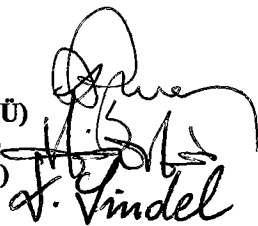
79143

Gemi İnş.Yük.Müh. Hüseyin YILMAZ

**FBE Gemi İnşaatı Mühendisliği Anabilim Dalı Gemi İnşaatı Mühendisliği Programında
Hazırlanan**

DOKTORA TEZİ

**Tez Savunma Tarihi : 15 Aralık 1998
Tez Danışmanı : Prof. Dr. İ. Reşat ÖZKAN (İTÜ)
Jüri Üyeleri : Prof. Dr. Nihat TEKİN (YTÜ)
 : Doç. Dr. Demir SİNDEL (İTÜ)**



İSTANBUL, 1998

79143

İÇİNDEKİLER

	Sayfa
SİMGE LİSTESİ	<i>iv</i>
KISALTMA LİSTESİ	<i>vii</i>
ŞEKİL LİSTESİ	<i>viii</i>
TABLO LİSTESİ	<i>x</i>
ÖNSÖZ	<i>xi</i>
ÖZET	<i>xii</i>
ABSTRACT	<i>xiii</i>
1. GİRİŞ	1
1.1 Stabilite Kavramı	1
1.2 Çalışmanın Amacı	3
2. TARİHÇE ve YAPILMIŞ ÇALIŞMALAR	5
3. GEMİ YALPA HAREKETİ ve STABİLİTESİ	15
3.1 Giriş	15
3.2 Zorlanmış Yalpa Hareketinin Denklemi	15
3.3 Zorlanmış Yalpa Hareketinin Stabilitesi - Pratik Stabilite	18
3.3.1 Pratik stabilite bölgesi	21
3.3.2 Pratik stabilite bölgesinin oluşturulması	23
3.4 GM Kriteri	26
3.5 Φ_m Kriteri	28
4. ÖNDİZAYN AŞAMASINDA STABİLİTE ANALİZİ	30
4.1 Stabilite Çapraz Eğrilerinin Modellenmesi (KN-Φ)	32
4.2 KB ve BM Değerlerinin Modellenmesi	34
4.3 Ağırlık Merkezinin Yaklaşık Olarak Modellenmesi	36
4.4 Stabilite Kriterlerinin Uygulanması	39
4.4.1 Kütle ve eksu kütlesi atalet momentinin hesabı	39
4.4.2 Doğrultma momentinin hesabı	40
4.4.3 Maksimum dalga momentinin hesabı	42
4.4.4 Rüzgar sağanağı momentinin hesabı	42
4.4.5 Sönüm momentinin hesabı	42
4.4.6 Sönüm momenti ile zorlamaların kesişmesi	43
4.4.7 Doğrultma momenti ile zorlamaların kesişmesi	44
4.4.8 Pratik stabilite bölgesinin noktalarının bulunması	44

	Sayfa
4.4.9 GM_r kriterinin uygulanması	47
4.4.10 Φ_{m_r} kriterinin uygulanması	47
5. UYGULAMA	48
6. SONUÇLAR ve ÖNERİLER	78
KAYNAKLAR	81
EKLER	87
Ek 1 Uygulamada Kullanan Balıkçı Gemilerinin Ofset Yarı Genişlikleri	87
Ek 2 Balıkçı Gemileri İçin Pratik Stabilite Kriterlerini Uygulama Tabloları	102
ÖZGEÇMİŞ	106

SİMGE LİSTESİ

A	Rüzgara açık gemi yanal projeksiyon alanı
A_1	Zorlamaların maksimum pozitif değeri
A_{30}	GZ eğrisi altında kalan alan ($\Phi=0$ ile $\Phi=\Phi_{30}$ arasında)
A_{40}	GZ eğrisi altında kalan alan ($\Phi=0$ ile $\Phi=\Phi_{40}$ arasında)
A_{Φ_m}	GZ eğrisi altında kalan alan ($\Phi=0$ ile $\Phi=\Phi_m$ arasında)
A_{Φ_v}	GZ eğrisi altında kalan alan ($\Phi=0$ ile $\Phi=\Phi_v$ arasında)
a_i	KN değerini hesaplamada kullanılan regresyon katsayıları
a'_1, a'_2	Doğrultma momenti eğrisi ile zorlamaların (A_1) kesişim noktaları
$a(\bar{r})$	Negatif olmayan sürekli artan bir fonksiyon
B	Gemi kalıp genişliği
B_{ij}	Sönüm momenti fonksiyonu katsayıları
BG	Geminin hacim ve ağırlık merkezleri arasındaki düşey mesafe
BM	Metasantr yarıçapı
b'_1	Sönüm momenti fonksiyonu ile zorlamaların kesişim noktası
b_{ij}	a_i katsayılarını hesaplamada kullanılan regresyon katsayıları
$b(\bar{r})$	Pozitif sürekli artan bir fonksiyon
C_B	Blok katsayısı
C_P	Prizmatik katsayı
C_{WL}	Su hattı alan katsayısı
C_{ij}	Doğrultucu moment fonksiyonu katsayıları
c	(I+J) ile boyutsuzlaştırılmış lineer sönüm katsayısı
c_i	Dokuzuncu derece doğrultucu moment kolu fonksiyonunun katsayıları
c_{ijk}	b_{ij} katsayılarını hesaplamak için bulunan regresyon katsayıları
D	Gemi derinliği
E	Maksimum dalga zorlamasının pozitif (I+J) 'ye bölünmüş değeri
E_1	Dalga zorlamasının mutlak değeri
E_n^a	n boyutlu Euclid uzayı
$e(t)$	(I+J) 'ye bölünmüş zamana bağlı dalga yatırma momenti
$e_1(t)$	Zamana bağlı dalga yatırma momenti
F	Genel olarak dış zorlama kuvvetleri
$f(\dot{\Phi})$	(I+J) 'ye bölünmüş lineer olmayan sönüm momenti fonksiyonu
$f_l(\dot{\Phi})$	Lineer olmayan sönüm momenti fonksiyonu
G	Gemi ağırlık merkezinin yeri
$G(\Phi)$	Doğrultma momentinin yaptığı iş (potansiyel enerji)
GM	Başlangıç metasantr yüksekliği
GZ	Doğrultucu moment kolu
GZ_{max}	Doğrultucu moment kolumnun maksimum değeri
g	Yerçekimi ivmesi
$g(\Phi)$	(I+J) 'ye bölünmüş doğrultma momenti fonksiyonu

$g_1(\Phi)$	Doğrultma momenti fonksiyonu
H_w	Dalga yüksekliği
$H_{1/3}$	Karakteristik dalga yüksekliği
h	Rüzgar moment kolu
h_1h_2	Suya giren-çıkan sıgillerin hacim merkezleri arasındaki yatay mesafe
I	Gemi kütle atalet momenti
I_x	Su hattı enine atalet momenti
J	Eksu kütle atalet momenti
KB	Sephije merkezinin düşey yeri
KG	Ağırlık merkezinin omurgadan düşey mesafesi
K_i	KB yi hesaplamak için kullanılan regresyon katsayıları
KM	Metasantr noktasının omurgadan yüksekliği
KN	Omurgadaki doğrultucu moment kolu
k	Viskoz sönüm katsayısını hesaplamada kullanılan katsayı
L	Geminin kaimeler arası boyu
M	Genelleştirilmiş kütle atalet momenti
M_a	Kütle atalet momentleri
M_s	Sönüm kuvvetlerinin momentleri
M_d	Yay veya gemiyi doğrultmak için meydana gelen kuvvetlerin momentleri
M_w	Zamana bağlı dış kuvvetlerin momentleri
P	Rüzgar basıncı
P_i	Pratik stabilite bölgesini oluşturan eğrilerin uç noktaları
T	Geminin dizayn draftı
T_c	Geminin yükleme durumundaki su çekimi
T'	Çeyrek yalpa peryodu
T_Φ	Yalpa peryodu
T_w	Ortalama dalga peryodu
t_0	Başlangıç zamanı
t	Zaman boyutu
V	Lyapunov fonksiyonu
$\dot{V}(\bar{\Phi}, t)$	Lyapunov fonksiyonunun konuma ve zamana bağlı türevi
V_i	Pratik stabilite bölgesini oluşturan eğri parçaları
W	Gemi ağırlığı
WM	(I+J) 'ye bölünmüş rüzgar momenti
WM_1	Rüzgar momenti
X_i	Regresyon formülünde kullanılan gemi dizayn parametreleri
Z_i	Boyutlu dış zorlama momentleri
α	Sıfırdan büyük herhangi bir sayı
β	Başlangıç zamanından bağımsız pozitif bir sayı
$\vec{\gamma}$	Genel olarak ivme alanı
Δ	Gemi deplasmanı

Δ^*	n+1 boyutlu Euclid uzayı
δ	Gemi yüksekliğinin - yükleme durumundaki su çekimine oranı (D/T _c)
λ	Dalga boyu
σ	Dinamik sistemin maruz kalabileceği zorlamaların toplamı
∇	Deplasman hacmi
I	Zaman aralığı
Φ	Yalpa açısı
Φ_F	Geminin açık mahallerine su girme açısı
$\bar{\Phi}$	n boyutlu durum vektörü
$\bar{\Phi}(0)$	Dinamik bir sistemde hareketin başlangıç konumu
$\bar{\Phi}(t)$	Dinamik bir sistemde hareketin zamana bağlı konumu
$\dot{\Phi}$	Yalpa açısal hızı
$\ddot{\Phi}$	Yalpa ivmesi
Φ_m	Maksimum GZ değerine tekabül eden açı değeri
Φ_v	Stabilitenin kaybolduğu açı
Ω^*	Dinamik bir sistemin hareketinin emniyetli olduğu bölge
Ω_0^*	Dinamik bir sistemde hareketin başlangıç bölgesi
ω	Dalga karşılaşma frekansı
\forall	Her için
()	Zamana göre türev

Not: Tüm değerler SI birimlerindedir. Sembollerde ITTC 1990 konferansında önerilen standartlar referans alınmıştır.

KISALTMA LİSTESİ

BN	Beaufort Number
BSRA	The British Ship Research Association
DOUST	Doust Optimized Trawler Forms
IMCO	Inter-Govermental Maritime Consultative Organisation
IMO	International Maritime Organisation
İTÜ	İstanbul Teknik Üniversitesi
SOLAS	Safety of Life at Sea
UBC	University of British Columbia

ŞEKİL LİSTESİ

	Sayfa
Şekil 1.1 Sakin suda dengede olan bir gemiye etkiyen kuvvetler	2
Şekil 1.2 Sakin suda Φ açısı kadar yalpa yapan gemiye etkiyen kuvvetler	2
Şekil 1.3 Doğrultma moment kolu eğrisi (GZ- Φ)	2
Şekil 2.1 Meyilli bir geminin geometrik özellikleri	8
Şekil 2.2 Rahola istatistik stabilite kriteri	8
Şekil 3.1 Yalpa hareketi için pratik stabilitenin fiziksel ve topolojik gösterilimi	19
Şekil 3.2 Pratik stabilite bölgesi	23
Şekil 3.3 Sönüm momenti ile zorlama momentinin kesişimi	24
Şekil 3.4 Doğrultma momenti ile zorlama momentinin kesişimi	25
Şekil 4.1 Meyilli bir geminin geometrik özellikleri	30
Şekil 4.2 Öndizayn aşamasında stabilite analizini gösteren akış şeması	31
Şekil 4.3 Gerçek ve regresyon formülü ile bulunan KG değerlerinin karşılaştırılması	36
Şekil 4.4 Statik stabilite eğrisi	40
Şekil 4.5 Sönüm momenti ve zorlamalar	43
Şekil 4.6 Doğrultma moment kolu ve zorlamalar	44
Şekil 4.7 Pratik stabilite bölgesinin çizilmesi	45
Şekil 5.1a Uygulamada kullanılan balıkçı gemilerinin KN- Φ değerlerinin karşılaştırılması	53
Şekil 5.1b Uygulamada kullanılan balıkçı gemilerinin KN- Φ değerlerinin karşılaştırılması	54
Şekil 5.1c Uygulamada kullanılan balıkçı gemilerinin KN- Φ değerlerinin karşılaştırılması	55
Şekil 5.1d Uygulamada kullanılan balıkçı gemilerinin KN- Φ değerlerinin karşılaştırılması	56
Şekil 5.1e Uygulamada kullanılan balıkçı gemilerinin KN- Φ değerlerinin karşılaştırılması	57
Şekil 5.2 Uygulamada kullanılan gemilerin KM değerlerinin karşılaştırılması	58
Şekil 5.3 $L/\nabla^{1/3}$ oranının KM üzerine etkisi	59
Şekil 5.4 B/T oranının KM üzerine etkisi	59
Şekil 5.5 C_B nin KM üzerine etkisi	60
Şekil 5.6 $L/\nabla^{1/3}$ oranının KG üzerine etkisi	60
Şekil 5.7 B/T oranının KG üzerine etkisi	61
Şekil 5.8 C_B 'nin KG üzerine etkisi	61
Şekil 5.9 $L/\nabla^{1/3}$ oranının GM üzerine etkisi	62
Şekil 5.10 B/T oranının GM üzerine etkisi	62
Şekil 5.11 C_B 'nin GM üzerine etkisi	63
Şekil 5.12 $L/\nabla^{1/3}$ oranının Φ_m kriteri üzerine etkisi	66
Şekil 5.13 $L/\nabla^{1/3}$ oranının Φ_m kriteri üzerine etkisi, BN = 4 - 8 arasında	66

	Sayfa
Şekil 5.14 B/T oranının Φ_m kriteri üzerine etkisi	67
Şekil 5.15 B/T oranının Φ_m kriteri üzerine etkisi, BN = 4 - 8 arasında	67
Şekil 5.16 C_B 'nin Φ_m kriteri üzerine etkisi	68
Şekil 5.17 C_B 'nin Φ_m kriteri üzerine etkisi, BN = 4 - 8 arasında	68
Şekil 5.18 $L/\nabla^{1/3}$ oranının GM kriteri üzerine etkisi	69
Şekil 5.19 $L/\nabla^{1/3}$ oranının GM kriteri üzerine etkisi, BN = 4 - 8 arasında	69
Şekil 5.20 B/T oranının GM kriteri üzerine etkisi	70
Şekil 5.21 B/T oranının GM kriteri üzerine etkisi, BN = 4 - 8 arasında	70
Şekil 5.22 C_B 'nin GM kriteri üzerine etkisi	71
Şekil 5.23 C_B 'nin GM kriteri üzerine etkisi, BN = 4 - 8 arasında	71
Şekil 5.24 BN = 4 deniz durumunda 1 nolu gemi için pratik stabilite bölgesi	73
Şekil 5.25 BN = 5 deniz durumunda 1 nolu gemi için pratik stabilite bölgesi	73
Şekil 5.26 BN = 6 deniz durumunda 1 nolu gemi için pratik stabilite bölgesi	74
Şekil 5.27 BN = 7 deniz durumunda 1 nolu gemi için pratik stabilite bölgesi	74
Şekil 5.28 BN = 8 deniz durumunda 1 nolu gemi için pratik stabilite bölgesi	75
Şekil 5.29 Bütün deniz durumlarında 1 nolu gemi için pratik stabilite bölgesi	75
Şekil 5.30 $L/\nabla^{1/3}$ oranının pratik stabilite bölgesi üzerine etkisi	76
Şekil 5.31 B/T oranının pratik stabilite bölgesi üzerine etkisi	76
Şekil 5.32 C_B 'nin pratik stabilite bölgesi üzerine etkisi	77
Şekil E2.1 Meyilli bir geminin geometrik özelliklerı	105
Şekil E2.2 GZ-Φ eğrisi	105
Şekil E2.3 Doğrultma momenti ve zorlamalar	105
Şekil E2.4 Sönüm momenti ve zorlamalar	105
Şekil E2.5 Pratik stabilite bölgesi	105

TABLO LİSTESİ

	Sayfa
Tablo 4.1 KN-Φ değerlerinin hesabı için bulunan regresyon katsayıları	35
Tablo 4.2a KG'nin modellenmesinde kullanılan balıkçı gemileri	37
Tablo 4.2b KG'nin modellenmesinde kullanılan balıkçı gemileri	38
Tablo 5.1 Örnek gemilerin ana boyutları	49
Tablo 5.2 Kaide hattındaki doğrultucu moment kolu değerleri (KN-Φ)	50
Tablo 5.3 Doğrultucu moment kolu değerleri (GZ-Φ)	51
Tablo 5.4 Statik stabilite karakteristikleri	52
Tablo 5.5 Rüzgar ve deniz durumu tablosu	65

ÖNSÖZ

Gemilerin denizdeki güvenliğini sağlama amacıyla yönelik olan ve yüksek lisans çalışmalarımın devamı niteliğini taşıyan bu çalışmada, her türlü bilgi ve tecrübelerinden istifade ettiğim başta değerli hocam Sayın Prof. Dr. İ. Reşat ÖZKAN 'a en içten teşekkürlerimi sunarım.

Çalışmalarım boyunca fikir ve önerileriyle katkılarından dolayı Prof. Dr. A.Yücel ODABAŞI, Prof. Dr. Abdi KÜKNER ve Doç. Dr. Ahmet Dursun ALKAN'a, özverili yardımcıları ile her zaman benden maddi ve manevi desteğini esirgemeyen Doç. Dr. Mesut GÜNER ve Yük. Müh. Tamer YILMAZ'a , bilgisayar programları desteğiyle çalışmamda büyük kolaylık sağlayan Y. Müh. Yaşar GÜL'e, bilgisayar desteği ve bürokratik engellerin aşılmasında her türlü kolaylığı gösteren başta YTÜ Gemi İnşaatı Mühendisliği Bölümü Başkanı Prof. Dr. Nihat TEKİN ile yardımcısı Prof. Dr. Bahri ŞAHİN ve bölümümüzün tüm öğretim elemanlarına ve çalışanlarına teşekkür ederim.

Ayrıca, çalışmam süresince gösterdikleri anlayıştan dolayı ve her türlü maddi ve manevi desteğiyle daima yanında olan sevgili eşim Müslüman ve biricik oğlum F. Emre'ye sonsuz teşekkür ederim.

ÖZET

Devrilme olayı ve stabilite problemi, küçük gemiler için çok önemlidir. Bunlar içinde en fazla devrilme olaylarına özellikle balıkçı gemilerinde rastlanmaktadır. Bu nedenle devrilme olayı ve stabilite problemini gemi ön dizayn aşamasında incelemek, gemilerin ileride maruz kalabileceği tehlikeli durumlara karşı güvenliğini artırmak açısından gereklidir. Bununla birlikte, stabilite analizinde kullanılan kriterlerin de güvenilir olması istenmektedir. Bundan dolayı bu çalışmada, dalgı ve rüzgar gibi zorlayıcı etkiler altındaki bir geminin lineer olmayan yalpa hareketinin analizine dayanarak Özkan tarafından geliştirilen Pratik Stabilite Kriterleri kullanılmıştır. Kriterlerin elde edilmesinde pratik stabilite ve üniform sınırlılık tanımlarından yararlanılmıştır.

Bu çalışmada bu kriterlerin düzenlenerek balıkçı gemilerinin ön dizaynında uygulanabilir hale getirilmesi amaçlanmıştır. Aynı zamanda gemi form parametrelerinin stabilite açısından analizi yapılmıştır. Bu çerçevede balıkçı gemilerinin ön dizayn aşamasında başlangıç ve statik stabilite hesaplarının form parametrelerine bağlı olarak yapılabilmesi için istatistiksel metodlarla yaklaşık ifadeler elde edilmiştir. Bu ifadeler kullanılarak elde edilen sonuçların ön dizayn aşamasında yeterli yaklaşımı sağladığı yapılan uygulamalarla gösterilmiştir. Boy-deplasman oranı, genişlik-draft oranı ve blok katsayısının stabilite kriterleri üzerine etkisi incelenmiştir. Özellikle sabit deplasmanda, genişlik-draft oranı artışının başlangıç stabilitesini olumlu fakat büyük açılardaki stabiliteyi olumsuz etkilediği yapılan uygulamalarla gösterilmiştir. Diğer yandan, yalpa hareketinin faz düzleminde gösterilmesini sağlayan pratik stabilite bölgesi ile, geminin çalışacağı deniz durumuna göre devrilme açısının tespit edilebileceği gösterilmiştir.

Anahtar kelimeler : balıkçı gemisi, başlangıç stabilitesi, ön dizayn, pratik stabilite kriterleri, statik stabilite, yalpa hareketi

ABSTRACT

Capsizing phenomena and stability are very important problem for the small ships. Especially, in fishing vessels, these cases come across. Hence, investigation of the capsizing phenomena and stability problem during the preliminary design of the ship is very significant and necessary in order to increase safety of ship against the dangerous conditions that ship may encounter. Moreover, it is worth emphasizing that the criteria used in the stability analysis should be reliable for real application. Therefore, Practical Stability Criteria based on analysis of nonlinear roll motion, which is taken into account of wave and wind forces effects, developed by Özkan, is used in this study. In developing this criteria, practical stability and uniform boundedness definitions have been used.

In this study, it is aimed that this criteria is modified to be applicable for preliminary design of fishing vessels. At the same time, form parameters of vessels have been analyzed from the point of view of stability. Within this context, approximate formulations are obtained by statistical methods in order to calculate initial and statical stability of fishing vessels in related to form parameters in preliminary design stage. It is shown that the results obtained by application of these formulations are in good agreement with real values. Effects of length-displacement ratio, beam-draft ratio, and block coefficient on stability criteria have been investigated. Particularly, it is demonstrated that increasing of the beam-draft ratio with constant displacement has a positive effect on initial stability, but it has negative effect at large angles stability. On the other hand, for a given sea state, it is demonstrated to estimate the capsizing angle by using the practical stability domain which provides the illustration of roll motion in phase plane.

Keywords : fishing vessel, initial stability, practical stability criteria, preliminary design, rolling motion, statical stability

1. GİRİŞ

1.1. Stabilite Kavramı

Stabilite kavramı, özellikle kontrol sistemleri ve diğer dinamik sistemlerin dizaynı için çok önemli bir anlam ifade etmektedir. Mühendislik sistemlerinde stabilite terimi, sistemin orijinal durumundan sapması sonucu oluşan hatanın belirli bir bölge içinde kalması veya sıfıra yani denge konumuna dönmesi olarak tanımlanır.

Bütün mühendislik dallarında kullanılan stabilite, gemi mühendisliğinde de önemli yer tutmaktadır. Gemi stabilitesi kavramı içinde, geminin enine, boyuna ve yönsel stabilitesi düşünülür. Bunlardan en önemlisi, devrilme olayı ile yakından ilgili olan ve bu çalışmada dikkate alınan, gemilerin enine stabilitesidir. Herhangi bir iç veya dış etki sonucu yalpa yapan bir geminin bu etkinin ortadan kalkmasıyla eski konumuna dönmesi veya dönmemesi geminin enine stabilitesi kavramı içerisinde düşünülür.

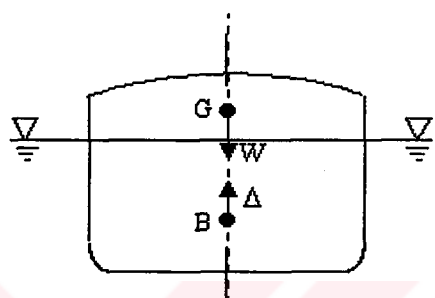
Günümüzde kullanılmakta olan stabilite kriterleri geminin daha çok statik ve geometrik özelliklerine dayanmaktadır ve bunların çıkartılmasında istatistiksel bilgilerden yararlanılmıştır. Bu kriterler; gemiyi iki zıt bileşke kuvvetin etkisi altında su yüzeyinde yüzmekte olan rijit bir cisim olarak kabul etmektedir. Gemiye etki eden kuvvetler, gemi ağırlık merkezinden etki ettiği kabul edilen geminin ağırlığı W ile, su altında kalan kısmının hacim merkezinden etki eden Δ , suyun kaldırma kuvvetidir (Şekil 1.1). Gemi herhangi bir sebeple Φ açısı kadar yalpa yaptığından gemiyi doğrultmak için meydana gelen moment aşağıdaki şekilde ifade edilmektedir (Şekil 1.2).

$$W = \Delta \quad (1.1)$$

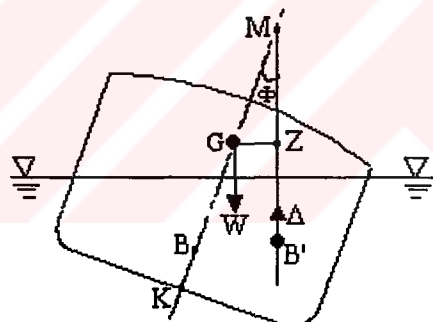
$$M_d = \Delta \times GZ \quad (1.2)$$

(1.2) denklemindeki GZ değeri Φ meyil açısından doğrultucu moment kolu olarak isimlendirilir ve stabilite değerlendirme ölçüsü olarak kullanılmaktadır (Şekil 1.3).

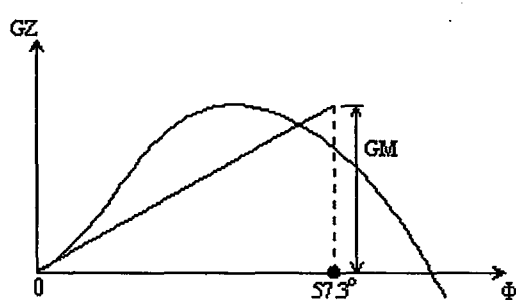
Balıkçı gemileri için halen uygulamakta olan stabilite kriterlerini iki ana gruba ayırmak mümkündür. İlk grup Rahola (1939) temelli kriterlerdir, International Maritime Organization, Karar A.168 dir (IMO,1993). Bu kriterlerde stabilite ölçüsü olarak kullanılan doğrultucu moment kolu eğrisi altındaki alan; geminin tipine, büyüklüğüne ve çalıştığı deniz şartlarına bakılmaksızın aynı olmaktadır. Diğer yandan bu kriterlerin elde edilmesinde yararlanılan gemi sayısının az olması, gemi tiplerinin, yükleme ve deniz şartlarının gemilerin devrilme anında farklılığı bu kriterlerin gerçekçiliğini ve genellenmesini engelleyen hususlardır.



Şekil 1.1 Sakin suda dengede olan bir gemiye etkiyen kuvvetler



Şekil 1.2 Sakin suda Φ açısı kadar yalpa yapan gemiye etkiyen kuvvetler



Şekil 1.3 Doğrultma moment kolu eğrisi (GZ- Φ)

İkinci grup stabilite kriterleri ise, deterministik stabilite kriterleri olarak bilinmekte ve gemiye belirli çevre şartlarında etkiyen dış kuvvetleri göz önüne almaktadır. Bu gruba giren, Sarchin ve Goldberg'in (1962) önerdikleri kriter, bir kısım düzeltmelerle 1985 de IMO Hava Kriteri olarak, Karar A14/562 (IMO, 1993), yürürlüğe girmiştir. Bu iki grup kriterde de sakin deniz şartları göz önüne alınmıştır. Bu tez çalışmasında önerilen kriterlerin temeli bu iki grup kriterden tamamen farklı olup ve gemi yalpa hareketi ile ortamın etkilerini göz önüne alan bir hareket denklemini nitelik açısından inceleyen bir stabilite analizine dayanmaktadır (Özkan, 1981).

1.2. Çalışmanın Amacı

Stabilite özellikle küçük gemiler için önemli bir sorun olup bunlar içinde de en fazla devrilme olaylarına balıkçı gemilerinde rastlanmaktadır. Halen mevcut (IMO) stabilite kriterlerini sağlamasına rağmen birçok balıkçı gemisi devrilmektedir. Bu da mevcut stabilite kriterlerinin yetersizliğini veya eksikliğini ortaya koymaktadır. Bu nedenle, bu çalışmada mevcut stabilite kriterlerine temel oluşturan statik denge prensibinin tam tersine, yalpa hareketi yapan bir geminin dinamik bir sistem olarak incelenmesi prensibi esas alınmıştır. Böylece sönüm, zorlama ve atalet terimlerinin de yer aldığı bir hareket denkleminin stabilite analizine dayanan ve ilk defa Özkan tarafından gündeme getirilen pratik (toplum) stabilite ile üniform sınırlılık kavramları çalışmanın temelini oluşturmuştur.

Bu çalışmanın amaçlarından biri, bu kavramların incelenmesi sonucu Özkan tarafından geliştirilen stabilite kriterlerinin balıkçı gemilerinin ön dizaynında uygulanabilir hale getirilmesidir. Diğer ise, geliştirilen bu kriterler yardımıyla, stabilite açısından gemi dizayn parametrelerinin analiz edilmesidir.

Bu çerçevede, çalışmada önerilen stabilite kriterlerinin uygulanmasında karşılaşılabilecek zorlukları aşmak için sistematik bir hesaplama yöntemi geliştirilmiş ve gemi ön dizayn aşamasında, uygulanabilmesi için gerekli yardımcı çalışmalar yapılmıştır. Bunların başında statik stabilite ($GZ-\Phi$) ve başlangıç stabilitesinin (GM) hesabı gelmektedir. Bilindiği gibi gemi ön dizayn aşamasında geminin sadece ana boyutları ve dizayn parametreleri bilinmektedir. Bundan dolayı bilinen bu parametreler yardımıyla yaklaşık stabilite hesabı

yapılması gerekmektedir. Statik stabilité ve başlangıç stabilitesinin hesaplarının yapılabilmesi için stabilité çapraz değerleri ($KN-\Phi$) ile gemi ağırlık merkezinin düşey yerinin (KG) bilinmesi gereklidir. Bu nedenle, öncelikle gemi dizayn parametrelerine bağlı olarak stabilité çapraz değerleri için regresyon analizi yardımıyla yaklaşık ifadeler elde edilmiştir. Hacim merkezinin düşey yeri, KB, ile enine metasantr yarıçapı, BM, için de benzer şekilde ifadeler çıkartılmıştır. Bu ifadeler sadece gemi formuna bağlı olduğundan balıkçı gemileri için bilinen serilerden yararlanılmış ve gerekli sayıda gemi formu üretilerek modelleme yapılmıştır.

Gemi ağırlık merkezinin düşey yeri olan KG ise gemi formu ile gemilerdeki ağırlık gruplarının dağılımına bağlıdır. Bundan dolayı KG için 80 adet, ağırlık merkezleri ve diğer ana boyutları bilinen gerçek balıkçı gemisi verilerinden yararlanarak benzer şekilde gemi ön dizayn parametrelerine bağlı olarak yaklaşık bir ifade elde edilmiştir.

Elde edilen bu yaklaşık ifadelerle ön dizayn aşamasında statik stabilité ve başlangıç stabilitesinin hesabını yapmak mümkündür. Böylece stabilité kriterlerinin ön dizayn aşamasında uygulanması ve buna bağlı olarak stabilité açısından uygun gemi dizayn parametrelerinin belirlenmesi mümkün olmaktadır.

Çalışmanın uygulama bölümünde ise deplasmanı sabit gemi form parametreleri sistematik olarak değiştirilen DOUST, BSRA, İTÜ ve UBC balıkçı serilerinden yararlanarak 30 adet gemi formu oluşturulmuştur. Önerilen stabilité kriterlerinin bu gemilere uygulaması yapılmış ve gemi form parametrelerinin bu kriterler üzerine etkisi incelenmiştir. Böylece hem önerilen "Pratik Stabilité Kriterleri" test edilmiş hem de stabilité açısından gemi form parametrelerinin analizi yapılmıştır.

2. TARİHÇE ve YAPILMIŞ ÇALIŞMALAR

Gemi stabilite teorisi ve kriterlerinin gelişimi üzerine yapılan çalışmalar yüz yllar öncesine dayanmakta ve günümüzde de devam etmektedir. Bu çalışmalar, genel olarak üç gruba ayrırlar.

- i) Sakin suda gemi stabilitesi üzerine yapılan çalışmalar.
- ii) Gemi hareketlerinin ve özellikle büyük genlikli yalpa salınımlarının stabilitesi üzerine yapılan çalışmalar.
- iii) Stabilite kriterleri oluşturulması ile ilgili çalışmalar.

Birinci grup çalışmalar geminin geometrisi ve ağırlık dağılımının belirlenmesi ile yapılan stabilité analizidir. Sakin suda bir gemi ağırlık ve sephiye kuvvetlerinin eşit olması ile dengededir. Çok eskiye dayanmakta olan bu şekildeki stabilité kavramı anlayışında stabilité ölçüsü doğrulma moment kolu (GZ) ile belirlenir.

Stabilité üzerine ilk çalışmalar, Aristotle ve Archimedes' e kadar uzanmaktadır. Bouguer'in (1746) ilk defa metasantr yarıçapını, geminin su hattı atalet momentinin deplasman hacmine bölümü olarak tanımlamasıyla ($BM=I/V$), geminin stabilité ölçüsü olan GM metasantr yüksekliği,

$$GM = KB + BM - KG \quad (2.1)$$

olarak ifade edilmiştir. Burada KB ve KG, sırasıyla, geminin hacim ve ağırlık merkezlerinin kaide hattından yükseklikleridir. Buna göre Φ açısı kadar meyil eden bir geminin, ağırlık ve sephiye kuvvetleri arasındaki uzaklık, doğrultucu moment kolu,

$$GZ = GM \sin\Phi \quad (2.2)$$

yaklaşımı ile hesap edilerek bulunur. Bu yaklaşım, Atwood (1796) tarafından verilen ve statik stabilité hesap yöntemlerinin esasını oluşturan doğrultucu moment kolumnun,

$$GZ = \frac{v \cdot h_1 h_2}{\nabla} - BG \sin \Phi \quad (2.3)$$

şeklinde ifade edilmesine kadar kullanılmıştır (Şekil 2.1). Burada, v suya giren-çıkan siyil hacmini, $h_1 h_2$ sıgillerin hacim merkezlerini birleştiren doğruya ve BG geminin hacim ve ağırlık merkezleri arasındaki düşey mesafeyi göstermektedir.

Moseley (1850) gemi stabilitesinin yalpa hareketi ile ilişkili olduğunu öne sürerek dinamik stabilité fikrini ortaya atmıştır. Moseley'e göre geminin meyil yaptığı açıya kadar doğrultucu moment kolu eğrisi altında kalan alan, aynı açıya kadar zorlayıcı moment eğrisi altında kalan alandan büyük ise gemi dengededir.

Scribanti (1904) duvar bordalı gemilerin GZ değerlerinin hesabı için aşağıdaki ifadeyi elde etmiştir.

$$GZ = \left(GM + \frac{BM}{2} \tan^2 \Phi \right) \sin \Phi \quad (2.4)$$

Prohaska (1947) "artık stabilité" kavramı üzerine çalışmış ve verdiği diyagramlar yardımı ile GZ değerlerinin kolaylıkla hesaplanması sağlanmıştır.

İkinci grup çalışmalar gemi yalpa hareketlerinin stabilitesini göz önüne almaksızın sadece hareketin belirlenmesi ile ilgilidir.

Froude (1861), sönüm etkilerini ihmali ederek, enine düzgün dalgalarda yalpa hareketinin ifadesini çıkarmıştır. Gemi genişliği ve draftının dalga boyuna göre küçük ve gemi konumunun dalga formu ile değişmediğini kabul etmiştir.

Krylov (1896, 1898), Froude-Krylov hipotezi olarak bilinen, gemi salınım ve yalpa teorileri ifadelerini vermiştir.

Denis ve Pierson (1953) stabilite çalışmalarında ilk defa probabilistik bir yaklaşım izleyerek gemilerin rasgele veya karışık deniz haliyle karşılaşıkları gerçeğinden hareketle gemi hareketlerini incelemiştir. Bu yöndeki çalışmalara De Jong (1973) ve Haddara (1971 -1976) tarafından devam edilmiştir.

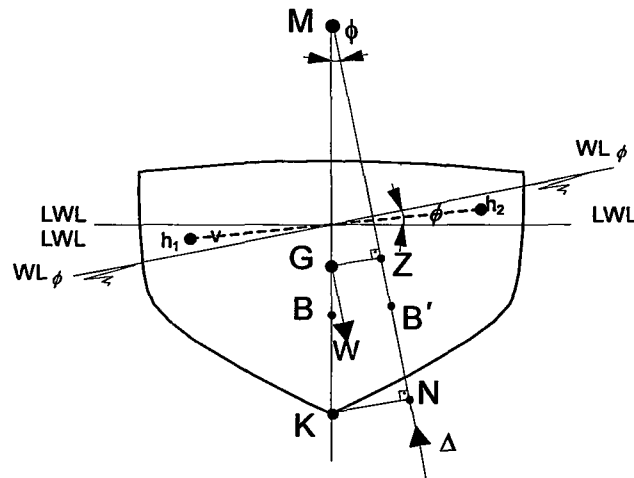
Voznessensky ve Firsoff (1957) gemi yalpa hareketi verilerini kullanarak istatiksel analiz yapmış ve Grim (1961) lineer olmayan yalpa hareketinin analizinde bu çalışmayı kullanmıştır.

Üçüncü grup çalışmalar ise, stabilite kriterleri için minimum stabilite şartlarını belirlemeye yönelik çalışmalarıdır.

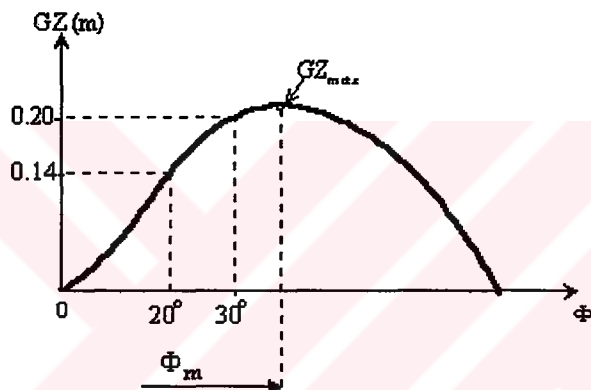
Stabilite karakteristiği olarak halen kullanılan doğrultucu moment eğrisi ilk olarak Reed (1868) tarafından teklif edilmiş ancak, uygulaması Denny (1887) tarafından yapılmıştır. Bu eğri ile başlangıç metasantr yüksekliğinin en az 0.244 m. olması bir kriter olarak önerilmiştir.

Moseley'in fikrini Pierrottet (1935) daha geliştirerek gemiyi devirmeye zorlayan kuvveti gerçekçi olarak dikkate almayı düşünmüştür ve doğrultucu momentin zorlayıcı momente eşit yada daha büyük olması anındaki açıya bir sınır önermiştir. Fakat bu yaklaşım dizayn yönünden oldukça kısıtlayıcı olduğundan pek kabul edilmemiştir.

Rahola (1939) yaptığı doktora tezinde, stabilite konusunda o yıllara kadar olan kaynakları geniş bir şekilde inceleyerek 1870 ve 1938 yılları arasında devrilmiş 34 adet gemiye bilgileri analiz etmiştir. Bu gemilerin stabilite durumlarını yeterli, kritik ve yetersiz olmak üzere üç kategoriye ayırmıştır. Rahola'nın amacı, boyları 30 ile 76 metre arasında olan bu gemilerin devrilmeye karşı koyma kapasiteleriyle birlikte işletimde olan mevcut gemilerin doğrultucu momentlerine ait verileri analiz ederek, devrilmeye karşı emniyeti sağlayacak minimum doğrultucu momentleri bulmaktır. Şekil 2.2 de gösterilen ve istatistiksel bir yöntemle dayalı bu yaklaşım sonucunda önerilen statik ve dinamik stabiliteteyle ilgili kriterler aşağıda özetlenmiştir.



Şekil 2.1 Meyilli bir geminin geometrik özellikleri



Şekil 2.2 Rahola istatistik stabilite kriteri

- a) $GZ_{20}^{\circ} \geq 0.14$
 $GZ_{30}^{\circ} \geq 0.20$
 $GZ_{40}^{\circ} \geq 0.20$
- b) En büyük GZ değeri $\Phi_m \geq 35^{\circ}$ ve
- c) Stabilitenin bozulduğu açı $\Phi_v \geq 60^{\circ}$
- d) Φ_F meyil açısına kadar $GZ-\Phi$ eğrisi altında kalan alan ≥ 0.08 [metre x radyan]
 Φ_F için aşağıdaki değerlerin hangisi küçük ise o alınacaktır:
 $\Phi_F \leq 40^{\circ}$
 $\Phi_F \leq \Phi_m$
 $\Phi_F \leq$ geminin su geçiren bölümlerinin suya girdiği açı olmalıdır.

Bugün kullanılmakta olan IMO (International Maritime Organisation) kriterleri, Rahola'nın doktora tezinin sonuçlarına dayanmaktadır. Rahola'nın tezi konuya büyük katkı yapmakla birlikte, buna dayanarak geliştirilmiş olan IMO kurallarını fazlasıyla sağlayan birçok geminin devrildiği de bir gerçektir. Bunun nedenlerinden birisi, kuralların gerçek bir stabilité analizinden yola çıkılarak elde edilmemiş olmasıdır. Diğer ise gemi ve içinde bulunduğu gerçek deniz ortamının özelliklerinin göz önünde bulundurulmaması olarak düşünülebilir. Rahola'nın çalışması 1968' de IMCO kriterleri olarak yayınlanmıştır.

Grim (1952/53) ve Wendel (1954) gemilerin stabilitesi üzerine değişik yöndeki çalışmalarla öncülük etmişlerdir. Wendel boyları 30-60 m. arasında olan bir kısım geminin devrilme olayını baştan ve baş omuzluktan gelen dalgalarda 5-7 Beaufort rüzgar kuvveti altında istatistik olarak analiz etmiştir. Wendel (1960) daha sonra hidrostatik tarzda doğrultucu ve zorlayıcı momentleri dengelenmesi gerektiğini öne sürdüğü çalışmasında belirli meyil açılarında, rüzgar, serbest su yüzeyi, dönme, güverte ıslanması, buzlanma, dalga durumu ve işletme şartlarından doğan zorlayıcı momentleri karşılayan doğrultucu momentleri içeren bir stabilité tablosu düzenlemiştir. Doğrultucu momentin zorlayıcı momentten büyük olduğu bir değeri emniyet payı olarak isimlendirmiştir.

Grim (1952) Wendel'den farklı olarak dalgaların doğrultma momentinin değişimini incelemiştir ve yalpa hareketi denklemini aşağıdaki gibi düşünmüştür.

$$I \ddot{\Phi} + \Delta(GM + \delta GM \cdot \cos(\omega t)) \Phi = 0 \quad (2.5)$$

Mathieu denkleminin stabilitesi üzerine bilinen sonuçları kullanılarak hareketin instabilité bölgelerini belirlemiştir. Grim daha sonra (1954) yalpa hareket denklemini aşağıdaki gibi vermiştir.

$$I \ddot{\Phi} + \Delta \cdot GZ \cdot (\Phi) = M_w \quad (2.6)$$

Burada, I kütle atalet momentleri, M_w dış zorlama kuvvetlerinin momentleridir.

Haddara (1971) Hill denkleminin sonuçlarını kullanarak stabilitenin olmadığı bölgeleri bulmuştur. Probabilistik yaklaşımlarda karşılaşılan zorlukları Kastner (1975) incelemiştir ve büyük genlikli yalpa hareketleri için yapılacak probabilistik tahminin gemilerin devrilmeye karşı emniyeti için en iyi yol olduğunu savunmuştur.

Tsuchiya (1975) statik stabilité eğrisinin geometrisinin incelenmesini yetersiz bulmuş ve kendisinin önemli gördüğü birçok stabilité faktörünü dikkate alarak balıkçı gemilerinin stabilitesini incelemiştir. Çalışmasında kritik hava koşulları, balık tutma işlemindeki maksimum meyil açısı, stabilitenin kaybolduğu açı, güverte ıslanması ve karışık deniz halinde küpeştenin suya değme anına kadar yapılan tehlikeli yalpa hareketini ilgili faktörler olarak dikkate almıştır.

Balıkçı gemilerinin hidrodinamik dizayn problemlerinin incelendiği bir çalışmada (Kafalı, 1980) boyları 20 - 28 metre aralığında değişen küçük balıkçı gemileri stabilité, direnç ve denizcilik yönünden incelenmiştir. Bu araştırma sonucunda, Kafalı tarafından Türkiye sularına uygun olarak dizayn edilmiş küçük balıkçı gemilerinin pratikteki dizayn problemleri için oldukça faydalı diyagram ve empirik ifadeler geliştirilmiştir. Ön dizaynda yeterli statik stabiliteyi belirleyebilecek diyagram ve empirik formüller verilmiştir.

Cox (1977) IMCO stabilité kriterlerinin benzeri olan, İngiltere'deki balıkçı gemileri için stabilité kuralları hazırlamıştır. Bordadan avlanan balıkçı gemilerinin avlanma tipleri göz önüne alınarak dinamik stabilitelerinin artırılması önerilmiş ve doğrultucu moment kolu ve metasantr yüksekliği %20 oranında artırılmıştır.

Morrall (1975,1979,1980) bir balıkçı gemisinin bordadan alınan dalgalarda devrilme deneylerini yapmıştır. Bu çalışmada amaç, stabiliteye etki eden ve hava kriterlerinin dikkate aldığı faktörlerin deneysel olarak incelenmesidir.

Bazı deneysel çalışmalarda stabilitenin neden olduğu deniz kazaları incelenmiştir. Dahle ve Kjaerland (1979) bir araştırma gemisinin kırılan borda dalgalarıyla devrilme olayını deney setinde incelemiştir.

Helas (1982) çeşitli tipte gemilerin başlangıç ve kıştan gelen dalgaların stabilitesini incelemiştir ve başlangıç stabilitesi yeterli olduğu halde dalgalı haldeki stabilitelerinin hava kriterine göre yetersiz olduğunu göstermiştir. Çalışmalarda ihmali edilen doğrultucu momentin zamana ve lineer olmayan yalpa hareketine bağlı olarak değişimi Welaya (1981) tarafından hesaplanabilmiştir.

Kuo vd. (1986) yaptıkları araştırmada, IMO'nun önerdiği Hava Kriteri ve Moseley'in dinamik stabiliteteorisini daha rasyonel hale getirmiştirlerdir. Strathclyde Metodu olarak bilinen bu araştırmada, büyük genlikli yalpa hareketleri ve devrilme hakkındaki mevcut bilgilerin toplanarak gelecekte geliştirilecek stabilitete kriterlerine temel hazırlamak amaçlanmıştır. Strathclyde Metodu'nun karakteristik özelliği stabilitete eğrisinin zamana ve yalpa açısına bağlı olarak hesaplanmasıdır. Bu yaklaşımda yalpa hareketi yapan geminin doğrultucu momenti, bordadan etkiyen rüzgara, kıştan veya omuzluktan alınan dalgalarla, sönüm ve yükleme şartlarına bağlı olarak modellenmiştir.

Yalpa sönümü ile ilgili ilk ciddi çalışmalar Dalzell (1978) tarafından yapılmış ve alternatif sönüm modelleri ortaya koymulmuştur. Mathisen (1984) zorlanmış yalpa hareketi için sayısal yaklaşımlarla kuadratik sönüm modeli geliştirmiştir ve bu modelin kübik sönüm modeline göre daha avantajlı olduğunu göstermiştir. Robert vd. (1985a, 1985b) yalpa sönümünün lineer olmayan özelliğinin yalpa hareketine etkisini *Sulisker* adlı balıkçı koruma teknesinin model deneylerinde incelemiştir ve kuadratik sönüm modelinin en iyi yaklaşımıla sonuç verdiği göstermiştir. Spouge (1990) aynı tekneden sakin sudaki diğer deneylerinde tekne formu, tekne takıntıları, başlangıç stabilitesi ve yalpa frekansının yalpa sönümüne etkisini incelemiştir. Özellikle balıkçı gemileri için sönüm momenti modelleri üzerine deneysel ve sayısal çalışmalara Haddara vd. (1984, 1990, 1994) ile Bass vd. (1988) devam etmiş sadece hızla bağlı kuadratik sönüm modelinin en iyi sonucu verdiği göstermiştirlerdir.

Stabilitete konusunda standartlar oluşturmak amacıyla uluslararası ilk çalışmalar, 1948 ve 1960 yıllarında Denizde Can Emniyeti (Safety of Life at Sea - SOLAS) olarak adlandırılan konferanslardaki görüş birliği ile başlatılmıştır. Bu iki konferansta alınan kararları kabul eden ülkeler, kendi stabilitete kurallarını da bu kararlara göre yeniden gözden geçirmiştir.

SOLAS uluslararası birliği 1974 yılında üçüncü defa toplanmıştır. Bu üç konferans sonucunda herhangi bir stabilite kriteri önerisi yapılmamış, fakat gemi operatörlerine meyil deneyi sonuçlarını içeren bilgiler verilmesini ve çeşitli işletim koşullarında bu bilgileri dikkate alarak stabilitenin korunmasını sağlamaları konusunda yol gösterici çalışmalar yapılmıştır. 1960 yılındaki SOLAS konferansı uluslararası stabilite kurallarının geliştirilmesinde ilk önemli adım olmuştur. Bu konferansta IMCO tarafından yolcu, yük ve balıkçı gemilerinin stabilitesi üzerine çalışmalarda bulunulması kararı alınmıştır. IMCO Birleşmiş Milletlere bağlı, denizcilik konusunda uzmanlık hizmetleri vermek üzere 64 Birleşmiş Milletler üyesi devletin katılımıyla kurulmuş bir organizasyondur.

IMCO 1964 yılında stabilite çalışmalarına başlamış ve ilk aşamada birkaç yıl boyunca devrilmiş ve işletimde olan gemilere ait stabilite verilerini toplayarak bunlar üzerinde istatistiksel bir analize başlamıştır. Ayrıca değişik ülkelerde uygulanan stabilite kuralları da analize dahil edilmiştir. Bu çalışmalar sonucunda 1968 yılında IMCO Rahola'nın önerdiği kriter setinin aynısı olan istatistiksel temelli bir kriter seti benimsemiştir. Bu arada bilinen moment veya enerji dengesi temeline dayanan yaklaşımlar da incelemeye alınmıştır. 1975 yılında organizasyon bu yolda karara varmış ve bordadan alınan rüzgar ve basit dalgalı ortamda moment dengesini inceleyen bir hava kriterini ara çözüm olarak önermiştir (Thomson ve Tope, 1970).

Miller ve araştırma grubu (1975) tarafından IMCO kriterlerinin bir incelemesi yapılarak kriterlerin güvensiz, özellikle küçük boyutlu, boyları 24 metre civarında ve yüksüz haldeki gemiler için yetersiz olduğu bildirilmiştir.

Balıkçı gemilerinin stabilite ve güvenliği Organizasyon tarafından 1975 yılından itibaren incelemeye alınarak 1977 yılında Torremolinos'da yapılan 'Balıkçı Gemilerinin Güvenliği' konferansında başlangıç metasantr yüksekliğinin 0.35 metreden büyük olması şartıyla "IMO İstatistiksel Kriteri" kabul edilmiştir. 1993 yılında Torremolinos'da tekrar yapılan 'Balıkçı Gemilerinin Güvenliği' konferansında ise "IMO Hava Kriteri" benimsenmiştir.

1980 yılında IMCO'nun adı değiştirilerek IMO (International Maritime Organization - Uluslararası Denizcilik Organizasyonu) olmuştur.

IMO tarafından 1983 yılına kadar süren çalışmalarında dalga ve rüzgar gibi fiziksel çevre şartlarının dikkate alındığı bir stabilité kriteri üzerinde çalışmalar yapılmıştır. Düzgün dalgalar ve rüzgarın bordadan kombine etkisinde zorlayıcı ve doğrultucu moment dengesini inceleyen "IMO Hava Kriteri" geliştirilmiştir. Bu kriterin uygulamalarında bir çok ülkede başarı sağlanmışsa da teorik modellemesi gerçek olayları tam yansıtamamaktadır.

IMO kriterleri halen birçok ülke tarafından ulusal stabilité kriterleri olarak kullanılmaktadır. Kuruluşa üye ülkelerin, özellikle dış sularda çalışacak gemilerin tasarımını IMO'nun belirttiği kurallar çerçevesinde yapmaları gerekmektedir.

Newton, Euler ve Laplace stabilité analizlerinde hareket denklemlerinin çözümlerinden yararlanılmışlardır. Lagrange ise denklemlerin çözümünü yapmaktansa denklemi nitelik yönünden incelemiş ve konservatif bir sistemde sabit toplam enerji için potansiyel enerjinin maksimum civarında sistemin dengesiz, minimum civarında ise dengeli olduğunu göstermiştir. Poincare, Lagrange'in enerji yöntemini geliştirmiş sistemin hareketini faz düzleminde incelemiştir.

Stabilité üzerine bugüne kadar yapılan çalışmaların en önemlilerinden birisi Lyapunov'un (1949) doktora tezidir. Lyapunov stabilité problemini n. dereceden sistemler için genelleştirmiştir ve iki ayrı yöntem önermiştir. Birinci yöntem denklem çözümlerinden yararlanır. "Lyapunov Direkt Yöntemi" olarak bilinen ikinci yöntem ise sistemi tanımlayan denklem ve denklem sistemlerinin nitelik yönünden incelenmesini içerir. Yani Lagrange gibi sistemin toplam enerjisi prensibinden yararlanarak stabilité, asimptotik stabilité ve stabilitesizlik için üç genel teorem vermiştir. 1929 yılında Malkin Lyapunov'un ikinci yöntemini lineer ve lineer olmayan sistemler için genelleştirmiştir.

Lineer olmayan hareket denklemlerinin lineer yaklaşımalarla çözülmesi sonuçların güvenilirliğini azaltır. Gemi yalpa hareketi denkleminin stabilité analizinde bu zorluğu aşmak için ilk defa Odabaşı (1973) Lyapunov direkt yöntemini kullanarak gemilerin stabilité analizini yapmıştır. Daha sonra tekrar nihai stabilitenin genel tanımı ve stabilité belirleme yöntemleri Odabaşı (1976, 1982) ve Kuo vd. (1975) tarafından verilmiştir.

Bunu izleyen yıllarda Özkan (1977-1990) da aynı konu üzerinde çalışmış ve Lasalle ve Lefschetz'in (1961) pratik (toplum) stabilite kavramı ile Yoshizawa'nın (1958) uniform sınırlılık kavramlarını ilk defa gemi yalpa hareketine uygulamıştır. Lineer olmayan zorlanmış gemi yalpa hareketi için Lyapunov fonksiyonu elde etmiş ve faz düzleminden yararlanmıştır. Sonuçta başlangıç stabilitesi, maksimum doğrultucu momentin olduğu açı değeri ve hareketin faz düzleminde gösterilerek devrilme olayının başlangıç yeri için kriterler önermiştir. Daha sonra Calderia (1986) aynı konu üzerinde çalışmalarla devam etmiştir.

Dinamik bir sistemin direk çözümü yerine lineer olmayan hareketinin kalitatif analizine dayanan geometrik yöntemlerin gemi hareketlerinde kullanımı son yıllarda yaygınlaşmıştır. Cardo vd. (1982) düzgün enine gelen dalgaların lineer olmayan yalpa hareketi denklemini pertürbasyon yöntemi ile yaklaşık olarak çözmüş ve bulunan sonuçların sayısal simülasyon ile uyum içinde olduğunu göstermiştir. Nayfeh vd'nin (1989,1990,1995) pertürbasyon metodlarını kullanarak yaptıkları çalışmalar, Thompson vd'nin (1990, 1997) Melnikov analizi ile geçişken bölgeler üzerine yaptıkları çalışmalar bunların başında gelmektedir. Falzarano vd. (1990) Poincare haritalarını kullanarak lineer olmayan gemi yalpa hareketinin başlangıç zamanından bağımsız olması gerektiğini göstermiş olup bu sonuç, daha önce Özkan tarafından gerçekleştirilen stabilite araştırmalarına uygunluk göstermesi bakımından önemlidir. Falzarano, özellikle, balıkçı gemilerinin yalpa hareketinde, güverte ıslanmasının doğrultma momentini azalttığını, yalpa omurgasının ise sönüm momentini artırdığını göstermiştir. Falzarano vd. (1995) diğer çalışmasında ise yine Poincare haritaları tekniği ile kritik dalga genliği ve frekansını incelemiştir ve lineer olmayan gemi yalpa hareketi için model deneylerinin ışığı altında kritik gemi devrilme olayının sayısal simülasyonunu yaparak stabilite kriterleri geliştirmiştir. Ayrıca yalpa hareketinde sönüm ve doğrultma momentinin etkisini göstermiştir.

Yukarıda incelenen stabilite çalışmaları dikkate alınarak, bu çalışmada lineer olmayan zorlanmış yalpa hareketinin stabilite analizine dayanarak Özkan (1981) tarafından geliştirilen stabilite kriterleri esas alınmıştır. Bu kriterlerin balıkçı gemilerinin ön dizayn aşamasında uygulanabilmesine yönelik çalışmalar yapılmış ve stabilite açısından gemi dizaynı için parametre analizi yapılmıştır.

3. GEMİ YALPA HAREKETİ ve STABİLİTESİ

3.1 Giriş

Bu bölümde, bir geminin lineer olmayan zorlanmış yalpa hareketi göz önüne alınacak ve pratik (toplam) stabilite analizi yapılarak uniform sınırlılık şartının uygulanması sonucunda bulunan stabilite kriterleri verilecektir.

Dinamik bir sistemin serbest veya zorlanmış olması, denge kavramı ile çok yakından ilgiliidir. Serbest bir sistemde başlangıç statik denge konumu ve bu konumdan ayrıldıktan bir süre sonra tekrar bu konuma dönüş mümkün iken, zorlanmış bir sistem için böyle bir durum söz konusu değildir. Bir başka deyişle, serbest bir sistemde araştırılması gereken, sistemin başlangıç konumuna dönüp dönmemesi iken, zorlanmış bir sistemde ise sistemin hareketinin her zaman sonlu bir bölgede kalması ve bu bölgenin de pratik açıdan yeterli güvenliğe sahip olmasıdır.

Lineer olmayan sistemler için stabilite yerel bir kavramıdır. Bu nedenle elde edilen kriterler belli bir bölge için geçerli olacaktır ve bu bölgeyi belirleyen de sistemin lineer olmama özellikleidir. Lineerleştirme yoluyla yapılan incelemelerde, aşikar olarak, çeşitli durumlarda denklemin sayısal çözümünden elde edilen kriterlerin bir bölge içinde tanımlanma imkanları kaybolmuştur. Bu durumda geminin yalpa hareketinin stabilitesini incelemek için denklemi sonsuz sayıda çözmek gereklidir ki bu tercih ne pratik açıdan mümkün ne de dizayn açısından tatmin edicidir. Görüldüğü gibi lineer olmayan sistemlerde önemli olan sistemi modelleyen denklemin lineer olmayan karakteristiğini koruyarak stabilitesini sağlayan koşulları bulmaktır. Gerek serbest ve gerek zorlanmış yalpa hareketinin büyük açılardaki stabilitesinin incelenmesinde, denklemin lineerliği bozan özelliklerinin korunması, çözümlerin güvenilirliği açısından gereklidir.

3.2 Zorlanmış Yalpa Hareketinin Denklemi

Dış etkiler altında ve başlangıçta bir statik denge konumunda olan bir geminin lineer olmayan zorlanmış yalpa hareketini düşünelim. Bu hareket denklemi Newton'un ikinci yasasından yararlanarak aşağıdaki gibi kolaylıkla çıkartılabilir.

$$M\ddot{\gamma} = \vec{F} \quad (3.1)$$

burada $M\ddot{\gamma}$ atalet kuvvetlerini, \vec{F} dış kuvvetleri, M genelleştirilmiş kütle atalet momentini, $\ddot{\gamma}$ ise ivme alanını göstermektedir. (3.1) denklemi moment terimleri cinsinden aşağıdaki şekilde ikinci derece diferansiyel denkleme dönüştürülperek tekrar yazılabilir :

$$M_a \frac{d^2\Phi}{dt^2} + M_s \left(\frac{d\Phi}{dt} \right) + M_d(\Phi) = M_w(t) \quad (3.2)$$

burada,

M_a : Kütle atalet momentleri

M_s : Sönüüm kuvvetlerinin momentleri

M_d : Yay kuvvetlerinin momentleri

M_w : Zamana bağlı dış kuvvetlerin momentleri

Moment terimleri cinsinden ifade edilen (3.2) denklemini, lineer olmayan yalpa hareketi için aşağıdaki gibi yazabiliziz.

$$(I + J)\ddot{\Phi} + f_1(\dot{\Phi}) + g_1(\Phi) = e_1(t) + WM_1 \quad (3.3)$$

burada $(I+J)>0$ dır. (3.3) denkleminin her iki tarafı $(I + J)$ ye bölünerek

$$\ddot{\Phi} + f(\dot{\Phi}) + g(\Phi) = e(t) + WM \quad (3.4)$$

elde edilir. Burada I kütle atalet momenti, J ek su kütle atalet momenti, $\Phi, \dot{\Phi}, \ddot{\Phi}$ ise sırasıyla yalpa açısı, açısal hızı ve açısal ivmesidir.

$f_1(\dot{\Phi})$: Sönüüm momenti

$$f_1(\dot{\Phi}) = B_{11}\dot{\Phi} + B_{22}\dot{\Phi}|\dot{\Phi}| \quad B_{11}, B_{22} > 0$$

$g_1(\Phi)$: Doğrultma momenti

$$g_1(\Phi) = C_{11}\Phi - C_{22}\Phi^3 \quad C_{11}, C_{22} > 0$$

$e_1(t)$: Zamana bağlı dalga yatırma momenti

WM_1 : Rüzgar sağanağı momenti

Bu ifadelerin $(I + J)$ 'ye bölünmüş halleri aşağıdaki gibidir.

$$f(\dot{\Phi}) = B_{10}\dot{\Phi} + B_{20}\dot{\Phi}\dot{\Phi} \quad (3.5)$$

$$g(\Phi) = C_{10}\Phi - C_{20}\Phi^3 \quad (3.6)$$

$$e(t) = \frac{e_1(t)}{(I + J)} \quad (3.7)$$

$$WM = \frac{WM_1}{(I + J)} \quad (3.8)$$

B_{10} : Lineer (dalga) sönüm katsayısı

B_{20} : Lineer olmayan (viskoz) sönüm katsayısı

C_{10}, C_{20} : Doğrultma momenti katsayıları

$\dot{\Phi} = \Phi_1$ değişken dönüşümü yapılarak (3.4) denklemi aşağıdaki gibi birinci mertebeden diferansiyel denklemeye (faz denklemine) dönüştürülür. Böylece

$$\dot{\Phi} = \Phi_1$$

$$\dot{\Phi}_1 = -g(\Phi) - f(\dot{\Phi}) + e(t) + WM \quad (3.9)$$

elde edilir.

3.3 Zorlanmış Yalpa Hareketinin Stabilitesi - Pratik Stabilite

Zorlamaların etkilerindeki dinamik sistemler için çeşitli stabilite ve sınırlılık tanımları verilmiştir. Burada Lasalle ve Lefschetz (1961) tarafından "Pratik (toplum) stabilite başlangıç şartları kümesi ve zorlamalara göre çözümlerin uniform sınırlılığdır" şeklinde verilen "Pratik Stabilite ve Üniform Sınırlılık" kavramları çalışmanın esasını teşkil etmektedir. Başka bir ifadeyle pratik stabilite, gemi yalpa hareketi için aşağıdaki üç ayrı maddenin birlikte incelenmesi ve gerçekleşmesi şeklinde tarif edilebilir (Şekil 3.1).

- a) Sistemin içinde bulunacağı ortamdan ve çalışma şartlarından dolayı beklenebilecek veya müsaade edilebilir zorlamaların büyüklüğü ne olmalıdır, σ sayısı,
- b) Sistemin başlangıç konumu ne kadar iyi bir şekilde kontrol edilebilir? Başlangıç yalpa açısı ve hızı, (Ω_0^*)
- c) Sistemin güvenli ve pratik açıdan kabul edilebilecek davranışı ne olmalıdır? (Ω^*)

Üniform Sınırlılık:

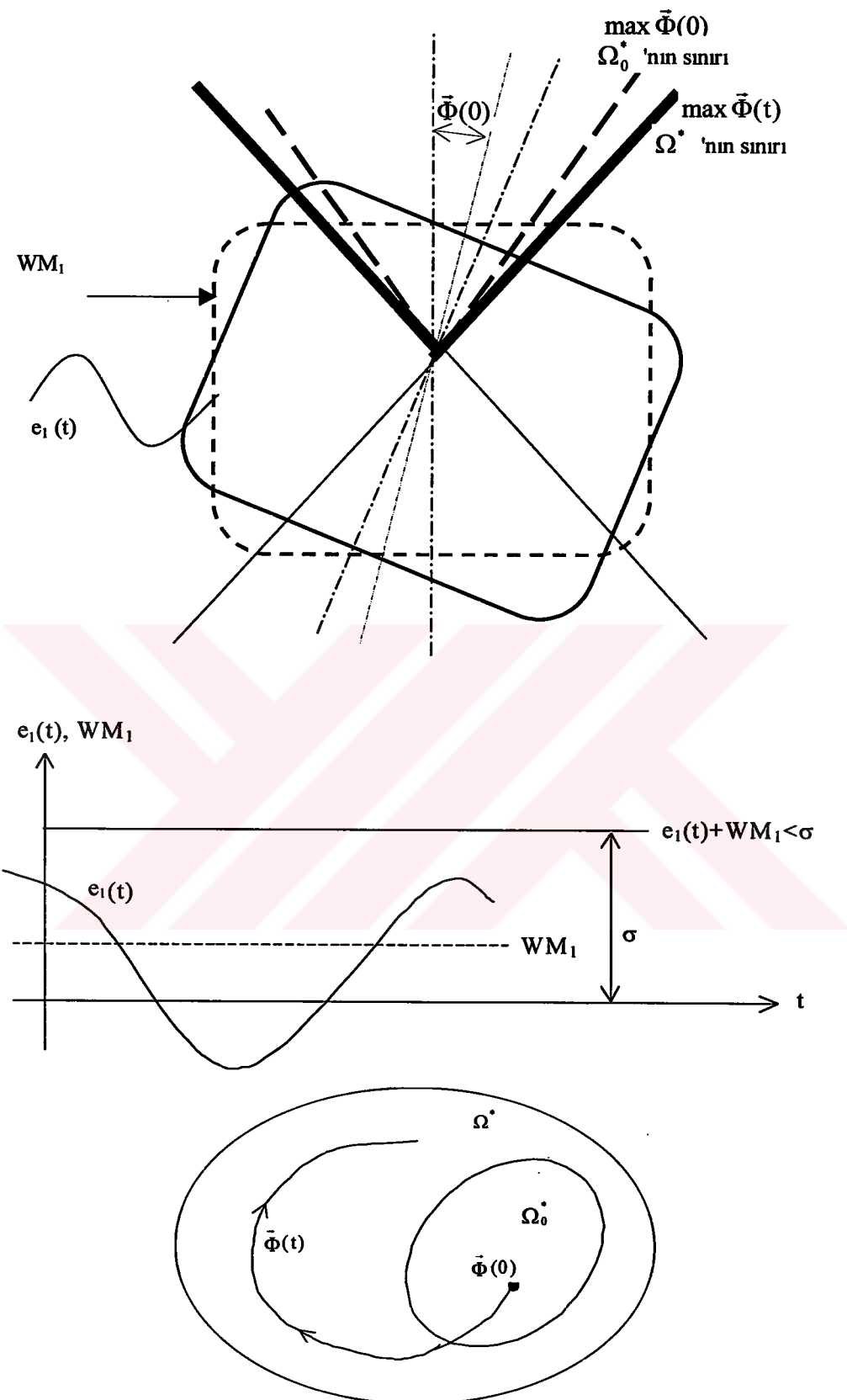
Tanım: Her $\alpha > 0$ için t_0 'dan bağımsız bir β pozitif sayısı varsa, öyle ki $t > t_0$ için

$$\|\Phi_0\| < \alpha, \quad \|\vec{\Phi}(t; \Phi_0, t_0)\| < \beta \quad \text{ise} \quad (3.10)$$

$\vec{\Phi} = \vec{\Phi}(t; \Phi_0, t_0)$ çözümleri "üniform sınırlıdır" denir.

$$\|\vec{\Phi}\| = \sum_{i=1}^n (\Phi_i^2)^{\frac{1}{2}} \quad (3.11)$$

$\vec{\Phi}$: n-boyutlu bir Euclid uzayında tanımlı bir konum vektörü



Şekil 3.1 Yalpa hareketi için pratik stabilitenin fiziksel ve topolojik gösterilimi (Özkan, 1981)

Teorem: Eğer $\Delta^* = E_\alpha^n \times I$ içinde tanımlanmış zamana bağlı bir $V(\Phi, t)$ pozitif Lyapunov fonksiyonu varsa, burada,

$$I = \{t \mid t \in [t_0, +\infty)\}$$

$$E_\alpha^n = \{\bar{\Phi} \mid \|\Phi\| > \alpha\}$$

E_α^n : n boyutlu Euclid uzayı

öyle ki

$$\text{a) } a(\|\bar{\Phi}\|) \leq V(t, \bar{\Phi}) \leq b(\|\bar{\Phi}\|) \quad (3.12)$$

burada $a(\bar{r})$ negatif olmayan sürekli artan bir fonksiyon

$$\lim_{\bar{r} \rightarrow \infty} a(\bar{r}) \rightarrow \infty \text{ ve}$$

$b(\bar{r})$ pozitif sürekli artan bir fonksiyondur.

$$\text{b) } \Delta^* \text{ içinde } \dot{V}(\bar{\Phi}, t) \leq 0 \text{ ise } \dot{\Phi} = f(\Phi, t) \text{ denkleminin çözümleri üniform olarak sınırlıdır.}$$

Bu teoreme ait geniş bilgi Yoshizawa (1958)'de bulunabilir ve kullanımı ile ilgili çeşitli uygulamalara ise (Özkan, 1977, 1981) de yer verilmiştir.

Zorlanmış yalpa hareketinde gemiye sürekli olarak etki eden dalga ve rüzgar zorlamaları mevcuttur. Öte yandan, dalga zorlamasının zamana bağlı olan karakteri hareket denklemini otonom olmayan bir sistemin denklemi haline getirmekte, bu ise, teoride ilave zorluklar çıkarmaktadır.

Bu çalışmada,

$$V(t, \Phi, \dot{\Phi}) = \frac{1}{2} \dot{\Phi}^2 + \int g(\Phi) d\Phi - \int_0^t |e(t)| dt - WM\Phi \quad (3.13)$$

tipinde bir Lyapunov fonksiyonundan yararlanılmış olup, dış zorlamaların mutlak yakınsak olduğu kabul edilmiştir. Yani,

$$\lim_{t \rightarrow \infty} \int_0^{\infty} |e(t)| dt < \infty \quad (3.14)$$

Uniform sınırlılık teoreminin ispatında teoremin gerektirdiği Δ^* 'in varlığı gösterilmiş olup aşağıdaki şartlar ortaya çıkartılmıştır (Özkan, 1981).

$$G(\Phi) > WM \cdot \Phi + \int_0^t |e(t)| dt \quad (3.15)$$

$$G(\Phi) = \int_0^{\phi} g(\Phi) d\Phi \quad (3.16)$$

(3.15) ve (3.16) denklemleri $\forall \Phi \neq 0$, $\dot{\Phi} = 0$ ve $G(\Phi) > 0$ şartları için geçerlidir.

(3.15) denklemi fiziksel olarak, bir Φ açısına kadar yapılan ve açısal hızın sıfır ullaştığı bir noktada yalpa hareketi boyunca kazanılmış olan potansiyel enerjinin, dış kuvvetler tarafından gemiye uygulanan zorlama enerjisinden daha büyük olması gerektiğini göstermektedir.

3.3.1 Pratik stabilite bölgesi

Öncelikle, problemin tanım aralığı içinde hareketin uniform sınırlılığını belirlemek gereklidir. Sınırlılık bölgesini çeviren eğriler enerji tipi eğriler olarak düşünülmüş ve bunların başlangıç zamanından bağımsız olmaları öngörülmüştür. Çözümlerin uniform sınırlılığı tayin edilmekçe pratik stabilite bölgesinin oluşturulmasının hiçbir anlamı yoktur. Pratik stabilite bölgesi hareketin faz düzleminde gösterilmesidir. Pratik stabilite bölgesini (Şekil 3.2) oluşturan ve her biri enerji tipi fonksiyon olan eğriler aşağıdaki gibi verilmiştir (Özkan, 1981, 1990).

$$I : \frac{1}{2} \dot{\Phi}^2 + \left| \int_0^\phi g(\Phi) d\Phi \right| + A_1 \Phi = V_1 = \text{Sabit} \quad (3.17)$$

$$II : \frac{1}{2} \dot{\Phi}^2 + \left| \int_0^\phi g(\Phi) d\Phi \right| - A_1 \Phi = V_2 = \text{Sabit} \quad (3.18)$$

$$III : \frac{1}{2} \dot{\Phi}^2 + \left| \int_0^\phi g(\Phi) d\Phi \right| = V_3 = \text{Sabit} \quad (3.19)$$

Burada,

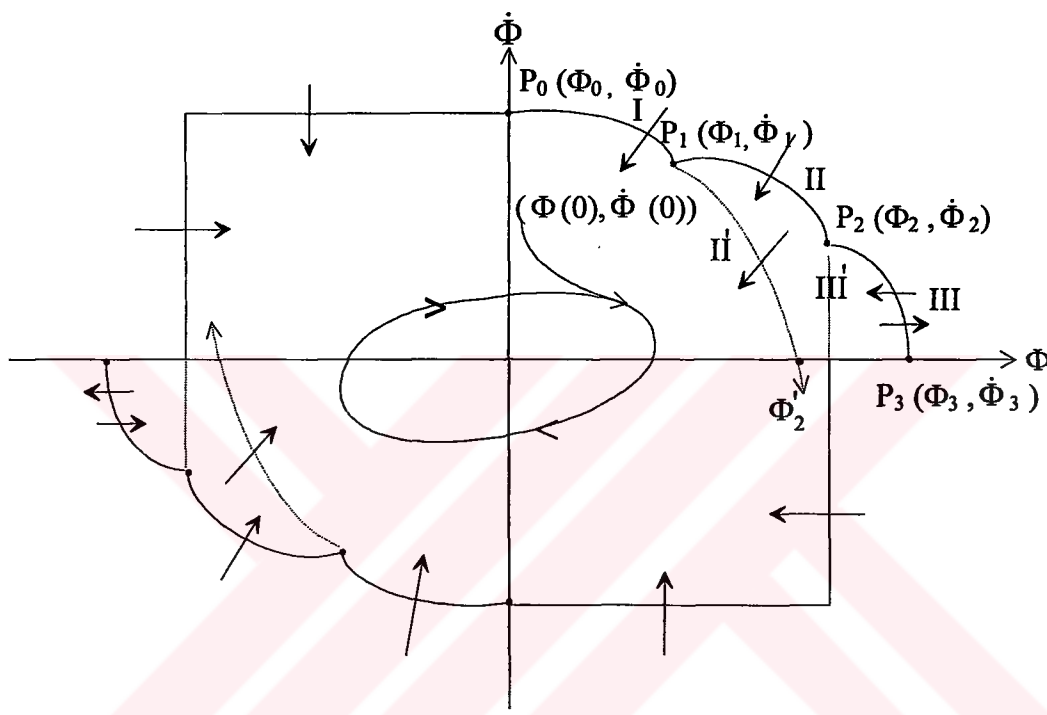
$$E = \max |e(t)| \quad (3.20)$$

$$A_1 = E + WM \quad (3.21)$$

olarak hesaplanır. Bu eğriler, doğrultma momenti fonksiyonu $g(\Phi)$ 'in önce artan, sonra da azalan bir karaktere sahip olması ve değerlerinin maksimum mutlak zorlama değeri, A_1 ile karşılaşılması göz önünde bulundurularak oluşturulmuştur. Aynı zamanda sönüüm momenti fonksiyonu değerleri ile A_1 'in değerleri arasındaki ilişki de göz önüne alınmıştır.

I ve II eğrilerinin, zaman ilerledikçe küçük değerlere yöneldiği gözlenmiştir. Bunun anlamı, hareketin yörüngesinin bu eğrileri içerenin dışarıya doğru kesemeyeceğidir, yani, bölgenin içinde başlayan hiçbir hareket I ve II eğrileri boyunca bölgeyi terk edemez. III eğrisi boyunca durum farklıdır ve yalpa açısı bu konumlara ulaştığında hareketin yörüngesi ilerleyen zamanla birlikte büyük değerlere yönelir ve hareket bu eğri üzerinden uzaklaşarak bölgeyi terk eder. Böyle bir durumda III eğrisi yerine III' eğrisi düşünülür ve bunun Φ ekseni ile kesişmesi olan Φ_2 açısı, müsaade edilebilir maksimum yalpa açısı olarak alınarak yalpa açısal hızının bu açıdan önce sıfır olması sağlanmalıdır. Bazı durumlarda, II' eğrisi I eğrisinden sonra bütün bölgeyi sınırlayabilir. Bu halde III eğrisinin varlığı düşünülemez ve hareket yörüngesinin bölgeyi terk etmesi gibi bir tehlike de söz konusu değildir.

Yukarıda pratik stabilite bölgесinin birinci kuadrantı için anlatılanlar üçüncü kuadrant için de geçerlidir. İkinci ve dördüncü kuadrantlar ise yakınsak bölgelerdir dolayısıyla buralarda devrilme tehlikesi yoktur. Burada, eğri parçaları başlangıç zamanı ve hareketin başlangıç konumundan bağımsız elde edilmiştir. Eğer böyle olmasaydı, mümkün olan her başlangıç zamanı ve durumu için bölgeyi sınırlayan farklı eğriler bulunması gerekecektir ve incelemenin genelligi bozulmuş olacaktı.



Şekil 3.2 Pratik stabilite bölgesi

3.3.2 Pratik stabilite bölgесinin oluşturulması

Yatay eksen yalpa açısı (Φ), düşey eksen yalpa açısal hızı ($\dot{\Phi}$) alınmak üzere, bölgeyi oluşturan P_0 , P_1 , P_2 ve P_3 noktalarının bulunduğu aşağıdaki şekilde verilmiştir (Özkan, 1981, 1985).

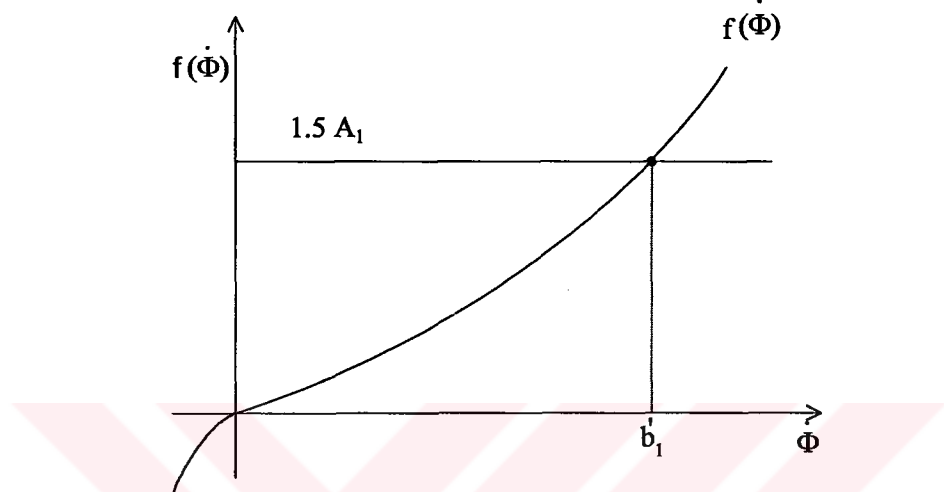
$P_0 (\Phi_0, \dot{\Phi}_0)$ Noktası :

$$\Phi_0 = 0 \quad (3.22)$$

$$\dot{\Phi}_0 = \sqrt{(b'_1)^2 + 3A_1 a'_1} \quad (3.23)$$

b'_1 : Sönüm momenti fonksiyonu ile $1.5 A_1$ doğrusunun kesiştiği noktası (Şekil 3.3).

a'_1 : Doğrultma momenti eğrisi ile A_1 doğrusunun ilk kesiştiği noktası (Şekil 3.4)



Şekil 3.3 Sönüm momenti ile zorlama momentinin kesişimi

$P_1(\Phi_1, \dot{\Phi}_1)$ Noktası :

$$\int_0^{\Phi_1} g(\Phi) d\Phi + \frac{1}{2} A_1 \Phi_1 - \frac{3}{2} A_1 - a'_1 \quad (3.24)$$

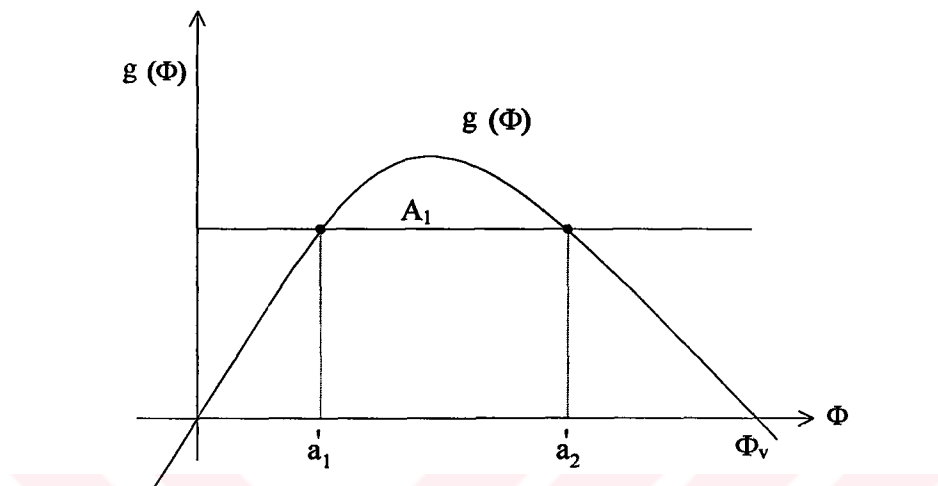
(3.24) denkleminin en küçük pozitif kökü olan Φ_1 , olarak alınır.

Sönüm momenti ile zorlamaların kesişmesinden $\dot{\Phi}_1$ bulunur (Şekil 3.3).

$$\dot{\Phi}_1 = b'_1 \quad (3.25)$$

$P_2(\Phi_2, \dot{\Phi}_2)$ Noktası :

$$\Phi_2 = \Phi_1 + \frac{\int_{\Phi_1}^{\Phi_v} g(\Phi) d\Phi}{A_1} - \frac{(b'_1)^2}{2A_1} \quad (3.26)$$



Şekil 3.4 Doğrultma momenti ile zorlama momentinin kesişimi

$$\Phi_3 = \Phi_v \quad (3.27)$$

Φ_v = Stabilitenin kaybolduğu açı

Φ_2 bulunmasında aşağıdaki durumlar ortaya çıkabilir:

- a) $\Phi_2 < \Phi_1$ ise "Pratik stabilite bölgesi oluşmaz ve bu durumda sönüm yetersizdir "
- b) $\Phi_2 > \Phi_3$ ise " $(P_1 P_2)$ eğrisi üçüncü bölgeyi de kapsar ve III. bölge oluşmaz". Bu durumda II. bölgenin sınırlını bulmak gereklidir yani $\dot{\Phi}_2 = 0$ alarak Φ'_2 bulunur.
- c) $\Phi_1 < \Phi_2 < \Phi_3$ ise

$$\dot{\Phi}_2 = \sqrt{2 \int_{\Phi_2}^{\Phi_v} g(\Phi) d\Phi} \quad (3.28)$$

$P_3(\Phi_3, \dot{\Phi}_3)$ Noktası :

$$\Phi_3 = \Phi_V \quad (3.29)$$

$$\dot{\Phi}_3 = 0 \quad (3.30)$$

Noktalar bulunduktan sonra bölge çizilir ve III. bölgenin oluşma durumuna göre geminin emniyetli bölgede kalıp kalmadığına karar verilir.

3.4 GM Kriteri

Bu bölümde, Özkan (1982b) tarafından geliştirilen ve çevre etkilerini de içine alan yeni bir GM kriteri açıklanacaktır. Zorlanmış yalpa hareketi için yazılan denklem tekrar göz önüne alındığında

$$\ddot{\Phi} = -f(\dot{\Phi}) - g(\Phi) + e(t) + WM \quad (3.31)$$

Bu hareketi ilk denge konumundan başlayarak incelemek gereklidir. Yalpa hareketi sırasında, bir yöndeği hareket (örneğin sancağa doğru) tehlikeli yalpa açısına gelmeden yön değiştirmelidir. Yani yalpa hızı, yalpa ivmesinin ters işaret ve maksimum büyülükte olduğu noktada sıfır olmalı ve böylece yalpa hareketini aksi yöne (iskele) yöneltmelidir. Yalpa ivmesi başlangıçta pozitif olarak düşünülürse,

$$\ddot{\Phi} > 0 \quad (3.32)$$

daha sonra da

$$\dot{\Phi} = 0, \quad \ddot{\Phi} < 0 \quad (3.33)$$

olması gereklidir. (3.31) denklemi

$$\ddot{\Phi} \leq -f(\dot{\Phi}) - g(\Phi) + A_1 \quad (3.34)$$

ile de gösterilebilir. $\ddot{\Phi} = 0$ için (3.34) denkleminden

$$\ddot{\Phi} \leq -g(\Phi) + A_1 \quad (3.35)$$

bulunur. Negatif ivme şartından

$$g(\Phi) > A_1 > 0 \quad (3.36)$$

elde edilir.

Yalpa hızı, $g(\Phi)$ 'nin maksimum değerine karşılık gelen yalpa açısı için sıfır olduğu Beukelman ve Versluis (1971) tarafından deneysel olarak gösterilmiştir. Dolayısıyla (3.6) denkleminin birinci türevinden yararlanarak, maksimum GZ değerine karşılık gelen açı,

$$\Phi_m = \sqrt{\frac{C_{10}}{3C_{20}}} \quad (3.37)$$

olarak bulunur. Bu değer (3.36) eşitsizliğinde yerine koyulursa,

$$C_{10} > 3 \left(A_1^2 \cdot \frac{C_{20}}{4} \right)^{\frac{1}{3}} \quad (3.38)$$

elde edilir. Burada C_{10} , $\Phi = 0$ da $g(\Phi)$ eğrisinin eğimidir ve

$$\left. \frac{dg(\Phi)}{d\Phi} \right|_{\Phi=0} = C_{10} - 3C_{20}\Phi^2 \Big|_{\Phi=0} = C_{10} \quad (3.39)$$

olarak hesaplanır.

$$C_{10} = \frac{C_{11}}{I+J} = \frac{\Delta \cdot GM}{I+J}, \quad C_{20} = \frac{C_{22}}{I+J} \quad \text{ve} \quad A_1 = \frac{E_1 + WM_1}{I+J} \quad (3.40)$$

değerleri (3.38) denkleminde yerine konursa, yeni GM kriteri olarak,

$$GM \geq \frac{1 \cdot 89}{\Delta} \left[(E_1 + WM_1)^2 C_{22} \right]^{1/3} \quad (3.41)$$

bulunur.

Buraya kadar Özkan tarafından geliştirilen yalpa hareketinin sınırını belirleyen pratik stabilité bölgesi ile GM kriteri verilmiştir. Doğrultucu moment kolunun maksimum (GZ_{max}) değerine karşılık gelen açı (Φ_m) gemilerin devrilme olayını en çok etkileyen stabilité parametresi olarak bilinmektedir. Çünkü devrilme olayının çoğunuğu Φ_m açısını hemen geçtikten sonra meydana geldiği deneysel olarak gösterilmiştir (Beukelman ve Versluis, 1971). Bundan dolayı Φ_m için uniform sınırlılık şartından yararlanarak gemi ve ortam ilişkisini göz önüne alan kriter yeniden çıkartılmıştır.

3.5 Φ_m Kriteri

Üniform sınırlılık ve pratik stabilité koşulu açısal hızın sıfır ve açısal yer değiştirmenin sıfırdan farklı olduğu durumlar için elde edilmişlerdir (Özkan, 1982a). Şöyled ki, $\dot{\Phi} = 0$, $\forall \Phi \neq 0$ ve $G(\Phi) > 0$ olmak şartıyla

$$G(\Phi) > WM \cdot \Phi + E \cdot T' \quad (3.42)$$

$$\int_0^{\Phi_m} (C_{10}\Phi - C_{20}\Phi^3) d\Phi > WM \cdot \Phi_m + E \cdot T' \quad (3.43)$$

ve (3.37) denklemine göre $\Phi_m = \pm \sqrt{\frac{C_{10}}{3C_{20}}}$ olduğundan,

Φ_m noktasında hareketin ters yönde tekrar başlayabilmesi için açısal ivmenin, o andaki yalpa hareketinin yönüne göre ters işaret alması gereklidir. Sonuç olarak, doğrultma momentini maksimum yapan yalpa açısının minimum değeri için hareket denkleminin katsayıları kullanılmış ve Φ_m ifadesi, (3.43) denkleminden yararlanarak aşağıdaki şekilde elde edilmiştir.

$$\Phi_m \geq \frac{\frac{WM_1 + \sqrt{WM_1^2 + \frac{5}{3} \cdot \Delta \cdot GM(E_1 T')}}{5 \cdot \Delta \cdot GM}}{6}, \quad \Phi_m \geq 0 \quad (3.44)$$

$$\Phi_m < \frac{-WM_1 - \sqrt{WM_1^2 + \frac{5}{3} \cdot \Delta \cdot GM(E_1 T')}}{5 \cdot \Delta \cdot GM}, \quad \Phi_m < 0 \quad (3.45)$$

Burada :

Δ : deplasman

WM_1 = Rüzgar sağanağı momenti

$E_1 = \max|e_1(t)|$

T' = Çeyrek yalpa periyodu ($T_\Phi / 4$)

GM = Başlangıç metasantr yüksekliğini göstermektedir.

Bu ifade kullanılarak elde edilen Φ_m değerleri karakter olarak bugünkü IMO kriteri ile verilenlerle tam bir uyum içindedir. Ayrıca bu kriter, geminin ve çevre şartlarının özelliklerini dikkate almasından dolayı IMO kriterine göre çok daha gerçekçidir.

Bu bölümde, verilen pratik stabilite bölgesi, Φ_m kriteri ve GM kriteri genel olarak "*Pratik Stabilite Kriterleri*" olarak adlandırılacaktır.

4. ÖNDİZAYN AŞAMASINDA STABİLİTE ANALİZİ

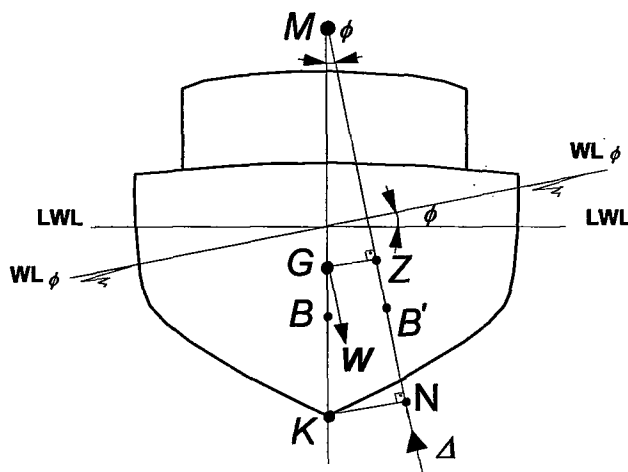
Bu bölümde, önceki bölümde teorisi verilen stabilité kriterlerinin mevcut ve ön dizayn aşamasındaki gemilere uygulanması için gerekli hesaplama biçimini verilecektir. Gemi ön dizayn aşamasında stabilité analizi yapabilmek için öncelikle geminin başlangıç ve statik stabilité hesaplarının bilinmesi gereklidir. Başlangıç stabilitesi GM ve statik stabilité GZ değerlerinin

$$GM = KB + BM - KG \quad (4.1)$$

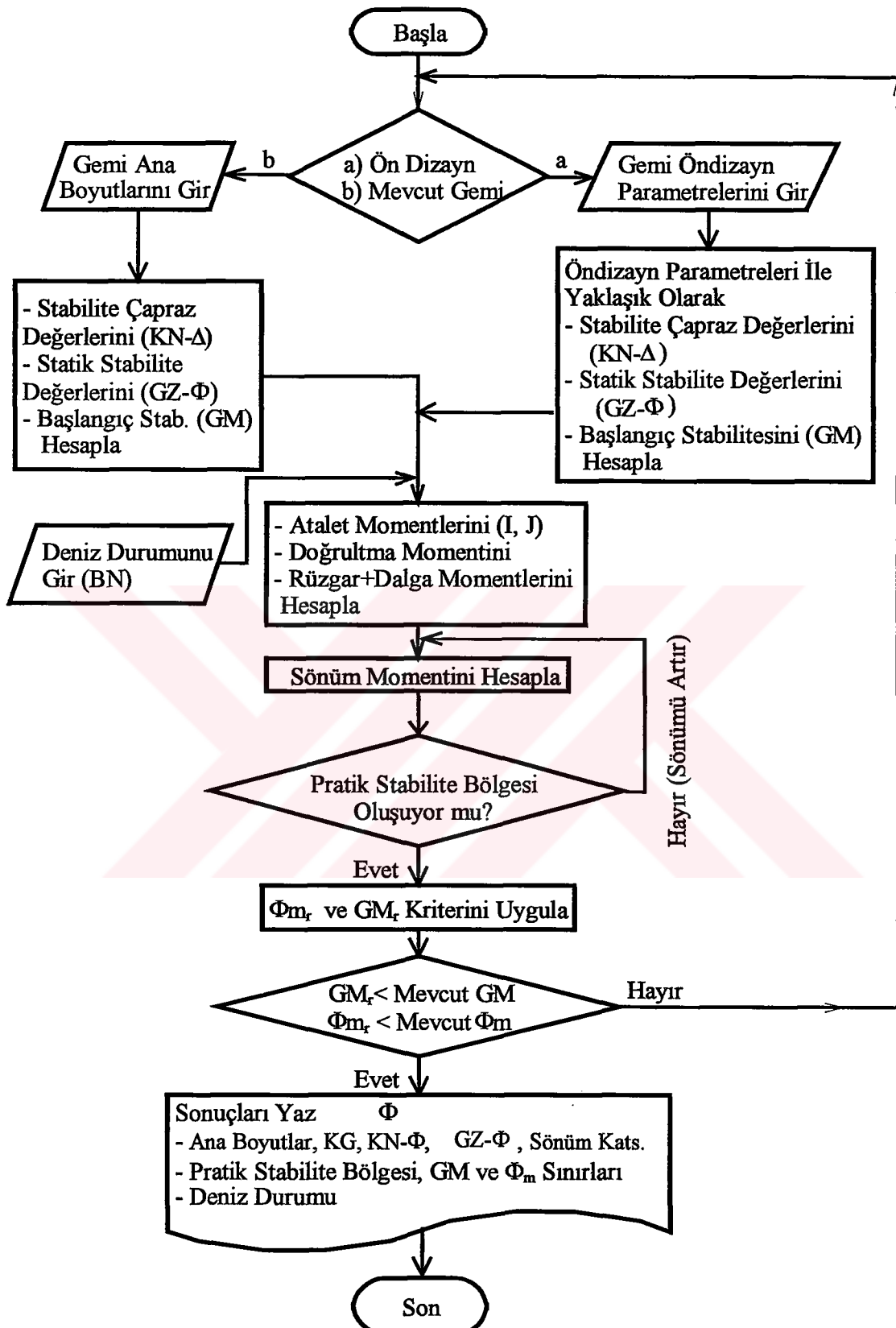
$$GZ = KN - KG \sin\Phi \quad (4.2)$$

olduğu bilinmektedir (Şekil 4.1).

Ön dizaynda geminin sadece genel olarak ana boyutları veya dizayn parametreleri belirlidir. Bu amaçla öncelikle bu bilinen parametreler yardımı ile geminin başlangıç ve statik stabilité hesaplarının yaklaşık olarak hesaplanması gereklidir. Bundan dolayı, geminin başlangıç ve statik stabilité hesapları için ön dizayn parametrelerine bağlı olarak bir dizi yaklaşık ifadeler elde edilmiştir. İlk çalışma ön dizayn aşamasında gemi dizayn parametrelerine bağlı olarak stabilité çapraz eğrilerinin yaklaşık hesabı ile ilgilidir. İkinci çalışma ise başlangıç ve statik stabilité hesaplarında temel faktör olan gemi ağırlık merkezinin belirlenmesine yönelik yaklaşık bir ifadenin bulunmasıdır. Genel olarak yapılacak işlemler Şekil 4.2 de verilen akış şeması ile kısaca özetlenmeye çalışılmıştır.



Şekil 4.1 Meyilli bir geminin geometrik özellikler



Şekil 4.2 Ön dizayn aşamasında stabilite analizini gösteren akış şeması

4.1 Stabilite Çapraz Eğrilerinin Modellenmesi (KN-Φ)

Ön dizayn aşamasında gemi stabilitesi hakkında fikir sahibi olabilmek oldukça zordur. Çünkü bir geminin başlangıç stabilitesinin, gemi formu ve ağırlık merkezinin belli olmadan bulunması söz konusu değildir. Bu amaçla burada, bir geminin ön dizayn aşamasında, stabilite çapraz eğrileri (KN-Φ) ile sephiye merkezinin düşey yerinin (KB) ve enine metasantr yarıçapının (BM) regresyon analizi yardımı ile yaklaşık olarak modellenmesine çalışılacaktır.

Burada balıkçı gemileri için geliştirilen Doust Optimum Trawler Serisi (Doust, 1963) esas alınmış ve serinin optimum dizayn aralığı aşağıda verilmiştir.

$$4.400 \leq L/B \leq 5.800$$

$$2.00 \leq B/T \leq 2.600$$

$$0.582 \leq C_p \leq 0.650$$

Ancak diğer balıkçı serilerinin de dizayn aralığı göz önünde bulundurulduğundan verilen aralık, aşağıdaki sınırlara genişletilmiştir.

$$3.00 \leq L/B \leq 6.00$$

$$2.00 \leq B/T \leq 3.00$$

$$0.582 \leq C_p \leq 0.650$$

$$1.250 \leq D/T_C \leq 3.50$$

Burada, D gemi yüksekliği ve T_c geminin yükleme durumundaki su çekimidir. Gemi boyunun enine stabiliteye etkisi ihmali edilecek derecede olduğundan boy sabit alınmış ($L=25$ m.) ve dizayn diyagramları yardımıyla toplam 175 adet balıkçı gemisi üretilmiştir. Burada her L/B , B/T ve C_p aralığının göz önünde bulundurulmasına dikkat edilmiştir.

Şöyle ki, $L = 25$ m. alınmak üzere, L/B değeri 0.5 aralığı artırılmış, her bir L/B için B/T değeri 0.25, her B/T için C_p değeri 0.017 aralıklarla artırılarak toplam 175 adet gemi formu oluşturulmuştur. Bu seri için dizaynda kolaylık açısından C_p ile C_B arasında aşağıdaki bağıntı regresyon analizi yardımıyla bulunmuştur.

$$C_B = 1.40923 * C_P^{2.0107} \quad (4.3)$$

$KN - \Phi$ değerlerini gemi dizayn parametreleri cinsinden modelleyeceğimiz için önce KN değerlerinin boyutsuzlaştırılması gerekiyor. Bu amaçla KN değerleri enine stabiliteyi en fazla etkileyen parametrelerden birisi olan gemi genişliği B ile bölünerek boyutsuz hale getirilmiştir. Önce $KN-\Phi$ eğrisi için beşinci derece eğri intibakı yapılmış en küçük kareler yöntemi ile a_i katsayıları bulunmuştur.

$$KN/B = \sum_{i=1}^5 a_i \Phi^i \quad (4.4)$$

burada, Φ radyan olarak açı değeridir.

Her bir gemi için bu model kurularak a_i katsayıları bulunur. Böylece KN/B değerleri açıya bağlı olarak beşinci derece polinomla ifade edilmiş olur. İkinci adım olarak bulunan bu a_i katsayıları enine stabiliteyi etkileyen gemi dizayn parametrelerine bağlı olarak ifade edilmiştir. Bunun için çoklu lineer regresyon modeli olarak ,

$$a_i = \sum_{i=1}^5 \sum_{j=0}^5 b_{ij} X_j \quad (4.5)$$

ifadesinden yararlanılmıştır. Burada,

$$X_0 = 1$$

$$X_1 = B/T$$

$$X_2 = C_B$$

$$X_3 = (B/T)^2$$

$$X_4 = (C_B)^2$$

$$X_5 = (B/T) C_B$$

olarak tanımlanmıştır. Her yükleme durumu için bu modeller kurularak katsayıları hesaplanmıştır. Farklı su çekimlerinde sadece draftın değiştiği göz önüne alınmış, diğer parametrelerin dizayn aşamasında hesap edilebilmesi zor olduğundan sabit tutulması tercih edilmiştir. Dolayısıyla, farklı su çekimlerinde katsayıların farklılığı sadece fribord

değişikliğine yani yükseklik-su çekimi (D/T_c) parametresine bağlı olarak ifade edilmiştir. Bunun için aşağıdaki regresyon modeli kullanılmıştır.

$$b_{ij} = \sum_{i=1}^5 \sum_{j=0}^5 \sum_{k=1}^3 c_{ijk} \delta^k \quad (4.6)$$

burada $\delta = D/T_c$ olarak tanımlanmıştır. Sonuçta bulunan regresyon katsayıları (c_{ijk}) Tablo 4.1 de verilmiştir. Bu regresyon katsayıları ile önce b_{ij} katsayıları hesaplanacak, ardından bunlarla a_i katsayıları hesaplanıp KN/B değerleri elde edilecektir. İstenilen herhangi bir su çekimindeki KN değeri, sadece draftı (T_c) değiştirmek suretiyle yaklaşık olarak hesaplanabilir.

4.2 KB ve BM Değerlerinin Modellenmesi

Gemi hacim merkezinin düşey yeri KB ve enine metasantr yarıçapı BM tamamen gemi formuna bağlı büyülüklərdir. Dolayısıyla KB ve BM bağlı olduğu form parametreleri yardımıyla yaklaşık olarak ifade edilebilir. Burada tekrar Doust serisi kullanılarak ve toplam 1080 adet gemi formu üretilerek KB ve BM değerlerinin modellenmesi regresyon analizi yardımıyla gerçekleştirılmıştır. Gemi boyu L , 15 -70 metre aralığında değiştirilmiş olup ve her L/B , B/T ve C_p aralığının göz önünde bulundurulmasına dikkat edilmiştir. Şöyled ki, her L için L/B değeri 0.5 aralıklarla artırılmış, her bir L/B için B/T değeri 0.25, her B/T için C_p değeri 0.034 aralıklarla artırılarak toplam 1080 adet gemi formu oluşturulmuştur. Elde edilen bu gemi formlarının hidrostatik değerleri bilgisayar programı yardımıyla yapılarak gerçek KB ve BM büyülükləri hesaplanmıştır. Bilinen KB ve BM değerleri gemi ön dizayn parametrelerine bağlı olarak aşağıdaki gibi regresyon analizi yardımıyla modellenmiştir.

$$KB/T = 0.585578 (C_{WL}/C_B)^{0.01725} \quad (4.7)$$

$$BM = I_x/\nabla$$

$$C_{WL} = 0.967059 C_B^{0.52085} \quad (4.8)$$

$$I_x = 0.075645 L B^3 C_{WL}^{1.41753} \quad (4.9)$$

burada, I_x enine atalet momenti, ∇ deplasman hacmi, C_{WL} ise su hattı alan katsayısidır.

Tablo 4.1 KN-Φ değerlerinin hesabı için bulunan regresyon katsayıları

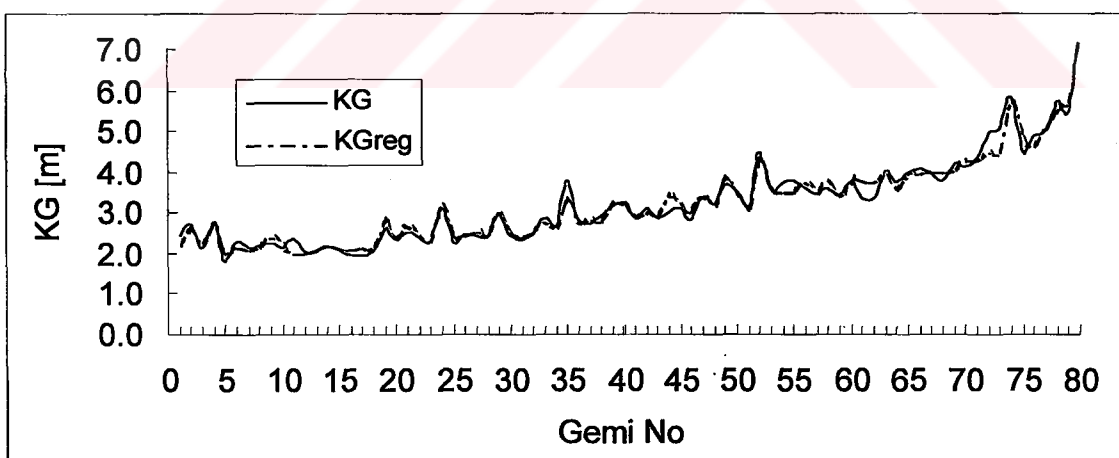
$\overline{KN} = (a_1 * \phi + a_2 * \phi^2 + a_3 * \phi^3 + a_4 * \phi^4 + a_5 * \phi^5) * B$				
$a_i = b_{i0} X_0 + b_{i1} X_1 + b_{i2} X_2 + b_{i3} X_3 + b_{i4} X_4 + b_{i5} X_5 , \quad (i=1,2,...,5)$				
$b_{ij} = c_{ij,0} + c_{ij,1}\delta + c_{ij,2}\delta^2 + c_{ij,3}\delta^3 , \quad (i=1,2,...,5) ; \quad j=0,1,2,...,5)$				
PARAMETRELER	$\delta = D/T_c$	$X_2 = C_B$	$X_4 = (C_B)^2$	
$X_0 = 1$	$X_1 = B/T$	$X_3 = (B/T)^2$	$X_5 = (B/T) C_B$	
Katsayılar	c_{ij0}	c_{ij1}	c_{ij2}	c_{ij3}
a ₁	b ₁₀	14.5172501	-17.8008728	-1.042955
	b ₁₁	-1.73563	1.569453	0.074500
	b ₁₂	-46.418400	62.176200	3.726970
	b ₁₃	0.102047	0.022313	0.006282
	b ₁₄	35.525400	-46.477500	-2.730700
	b ₁₅	3.617750	-5.287920	-0.333715
a ₂	b ₂₀	-80.681100	112.747000	6.650510
	b ₂₁	7.159040	-5.667280	-0.051304
	b ₂₂	301.112000	-439.710000	-26.839500
	b ₂₃	-1.385360	1.293880	0.044145
	b ₂₄	-248.521000	365.492000	22.787500
	b ₂₅	-14.138700	18.909700	0.868490
a ₃	b ₃₀	148.346000	-210.134000	-12.188900
	b ₃₁	-16.090200	11.840300	-0.212438
	b ₃₂	-551.771000	832.367000	51.963000
	b ₃₃	5.060520	-5.894390	-0.267934
	b ₃₄	481.359000	-739.207000	-48.236000
	b ₃₅	10.684300	-9.906370	0.350228
a ₄	b ₄₀	-104.237000	148.216000	8.458320
	b ₄₁	13.600700	-9.787280	0.316934
	b ₄₂	386.031000	-596.394000	-38.092600
	b ₄₃	-5.484350	6.846290	0.336006
	b ₄₄	-358.771000	567.088000	38.392500
	b ₄₅	4.111210	-11.656300	-1.654000
a ₅	b ₅₀	24.839700	-35.422000	-1.993980
	b ₅₁	-3.832210	2.738250	-0.110723
	b ₅₂	-92.240700	145.691000	9.522420
	b ₅₃	1.835370	-2.376030	-0.121925
	b ₅₄	92.087800	-148.945000	-10.395500
	b ₅₅	-4.080020	7.727790	0.764305

4.3 Ağırlık Merkezinin Yaklaşık Olarak Modellenmesi

Gemi ağırlık merkezinin düşey yeri olan KG 'nin hesabı gerçek olarak ancak meyil deneyi ile belirlenir. KG, gemi formu ile doğrudan ilgili olmayıp, özellikle gemi üzerindeki ağırlık gruplarının dağılımı bu büyülüüğünü etkileyen en önemli faktörlerdir. Ağırlık merkezinin büyülüüğü için aşağıdaki empirik bağıntı ise, belirli sayıdaki ağırlık merkezleri bilinen balıkçı gemilerinin çoklu lineer regresyon analizi yardımı ile gemi dizayn parametrelerine bağlı olarak bulunmuştur. Analizde Tablo 4.2a ve Tablo 4.2b de verilen toplam 80 adet gerçek balıkçı gemisi verileri kullanılmıştır (Traung, 1967, 1968, 1969 ve Takagi, 1979).

$$\begin{aligned} KG_{reg} = & -0.00642 \times L + 0.2669 \times B + 0.3509 \times D + 0.272 \times L/V^{1/3} - 0.45126 \times C_B \\ & - 0.3337 \times L/(L \times B \times D)^{1/3} + 0.5411 \times B/D - 0.8347 \times D/T \end{aligned} \quad (4.10)$$

İfadenin çıkarılışında korelasyon katsayısı 0.98 ve standart sapma 0.19 olarak hesaplanmıştır. Tablolarda verilen gerçek KG değerleri ile regresyon formülü ile bulunan KG_{reg} değerleri karşılaştırılmış olup en büyük mutlak hatanın %13 den az olduğu gözlenmiştir (Şekil 4.3).



Şekil 4.3 Gerçek ve regresyon formülü ile bulunan KG değerlerinin karşılaştırılması

Tablo 4.2a KG'nin modellenmesinde kullanılan balıkçı gemileri

G.No	Gemi Adı	Ülke	L	B	D	T	C _B	Δ	KG
1	Sagitario	Japonya	17.07	4.88	2.65	2.30	0.380	70.0	2.42
2	Don Miguel	Arjantin	24.12	6.06	3.50	3.00	0.470	192.0	2.70
3	Kompira M 17	Japonya	24.80	5.60	2.55	2.28	0.575	186.6	2.16
4	Calamar	Arjantin	24.80	6.65	3.50	2.64	0.530	188.8	2.77
5	Taei M 13	Japonya	24.97	5.10	2.50	2.24	0.580	169.6	1.80
6	Choei M 15	Japonya	25.41	5.40	2.60	2.16	0.537	163.1	2.30
7	Fuku M 6	Japonya	25.44	5.30	2.40	1.92	0.558	148.0	2.16
8	Tsune M 15	Japonya	25.71	5.40	2.45	2.09	0.572	170.0	2.21
9	Okuni M 35	Japonya	26.00	5.50	2.60	2.77	0.492	199.9	2.26
10	Kyokko M 8	Japonya	26.00	5.60	2.50	2.16	0.620	199.9	2.12
11	Hatto M 25	Japonya	26.00	5.60	2.50	1.82	0.676	183.5	2.36
12	Ebisu M 22	Japonya	26.29	5.00	2.60	2.36	0.551	175.4	2.02
13	Akashi M 33	Japonya	26.50	5.40	2.55	2.20	0.583	188.2	2.04
14	Kinsei M 8	Japonya	26.51	5.45	2.50	2.26	0.583	195.2	2.21
15	Nichibei M 12	Japonya	27.00	5.45	2.66	2.27	0.579	198.2	2.08
16	Nichibei M 16	Japonya	28.00	5.45	2.65	2.29	0.588	210.5	1.94
17	Akashi M 177	Japonya	28.00	5.45	2.65	2.32	0.587	212.9	1.93
18	Aoba M	Japonya	29.24	5.40	2.70	2.58	0.578	241.3	2.06
19	Maya Maya	Çin	29.35	7.10	3.20	2.57	0.573	291.1	2.61
20	Nitto M 71	Japonya	29.85	5.90	2.85	2.57	0.598	277.6	2.31
21	Kag Na Li	Taiwan	30.63	6.50	3.00	2.58	0.570	246.0	2.53
22	Sankichi Maru	Japonya	30.65	6.10	2.50	2.27	0.680	260.0	2.36
23	Kompir M 3	Japonya	31.40	6.20	3.10	2.79	0.715	398.0	2.27
24	Cezembre	Fransa	32.40	7.30	3.90	3.15	0.420	271.0	3.13
25	Katsuei M 5	Japonya	32.98	6.20	3.15	2.86	0.688	412.5	2.26
26	Azuma M 5	Japonya	33.00	6.40	3.30	2.98	0.689	444.5	2.50
27	Shoichi M 11	Japonya	34.04	6.70	3.35	2.87	0.692	464.1	2.43
28	Hiyoshi M	Japonya	34.55	6.60	3.40	2.92	0.675	461.0	2.41
29	Eolo	Arjantin	35.17	7.35	4.00	3.40	0.520	428.0	2.98
30	Wako M 2	Japonya	35.34	6.70	3.40	2.93	0.672	478.0	2.42
31	Kittikachorn	Tayvan	35.70	5.90	2.65	2.23	0.540	242.0	2.34
32	Kyowa M	Japonya	37.18	6.70	3.40	2.84	0.650	471.0	2.50
33	Kailin M	Japonya	38.00	7.20	3.65	3.39	0.674	640.5	2.86
34	Konpira M 11	Japonya	38.50	7.00	3.50	3.12	0.696	600.0	2.68
35	E.E Prince	İngiltere	39.62	8.23	4.34	3.40	0.580	561.0	3.79
36	Koyo M 8	Japonya	41.70	7.50	3.80	3.13	0.699	701.4	2.81
37	Kawachi M	Japonya	41.74	7.20	4.05	3.45	0.593	630.4	2.73
38	Takatori M 11	Japonya	42.81	7.50	3.80	3.06	0.676	680.7	2.92
39	Hokko Maru	Japonya	43.24	8.20	3.60	3.26	0.640	684.0	3.17
40	Fukui Maru	Japonya	43.70	8.10	3.89	3.65	0.680	748.0	3.25

Tablo 4.2b KG'nin modellenmesinde kullanılan balıkçı gemileri

G.No	Gemi Adı	Ülke	L	B	D	T	C _B	Δ	KG
41	Taiyo M 55	Japonya	44.00	7.40	4.10	3.31	0.592	654.2	2.89
42	Kyoshin M. N 51	Japonya	44.13	7.80	4.10	3.34	0.650	690.0	3.13
43	Yamashiro M	Japonya	44.80	7.30	4.20	3.57	0.597	714.8	2.85
44	Dhanajarata	Japonya	46.45	8.70	4.20	2.90	0.520	594.4	3.01
45	Taiyo M	Japonya	46.90	8.20	4.35	3.40	0.593	795.3	3.11
46	Eitai M	Japonya	47.00	8.00	4.00	3.42	0.686	904.8	2.82
47	New Gwen	Fransa	47.43	8.30	4.70	3.76	0.520	715.0	3.42
48	Suijin M 1	Japonya	48.00	8.40	4.25	3.45	0.667	951.0	3.23
49	Prof,W Bernard	ABD	49.35	9.33	5.00	3.60	0.480	706.0	3.68
50	Konan M 8	Japonya	49.78	8.50	4.50	3.79	0.523	859.0	3.50
51	Uji M	Japonya	50.90	8.20	4.50	3.77	0.653	1052.8	3.15
52	Dregon II	ABD	51.82	10.36	5.56	4.01	0.490	957.0	4.48
53	Katsu M	Japonya	52.27	8.75	4.64	3.95	0.500	926.2	3.57
54	Hoyo Maru	Japonya	53.20	9.30	4.67	3.71	0.660	1265.8	3.72
55	Toyo Maru	Japonya	54.50	9.30	4.20	3.26	0.640	996.2	3.77
56	Seki M 15	Japonya	54.69	9.18	4.90	4.11	0.504	1066.3	3.62
57	Sumiyoshi M 28	Japonya	56.00	9.00	4.45	4.02	0.609	1263.7	3.45
58	Taiyo M 37	Japonya	56.17	9.50	5.09	3.91	0.560	1198.1	3.58
59	Kinryu M	Japonya	56.30	9.20	4.70	3.55	0.682	1286.1	3.44
60	Seki M 17	Japonya	56.95	9.40	5.00	4.10	0.495	1113.8	3.78
61	Fumi M 17	Japonya	57.04	9.40	4.99	3.64	0.464	927.8	3.37
62	Ernest Holt	England	59.00	9.15	4.90	4.27	0.507	1132.0	3.34
63	Kyo M 11	Japonya	59.15	9.50	5.08	4.35	0.498	1248.4	4.04
64	GTO II	İtalya	59.76	9.20	4.60	3.20	0.580	894.0	3.73
65	Konan M 26	Japonya	59.85	9.70	5.08	4.40	0.510	1335.4	3.98
66	Konan M 18	Japonya	59.85	9.70	5.10	4.59	0.515	1407.0	4.09
67	Miednie	Polonya	61.37	9.80	5.20	4.33	0.520	1312.0	4.00
68	Ikoma M	Japonya	64.46	10.50	5.30	3.64	0.598	1509.0	3.81
69	Chitose M. N,18	Japonya	66.25	10.80	4.90	3.74	0.670	1701.0	4.25
70	Oshoro Maru III	Japonya	66.70	11.00	5.40	4.04	0.600	1670.0	4.14
71	Taiyo M 51	Japonya	69.00	11.40	5.70	3.64	0.612	1795.7	4.35
72	Albakora	Polonya	69.23	11.00	5.25	4.95	0.500	1837.0	4.96
73	Genepesca	İtalya	73.44	11.00	5.45	4.64	0.460	1650.0	5.05
74	Jean Charcot	Fransa	74.50	14.10	7.45	4.61	0.470	2172.0	5.82
75	Colonel Plewen	Fransa	77.90	12.00	6.00	5.47	0.580	2658.0	4.49
76	Akebono Maru	Japonya	79.39	12.00	5.70	5.03	0.630	2848.0	4.84
77	Ryoyo Maru	Japonya	82.80	13.20	6.10	5.27	0.650	3554.0	5.03
78	Foka	Polonya	87.25	14.14	7.10	5.36	0.560	3700.0	5.74
79	Oshika Maru	Japonya	97.75	14.90	7.15	5.65	0.690	5183.0	5.43
80	Natalia Kovshova	Rusya	128.80	19.00	9.00	6.92	0.600	9839.0	7.10

4.4 Stabilite Kriterlerinin Uygulanması

Burada başlangıç ve statik stabilitesi bilinen bir gemiye bir önceki bölümde önerilen stabilite kriterlerinin uygulanması için gerekli hesaplama yöntemi verilecektir. Genel olarak lineer olmayan zorlanmış gemi yalpa hareket denklemini aşağıdaki gibi tekrar ifade edecek olursak;

$$(I + J)\ddot{\Phi} + f_1(\dot{\Phi}) + g_1(\Phi) = E_1 + WM_1$$

Denklemde verilen terimlerin hesaplanması ve kriterlerin uygulanması ile ilgili gerekli hesaplamalar aşağıda verilmiştir.

4.4.1 Kütle ve eksu kütlesi atalet momentinin hesabı

Burada I, kütle atalet momenti Dwyer'in aşağıda verilen yaklaşık formülü ile hesaplanır.

$$I = \frac{K_1 \Delta}{g} \quad (4.11)$$

$$K_1 = \frac{(B^2 + 4GF^2)}{12} \quad (4.12)$$

$$GF = KG - T \quad (4.13)$$

Eksu atalet momenti J ise, Özkan (1985) tarafından çıkarılan aşağıdaki yaklaşık ifade ile hesap edilebilir.

$$J = \frac{\Delta (K_2 B)^2}{g} \quad (4.14)$$

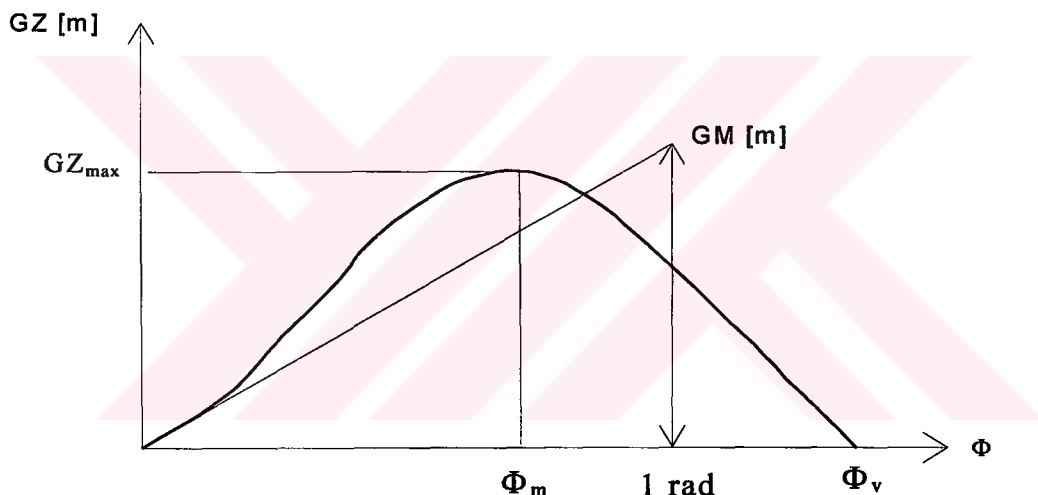
$$\begin{aligned} K_2 = & -1.020198 + 0.496011(L/B) - 0.04287(L/B)^2 + [5.296516 - 2.250937(L/B) \\ & + 0.193563(L/B)^2](T/B) + [-7.500317 + 2.913968(L/B) - 0.24222(L/B)^2](T/B)^2 \\ & + [3.164722 - 1.284722(L/B) + 0.114778(L/B)^2]C_B + [-12.739028 + 5.332778(L/B) \\ & - 0.489306(L/B)^2](T/B)C_B + [17.630556 - 64.85556(L/B) + 0.602778(L/B)^2](T/B)^2C_B \\ & + [-1.991468 + 0.925(L/B) - 0.085119(L/B)^2]C_B^2 + [7.647817 - 3.630952(L/B) \\ & + 0.348214(L/B)^2](T/B)C_B^2 + [-10.45635 + 4.52381(L/B) - 0.416667(L/B)^2](T/B)^2C_B^2 \end{aligned} \quad (4.15)$$

4.4.2 Doğrultma momentinin hesabı

Doğrultma momenti, moment kolu GZ ile deplasmanın çarpımı ile bulunur. Moment kolu GZ mevcut ve formu bilinen bir gemi için hesaplanabilir. Fakat ön dizayn aşamasında bunun hesabı ancak yaklaşık ifadelerle mümkündür. GZ değerinin hesabı için stabilité çapraz değerlerinin (KN-Φ) ve gemi ağırlık merkezinin (KG) bilinmesi gereklidir.

$$GZ = KN - KG \sin(\Phi) \quad (4.16)$$

Bu amaçla öncelikle KN ve KG değerleri hesaplanarak doğrultucu moment kolu değerleri ($GZ-\Phi$), (4.16) denklemi yardımıyla bulunur.



Şekil 4.4 Statik stabilité eğrisi

Doğrultma moment kolu eğrisi $GZ(\Phi)$ aşağıda verildiği gibi dokuzuncu mertebeden tek dereceli polinom ile yaklaşık olarak ifade edilmiştir (Özkan, 1985),

$$GZ(\Phi) = c_0 \Phi + c_1 \Phi^3 + c_2 \Phi^5 + c_3 \Phi^7 + c_4 \Phi^9 \quad (4.17)$$

burada c_i katsayıları aşağıdaki şartlarla kolaylıkla hesaplanabilir.

$$\frac{dGZ(\Phi)}{d\Phi} \Big|_{\Phi=0} = c_0 \text{ ve } c_0 = GM \quad (4.18)$$

olduğundan c_0 (4.17) denkleminde yerine koyulduğunda aşağıdaki denklemler elde edilir.

$$i) \int_{\phi=0}^{\phi=\phi_v} GZ(\Phi)d\Phi = A_{\Phi_v}$$

$$\frac{1}{4}\Phi_v^4 c_1 + \frac{1}{6}\Phi_v^6 c_2 + \frac{1}{8}\Phi_v^8 c_3 + \frac{1}{10}\Phi_v^{10} c_4 = A_{\Phi_v} - \frac{1}{2}GM\Phi_v^2 \quad (4.19)$$

$$ii) GZ(\Phi_m) = GZ_{max}$$

$$\Phi_m^3 c_1 + \Phi_m^5 c_2 + \Phi_m^7 c_3 + \Phi_m^9 c_4 = GZ - GM\Phi_m \quad (4.20)$$

$$iii) GZ(\Phi_v) = 0$$

$$\Phi_v^3 c_1 + \Phi_v^5 c_2 + \Phi_v^7 c_3 + \Phi_v^9 c_4 = -GM\Phi_v \quad (4.21)$$

$$iv) \frac{dGZ(\Phi)}{d\Phi} \Big|_{\Phi=\Phi_m} = 0$$

$$3\Phi_m^2 c_1 + 5\Phi_m^4 c_2 + 7\Phi_m^6 c_3 + 9\Phi_m^8 c_4 = -GM \quad (4.22)$$

c_1, c_2, c_3, c_4 katsayıları (4.19), (4.20), (4.21) ve (4.22) denklemlerinden kolaylıkla hesaplanabilir.

$$C_{11} = \Delta GM \quad (4.23)$$

$$C_{22} = \Delta \left[\frac{c_1\Phi_v^3 + c_2\Phi_v^5 + c_3\Phi_v^7 + c_4\Phi_v^9}{\Phi_v^3} \right] \quad (4.24)$$

4.4.3 Maksimum dalga momentinin hesabı

Maksimum dalga momenti E_1 aşağıdaki formülle hesaplanabilir, burada harmonik dalga zorlamalarının etkisi dikkate alınmış, difraksiyon etkisi ise ihmal edilmiştir.

$$E_1 = \pi \Delta H_w GM / \lambda \quad (4.25)$$

burada H_w dalga yüksekliği, λ ise dalga boyudur. Derin su kabulu yapılarak dalga boyu

$$\lambda = \frac{g T_w^2}{2\pi} \quad (4.26)$$

formülü ile hesaplanabilir.

4.4.4 Rüzgar sağanağı momentinin hesabı

Rüzgar sağanağı momenti WM_1 ise,

$$WM_1 = \frac{1.5 P \times A \times h}{g} \quad (4.27)$$

şeklinde hesap edilebilir. Bu denklemde A rüzgara açık yanal projeksiyon alanı, h rüzgar moment kolu (gemi ağırlık merkezi ile rüzgara açık yanal projeksiyon alan merkezi arasındaki mesafe) ve P rüzgar basıncıdır (0.48 kN/m^2 alınabilir). Toplam zorlama momenti Z_1 ,

$$Z_1 = E_1 + WM_1 \quad (4.28)$$

şeklinde hesap edilebilir.

4.4.5 Sönüüm momentinin hesabı

Burada sadece açısal hızla bağlı kuadratik yalpa sonüm modeli göz önünde bulundurulmuştur.

$$f_1(\dot{\Phi}) = B_{11}\dot{\Phi} + B_{22}\dot{\Phi}^2 \quad (4.29)$$

Dalga sönüm katsayısı B_{11} ve lineer olmayan viskoz sönüm katsayısı B_{22} aşağıdaki gibi empirik formüllerle hesaplanabilir.

$$B_{11} = c(I+J) \quad (4.30)$$

$$B_{22} = k L B^4 \quad (4.31)$$

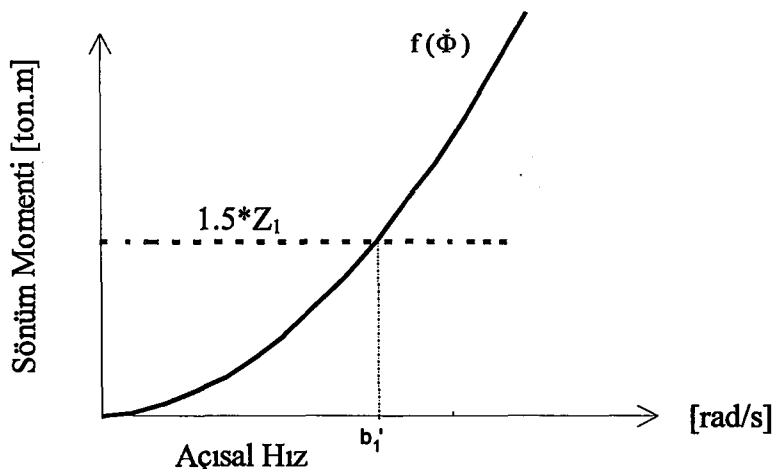
burada balıkçı gemileri için, $c = 0.025$, $k = 0.001$ alınabilir (Özkan, 1985).

4.4.6 Sönüm momenti ile zorlamaların kesişmesi (b'_1)

Sönüm momenti eğrisi ile zorlamaların kesişme noktası olan b'_1 yalpa hızı değeri bulunur (Şekil 4.5).

$$B_{11}\dot{\Phi} + B_{22}\dot{\Phi}^2 - 1.5Z_1 = 0 \quad (4.32)$$

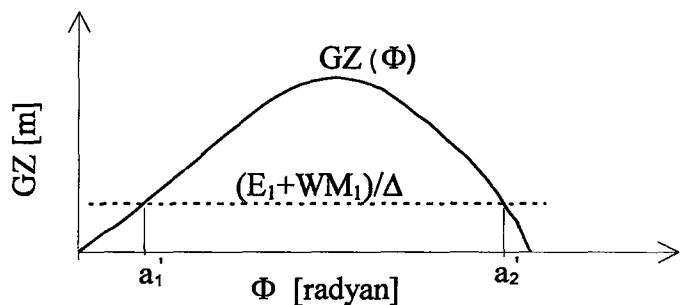
$$b'_1 = \frac{-B_{11} + \sqrt{(B_{11})^2 + 4B_{22}(1.5Z_1)}}{2B_{22}} \quad (4.33)$$



Şekil 4.5 Sönüm momenti ve zorlamalar

4.4.7 Doğrultma momenti ile zorlamaların kesişmesi

Şekil 4.6'dan da görüleceği gibi, doğrultma moment kolu eğrisi ile zorlamaların kesişmesinden a'_1 ve a'_2 değerleri bulunur.



Şekil 4.6 Doğrultma moment kolu ve zorlamalar

4.4.8 Pratik stabilité bölgesinin noktalarının bulunması

Şekil 4.7 de gösterilen pratik stabilité bölgesinin çizilmesi için bölgeyi oluşturan eğrilerin üç noktalarının elde edilmesi verilecektir. Bu üç noktalar bulunduktan sonra bunların birleştirilmesiyle pratik stabilité bölgesi çizilir. Bu noktalar aşağıdaki şekilde verilmiştir (Özkan, 1985).

i) İlk nokta olan $P_0 (\Phi_0, \dot{\Phi}_0)$ noktası aşağıdaki şartlardan elde edilir.

$$\Phi_0 = 0 \quad (4.34)$$

$$\dot{\Phi}_0 = [(b'_1)^2 + 3 Z_1 a'_1 / (I+J)]^{0.5} \quad (4.35)$$

ii) $P_1 (\Phi_1, \dot{\Phi}_1)$ noktası

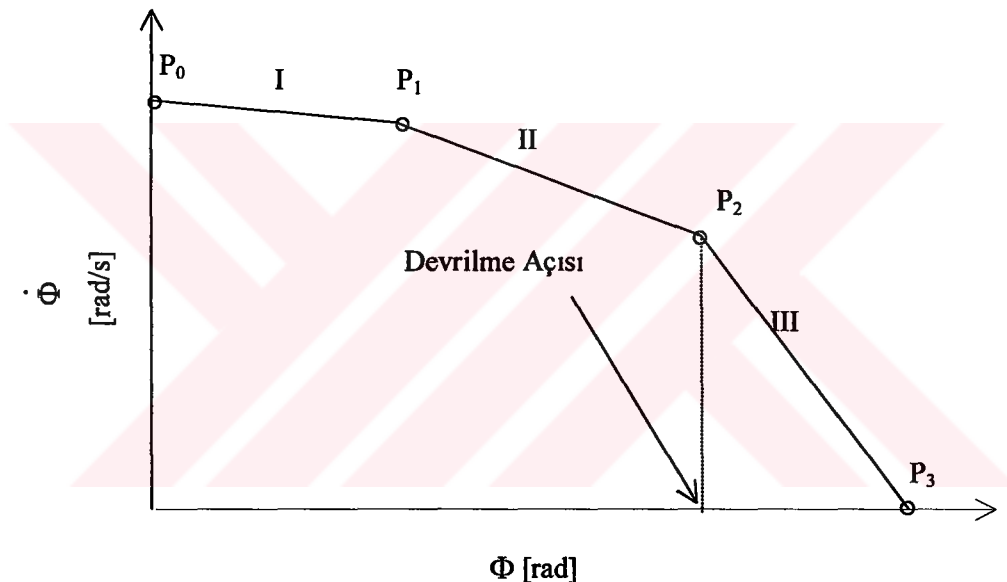
Φ_1 aşağıdaki denklemin en küçük pozitif kökü olarak alınır.

$$\int_0^{\Phi_1} g_1(\Phi) d\Phi + \frac{1}{2} Z_1 \Phi_1 - \frac{3}{2} Z_1 a_1 = 0 \quad (4.36)$$

burada $g_1(\Phi) = \Delta GZ(\Phi)$ alınır ve herhangi bir iterasyon yöntemi ile (4.36) denkleminin kökü kolaylıkla bulunur.

$\dot{\Phi}_1$, (4.33) denkleminden elde edilir.

$$\dot{\Phi}_1 = b'_1 \quad (4.37)$$



Şekil 4.7 Pratik stabilite bölgelerinin çizilmesi

iii) $P_2(\Phi_2, \dot{\Phi}_2)$ noktası

$\Phi_3 = \Phi_v$ alınarak

$$\Phi_2 = \Phi_1 + \frac{\int_{\Phi_1}^{\Phi_3} g_1(\Phi) d\Phi}{Z_1} - \frac{(b'_1)(I+J)}{2Z_1} \quad (4.38)$$

Φ_2 bulunmasında aşağıdaki durumlar ortaya çıkabilir :

- a) $\Phi_2 < \Phi_1$ ise "Pratik stabilité bölgesi oluşmaz ve bu durumda sönüm yetersizdir "
- b) $\Phi_2 > \Phi_3$ ise " $(P_1 P_2)$ eğrisi üçüncü bölgeyi de kapsar ve III. bölge oluşmaz". Bu durumda II. bölgenin sınırını bulmak gereklidir yani $\dot{\Phi}_2 = 0$ alarak Φ'_2 bulunur.

$$V_2 = 0.5(b'_1)^2 + \frac{\int_0^{\Phi_1} g_1(\Phi) d\Phi - Z_1 \Phi_1}{I+J} \quad (4.39)$$

$$V_2 - \frac{\int_0^{\Phi} g_1(\Phi) d\Phi + Z_1 \Phi}{I+J} = 0 \quad (4.40)$$

(4.40) denkleminin kökü Φ'_2 olarak alınır.

- c) $\Phi_1 < \Phi_2 < \Phi_3$ ise

$$\dot{\Phi}_2 = \sqrt{\frac{2 \int_{\Phi_2}^{\Phi_3} g_1(\Phi) d\Phi}{I+J}} \quad (4.41)$$

iv) $P_3 (\Phi_3, \dot{\Phi}_3)$ noktası

$$\Phi_3 = \Phi_V \quad (4.42)$$

$$\dot{\Phi}_3 = 0 \quad (4.43)$$

4.4.9 GM_r kriterinin uygulanması

Başlangıç stabilitesi ölçüsü olan metasantr yüksekliği GM değeri zorlamalara bağlı olarak aşağıda verilen GM_r değerinden büyük olmalıdır. Yani $GM > GM_r$ ise mevcut GM değeri yeterlidir.

$$GM_r \geq \frac{1 \cdot 89}{\Delta} \left[(E_1 + WM_1)^2 C_{22} \right]^{1/3} \quad (4.44)$$

4.4.10 Φ_m kriterinin uygulanması

Maksimum GZ değerine karşılık gelen yalpa açısı olan Φ_m değeri, zorlamalara bağlı olarak yeniden çıkarılan ve aşağıda verilen değerden büyük olmalıdır (Φ_{m_r}).

$$\Phi_{m_r} \geq \frac{WM_1 + \sqrt{WM_1^2 + \frac{5}{3} \cdot \Delta \cdot GM(E_1 T')}}{\frac{5}{6} \cdot \Delta \cdot GM}, \quad \Phi_{m_r} > 0 \quad (4.45)$$

burada ,

$T' = T_\Phi/4$ olup çeyrek yalpa periyodudur.

Eğer $\Phi_m < \Phi_{m_r}$ ise "mevcut Φ_m değeri yetersizdir"

Pratik stabilité kriterleri Ek 2 de verilen tablolar yardımıyla kolaylıkla balıkçı gemilerine uygulanabilir hale getirilmiştir.

5. UYGULAMA

Bu bölümde, önceki bölümlerde teorisi ve uygulama prosedürü verilen stabilite kriterlerinin balıkçı gemilerine uygulanması ve gemi form parametrelerinin stabilite kriterleri üzerindeki etkisi incelenecektir. Bu amaçla öncelikle deplasmanı sabit geniş bir dizayn aralığını içeren ve direnç yönünden optimize edilen DOUST (Doust,1963,1979), BSRA (Pattulo ve Thomson,1965), UBC (Çalışal ve McGreer,1993) ve İTÜ (Kafalı,1980) serilerinden yararlanarak 30 adet balıkçı gemisi formu oluşturulmuştur. Deplasmanın sabit alınmasının nedeni, dizayn parametrelerinin stabilite karakteristikleri üzerine etkisini daha açık bir şekilde görmektir. Tablo 5.1 de ana boyutları verilen bu gemilerin dizayn aralığı aşağıda ve offset değerleri ise Ek 1 de verilmiştir.

$$2.0 < B/T < 3.0 \quad (5.1)$$

$$3.5 < L/\nabla^{1/3} < 5.6 \quad (5.2)$$

$$0.40 < C_B < 0.60 \quad (5.3)$$

Bu üretilen gemilerin gerçek hidrostatik ve stabilite hesapları yapılarak, stabilite çapraz değerleri (KN-Φ) Tablo 5.2'de, doğrultucu moment kolu (GZ-Φ) değerleri ise Tablo 5.3'de verilmiştir. Başlangıç stabilitesi (GM) ve statik stabilité karakteristikleri Tablo 5.4'de verilmiştir. Önceki bölümde stabilite çapraz değerleri için bulunan yaklaşık formüllerin, burada üretilen örnek balıkçı gemilerine uygulaması yapılmıştır. Şekil 5.1a,b,c,d,e'de formu üretilen 30 adet balıkçı gemisi için gerçek ve regresyon formülü ile bulunan KN-Φ değerlerinin karşılaştırılması görülmektedir. Şekillerden de görüleceği üzere regresyon formülü ile bulunan değerler ile gerçek değerler birbirine çok yakın olup, bazı gemilerdeki küçük sapmalar ise bu gemilerin optimum dizayn aralığının dışında olmasından kaynaklanmaktadır.

Şekil 5.2'de ise örnek balıkçı gemilerinin gerçek ve regresyon formülü ile bulunan KM değerlerinin karşılaştırılması görülmektedir. Şekilden de görüleceği üzere elde edilen regresyon formülü ile bulunan KM değerlerinin gerçek değerlerle uyum içinde olduğu ve ön dizayn aşamasında kullanmak için yeterli yaklaşma sahip olduğu söylenebilir.

Tablo 5.1 Örnek gemilerin ana boyutları

G.NO	$\Delta=200$ [ton]										
	L m	B m	T m	D m	C _B	L/B	B/T	L/ $\nabla^{1/3}$	KM m	KG m	GM m
1	20.70	6.870	2.750	3.845	0.500	3.02	2.50	3.569	3.073	2.750	0.323
2	21.40	6.750	2.700	3.780	0.500	3.17	2.50	3.690	3.027	2.693	0.334
3	22.60	6.570	2.630	3.679	0.500	3.44	2.50	3.897	2.946	2.610	0.336
4	23.30	6.470	2.590	3.624	0.500	3.60	2.50	4.017	2.902	2.563	0.339
5	24.30	6.340	2.530	3.548	0.500	3.84	2.50	4.190	2.837	2.500	0.337
6	25.20	6.220	2.490	3.484	0.500	4.05	2.50	4.345	2.790	2.446	0.344
7	26.10	6.110	2.440	3.423	0.500	4.27	2.50	4.501	2.741	2.392	0.349
8	28.40	5.860	2.340	3.283	0.500	4.85	2.50	4.896	2.626	2.275	0.351
9	29.00	5.800	2.320	3.248	0.500	5.00	2.50	5.000	2.600	2.250	0.350
10	30.30	5.670	2.270	3.178	0.500	5.34	2.50	5.224	2.544	2.189	0.355
11	30.90	5.620	2.250	3.146	0.500	5.50	2.50	5.328	2.519	2.167	0.352
12	31.50	5.570	2.230	3.117	0.500	5.66	2.50	5.431	2.496	2.145	0.351
13	32.00	5.520	2.210	3.092	0.500	5.80	2.50	5.517	2.474	2.120	0.354
14	32.60	5.470	2.190	3.063	0.500	5.96	2.50	5.621	2.453	2.097	0.356
15	25.00	5.643	2.766	3.873	0.503	4.43	2.04	4.311	2.608	2.249	0.359
16	25.00	5.828	2.673	3.742	0.503	4.29	2.18	4.311	2.655	2.307	0.348
17	25.00	6.083	2.567	3.593	0.503	4.11	2.37	4.311	2.738	2.397	0.341
18	25.00	6.266	2.486	3.481	0.503	3.99	2.52	4.311	2.809	2.463	0.346
19	25.00	6.443	2.422	3.391	0.503	3.88	2.66	4.311	2.886	2.534	0.352
20	25.00	6.527	2.391	3.347	0.503	3.83	2.73	4.311	2.926	2.568	0.358
21	25.00	6.775	2.304	3.226	0.503	3.69	2.94	4.311	3.055	2.673	0.382
22	25.00	6.980	2.790	3.911	0.400	3.58	2.50	4.311	3.820	2.915	0.905
23	25.00	6.780	2.710	3.794	0.425	3.69	2.50	4.311	3.592	2.793	0.799
24	25.00	6.480	2.590	3.627	0.465	3.86	2.50	4.311	3.281	2.606	0.675
25	25.00	6.440	2.580	3.608	0.470	3.88	2.50	4.310	3.251	2.583	0.668
26	25.00	6.410	2.560	3.590	0.475	3.90	2.50	4.310	3.220	2.561	0.659
27	25.00	6.100	2.440	3.415	0.525	4.10	2.50	4.310	2.729	2.363	0.366
28	25.00	6.040	2.420	3.382	0.535	4.14	2.50	4.311	2.706	2.326	0.380
29	25.00	5.900	2.360	3.304	0.558	4.24	2.50	4.310	2.737	2.232	0.505
30	25.00	5.740	2.290	3.209	0.593	4.36	2.50	4.310	2.649	2.120	0.529

Tablo 5.2 Kaide hattındaki doğrultucu moment kolu değerleri (KN-Φ)

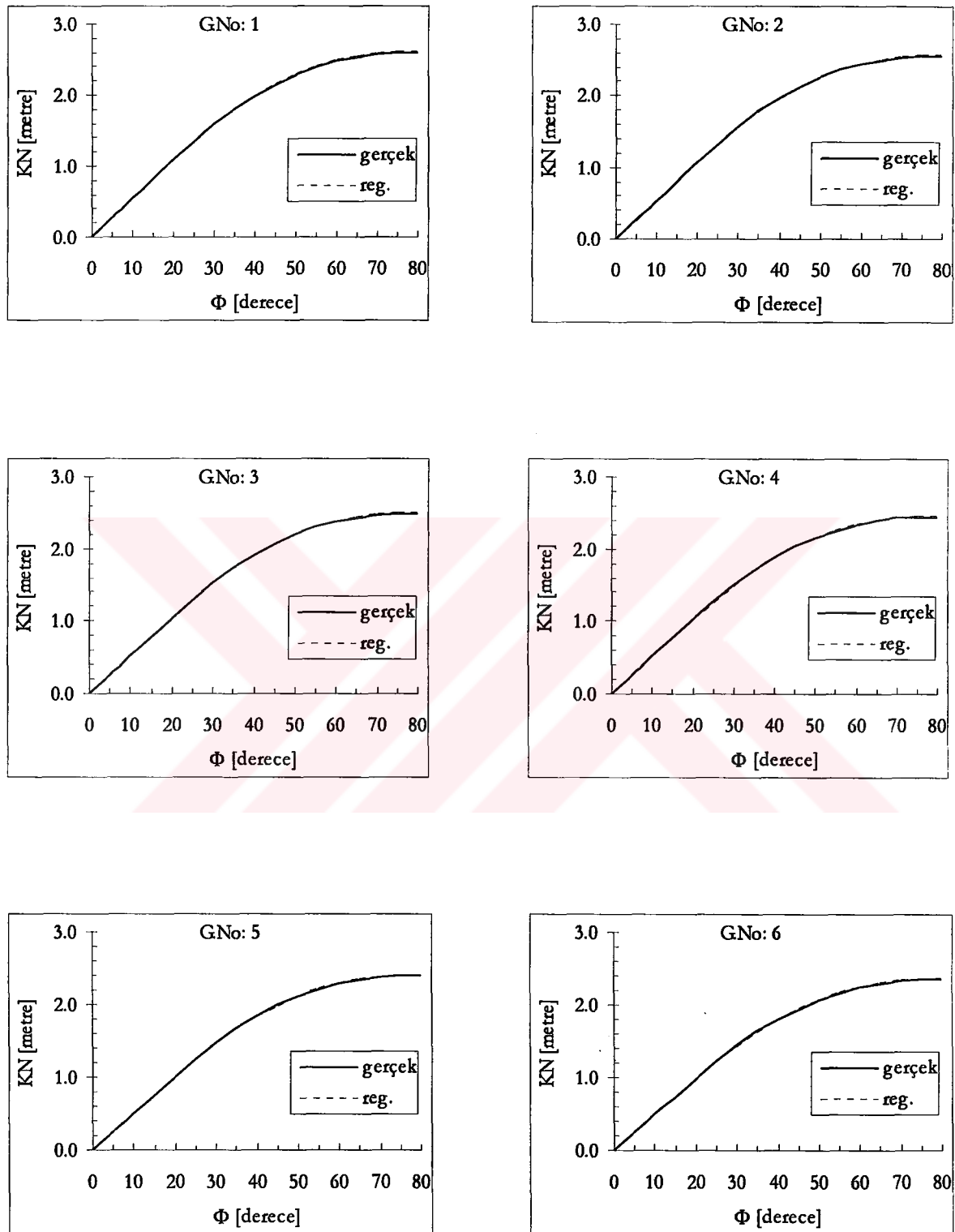
G.NO	KN [metre]									
	5°	10°	20°	30°	40°	50°	60°	70°	80°	
1	0.268	0.537	1.081	1.580	1.988	2.283	2.474	2.569	2.581	
2	0.264	0.529	1.065	1.557	1.958	2.249	2.439	2.533	2.544	
3	0.257	0.515	1.036	1.515	1.906	2.189	2.374	2.465	2.477	
4	0.253	0.507	1.021	1.490	1.878	2.157	2.339	2.431	2.444	
5	0.248	0.496	0.998	1.459	1.836	2.108	2.287	2.376	2.389	
6	0.243	0.487	0.981	1.435	1.805	2.074	2.249	2.337	2.350	
7	0.239	0.479	0.964	1.410	1.774	2.037	2.208	2.293	2.304	
8	0.229	0.459	0.924	1.351	1.699	1.952	2.116	2.198	2.208	
9	0.227	0.454	0.915	1.338	1.684	1.934	2.097	2.178	2.188	
10	0.222	0.445	0.895	1.309	1.647	1.892	2.052	2.132	2.144	
11	0.220	0.440	0.886	1.296	1.631	1.873	2.032	2.111	2.123	
12	0.218	0.436	0.878	1.284	1.616	1.856	2.012	2.089	2.099	
13	0.216	0.432	0.871	1.273	1.602	1.840	1.995	2.072	2.081	
14	0.214	0.429	0.863	1.262	1.588	1.824	1.978	2.054	2.064	
15	0.228	0.455	0.913	1.363	1.761	2.086	2.323	2.472	2.541	
16	0.232	0.463	0.932	1.385	1.774	2.082	2.298	2.426	2.476	
17	0.239	0.478	0.964	1.419	1.798	2.083	2.274	2.377	2.403	
18	0.245	0.491	0.988	1.443	1.813	2.080	2.252	2.337	2.346	
19	0.252	0.505	1.013	1.470	1.830	2.082	2.239	2.308	2.302	
20	0.255	0.512	1.026	1.483	1.837	2.082	2.231	2.293	2.280	
21	0.266	0.535	1.067	1.523	1.860	2.084	2.210	2.252	2.219	
22	0.327	0.652	1.250	1.681	2.004	2.210	2.341	2.388	2.365	
23	0.308	0.617	1.186	1.598	1.904	2.110	2.238	2.286	2.264	
24	0.282	0.565	1.159	1.766	1.795	1.960	2.090	2.143	2.121	
25	0.280	0.560	1.133	1.653	1.781	1.951	2.078	2.131	2.109	
26	0.277	0.554	1.111	1.562	1.762	1.939	2.062	2.111	2.088	
27	0.238	0.477	0.961	1.405	1.769	2.030	2.198	2.279	2.284	
28	0.236	0.476	0.951	1.393	1.753	2.011	2.176	2.254	2.255	
29	0.239	0.479	0.964	1.446	1.835	2.094	2.251	2.315	2.301	
30	0.231	0.464	0.934	1.399	1.770	2.018	2.162	2.223	2.204	

Tablo 5.3 Doğrultucu moment kolu değerleri (GZ-Φ)

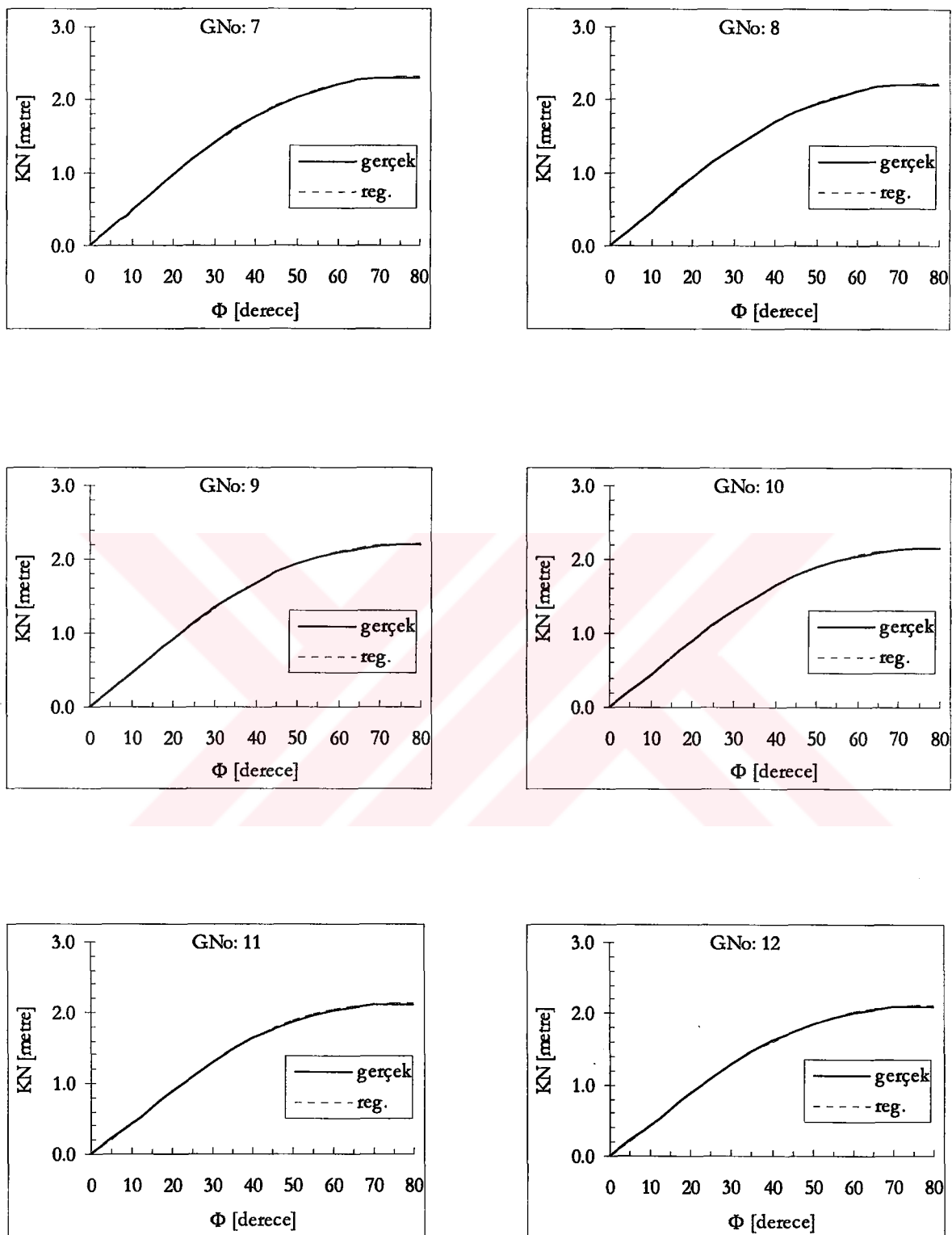
G.NO	GZ [metre]								
	5°	10°	20°	30°	40°	50°	60°	70°	80°
1	0.028	0.059	0.140	0.205	0.220	0.176	0.092	-0.015	-0.127
2	0.029	0.061	0.144	0.211	0.227	0.186	0.107	0.003	-0.108
3	0.030	0.062	0.143	0.210	0.228	0.190	0.114	0.013	-0.093
4	0.030	0.062	0.144	0.209	0.231	0.194	0.119	0.023	-0.080
5	0.030	0.062	0.143	0.209	0.229	0.193	0.122	0.027	-0.073
6	0.030	0.062	0.144	0.212	0.232	0.200	0.130	0.038	-0.059
7	0.031	0.064	0.146	0.214	0.236	0.205	0.136	0.045	-0.052
8	0.031	0.064	0.146	0.213	0.236	0.209	0.146	0.060	-0.033
9	0.031	0.063	0.146	0.213	0.238	0.211	0.149	0.064	-0.028
10	0.031	0.065	0.146	0.215	0.240	0.215	0.156	0.075	-0.012
11	0.031	0.064	0.145	0.212	0.238	0.213	0.155	0.074	-0.011
12	0.031	0.064	0.145	0.212	0.237	0.213	0.155	0.074	-0.013
13	0.031	0.064	0.146	0.213	0.240	0.216	0.159	0.080	-0.006
14	0.031	0.065	0.146	0.214	0.240	0.218	0.162	0.084	-0.001
15	0.032	0.064	0.144	0.238	0.315	0.363	0.375	0.358	0.326
16	0.031	0.062	0.143	0.232	0.291	0.315	0.300	0.258	0.204
17	0.030	0.062	0.144	0.221	0.257	0.247	0.198	0.125	0.043
18	0.030	0.063	0.146	0.211	0.230	0.193	0.119	0.022	-0.080
19	0.031	0.065	0.146	0.203	0.201	0.141	0.045	-0.073	-0.193
20	0.031	0.066	0.148	0.199	0.186	0.115	0.007	-0.120	-0.249
21	0.033	0.071	0.153	0.187	0.142	0.037	-0.105	-0.259	-0.413
22	0.073	0.146	0.253	0.223	0.130	-0.023	-0.183	-0.351	-0.506
23	0.065	0.132	0.231	0.201	0.109	-0.030	-0.181	-0.339	-0.487
24	0.055	0.112	0.268	0.463	0.120	-0.037	-0.167	-0.306	-0.446
25	0.055	0.111	0.249	0.361	0.120	-0.028	-0.159	-0.297	-0.435
26	0.054	0.109	0.235	0.282	0.116	-0.023	-0.156	-0.295	-0.434
27	0.032	0.067	0.153	0.224	0.250	0.220	0.152	0.059	-0.043
28	0.033	0.072	0.156	0.230	0.258	0.229	0.162	0.069	-0.035
29	0.044	0.091	0.201	0.330	0.401	0.384	0.318	0.218	0.103
30	0.046	0.096	0.209	0.339	0.407	0.394	0.326	0.231	0.116

Tablo 5.4 Statik stabilite karakteristikleri

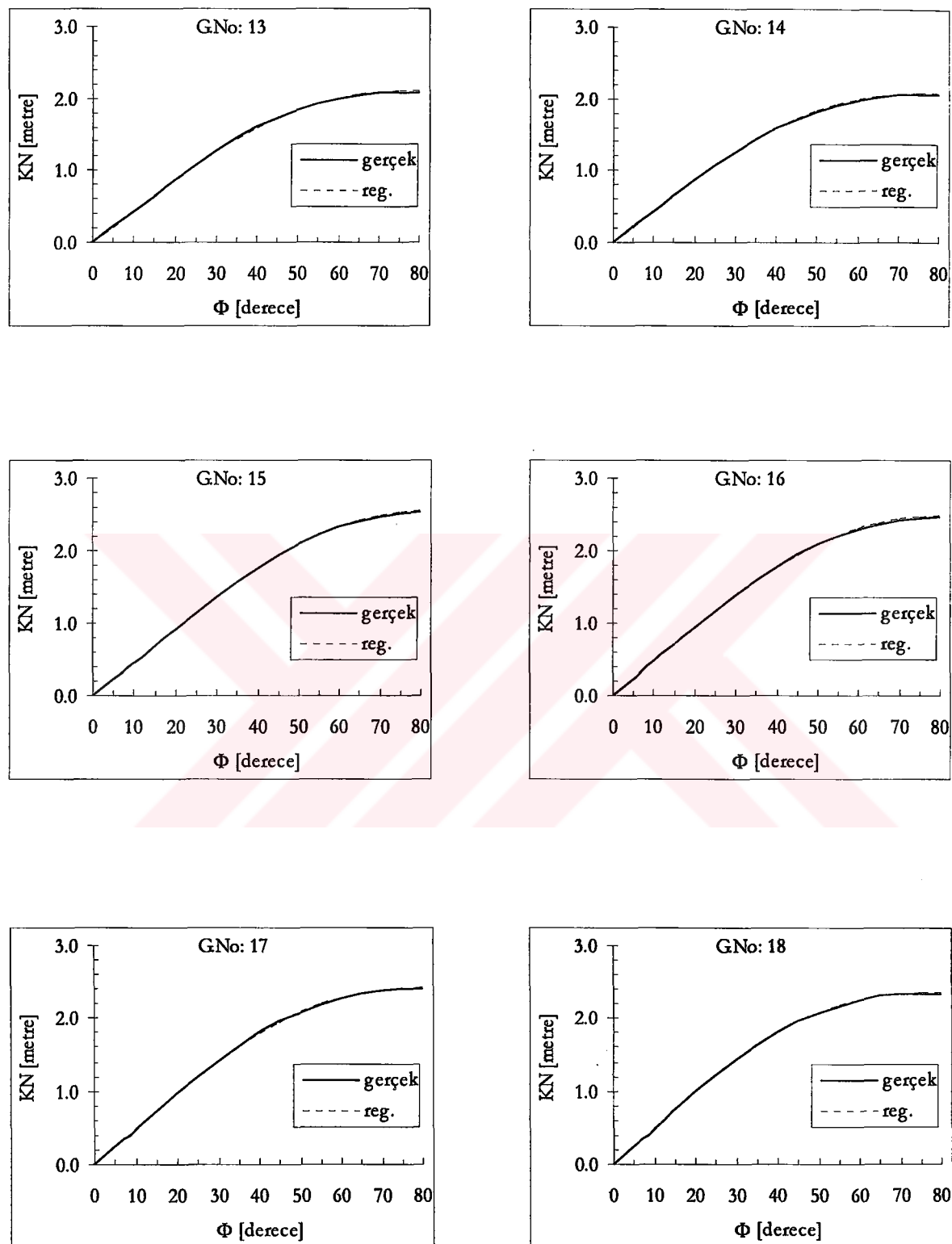
G.NO	GM m	GZ _{max} m	Φ _m rad.	Φ _v rad.	A ₃₀ mxrad	A ₄₀ mxrad	A ₃₀₋₄₀ mxrad	A _{Φ_v} mxrad
1	0.323	0.222	0.656	1.197	0.051	0.089	0.038	0.150
2	0.334	0.229	0.660	1.226	0.053	0.092	0.039	0.166
3	0.336	0.230	0.666	1.240	0.053	0.092	0.039	0.169
4	0.339	0.231	0.679	1.256	0.053	0.091	0.038	0.172
5	0.337	0.230	0.672	1.268	0.053	0.091	0.038	0.172
6	0.344	0.233	0.677	1.290	0.053	0.092	0.039	0.177
7	0.349	0.237	0.681	1.298	0.054	0.094	0.040	0.181
8	0.351	0.237	0.688	1.331	0.054	0.093	0.039	0.185
9	0.350	0.238	0.691	1.341	0.053	0.093	0.040	0.186
10	0.355	0.240	0.695	1.373	0.054	0.094	0.040	0.190
11	0.352	0.238	0.695	1.374	0.053	0.093	0.040	0.188
12	0.351	0.238	0.697	1.370	0.053	0.093	0.040	0.188
13	0.354	0.240	0.700	1.384	0.053	0.093	0.040	0.190
14	0.356	0.240	0.701	1.394	0.054	0.094	0.040	0.192
15	0.359	0.375	1.018	1.825	0.053	0.098	0.045	0.354
16	0.348	0.315	0.891	1.732	0.053	0.096	0.043	0.300
17	0.341	0.259	0.742	1.437	0.053	0.095	0.042	0.226
18	0.346	0.231	0.668	1.256	0.053	0.093	0.040	0.172
19	0.352	0.210	0.606	1.118	0.054	0.09	0.036	0.139
20	0.358	0.202	0.577	1.058	0.054	0.089	0.035	0.128
21	0.382	0.187	0.513	0.921	0.056	0.085	0.029	0.102
22	0.905	0.257	0.389	0.848	0.093	0.117	0.024	0.124
23	0.799	0.235	0.388	0.838	0.084	0.105	0.021	0.112
24	0.675	0.467	0.507	0.805	0.121	0.174	0.053	0.164
25	0.668	0.367	0.500	0.829	0.104	0.148	0.044	0.142
26	0.659	0.291	0.481	0.842	0.09	0.125	0.035	0.124
27	0.366	0.250	0.692	1.318	0.056	0.098	0.042	0.194
28	0.380	0.258	0.693	1.333	0.058	0.101	0.043	0.202
29	0.505	0.403	0.743	1.567	0.08	0.145	0.065	0.353
30	0.529	0.411	0.750	1.608	0.082	0.148	0.066	0.364



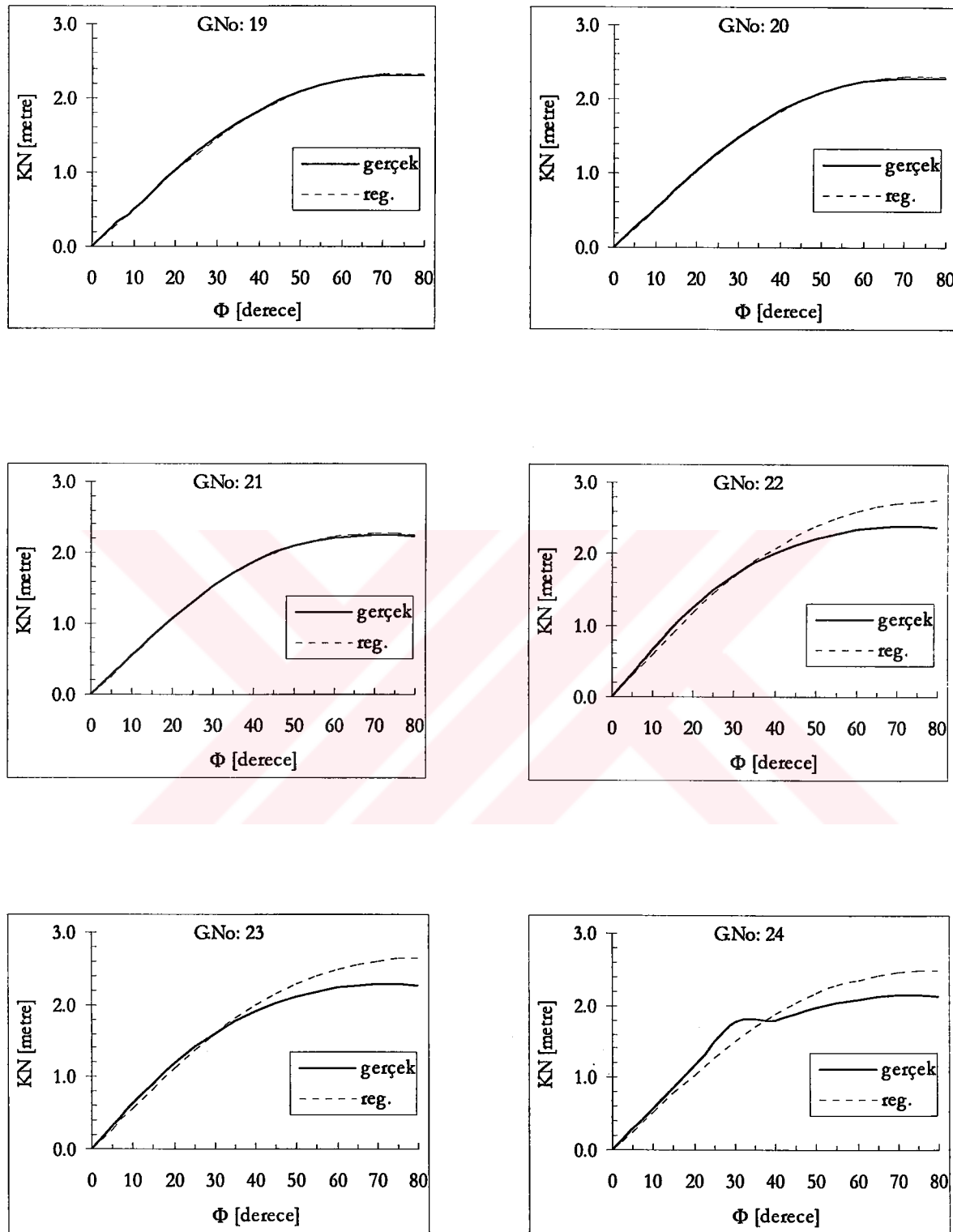
Şekil 5.1a Uygulamada kullanılan balıkçı gemilerinin KN-Φ değerlerinin karşılaştırılması



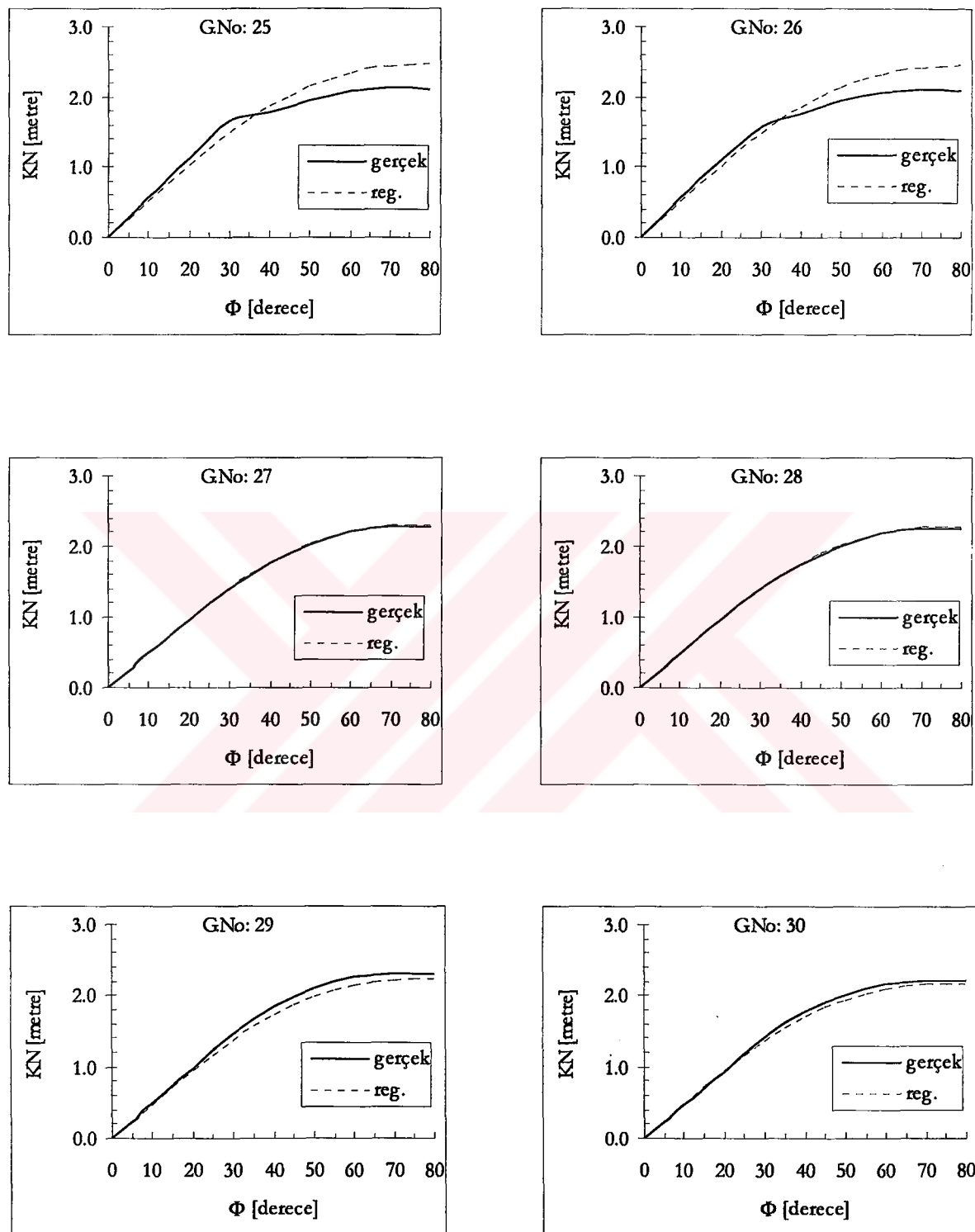
Şekil 5.1b Uygulamada kullanılan balıkçı gemilerinin KN-Φ değerlerinin karşılaştırılması



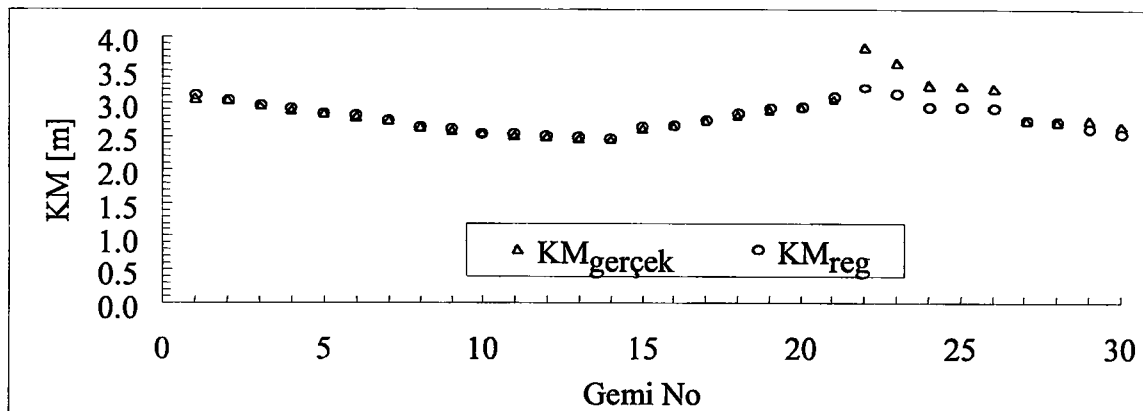
Şekil 5.1c Uygulamada kullanılan balıkçı gemilerinin KN-Φ değerlerinin karşılaştırılması



Şekil 5.1d Uygulamada kullanılan balıkçı gemilerinin KN- Φ değerlerinin karşılaştırılması



Şekil 5.1e Uygulamada kullanılan balıkçı gemilerinin KN-Φ değerlerinin karşılaştırılması

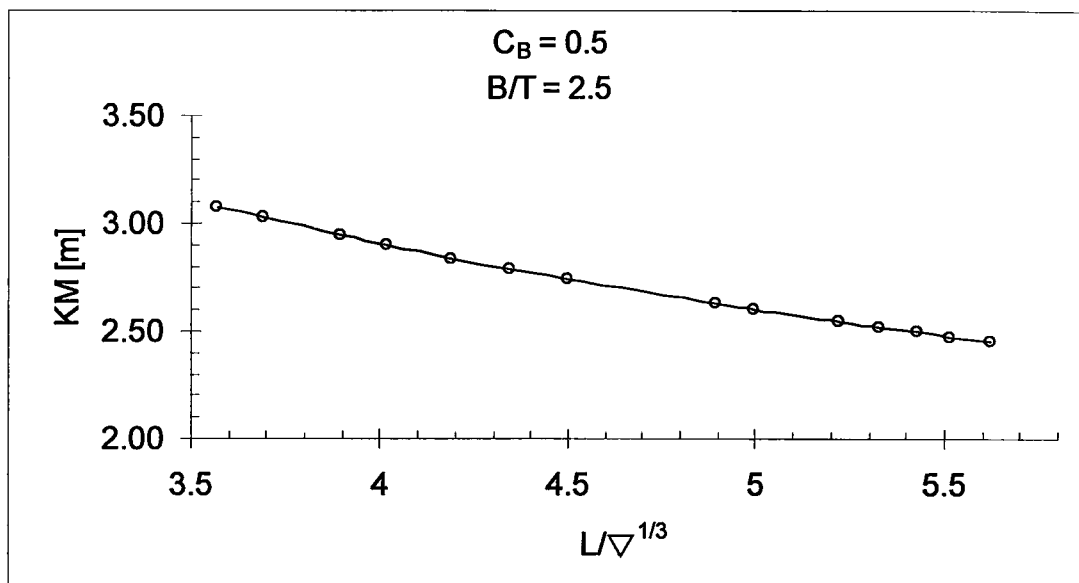


Şekil 5.2 Uygulamada kullanılan gemilerin KM değerlerinin karşılaştırılması

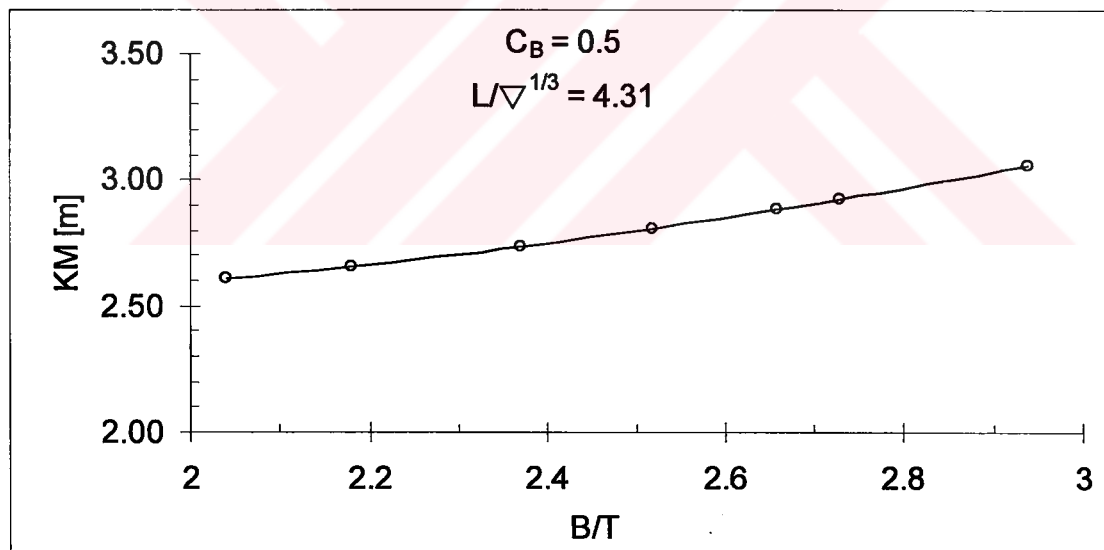
Burada öncelikle gemi dizayn parametrelerinin KM, KG ve GM üzerine etkisi incelenecaktır. Şekil 5.3'de blok katsayısi (C_B) ve genişlik-draft (B/T) oranı sabit kalmak şartıyla boy-deplasman ($L/\nabla^{1/3}$) oranının KM üzerine etkisi görülmektedir. Şekilden de görüldüğü gibi sabit deplasmanda gemi boyunun artışı KM değerinin azalması şeklinde etkisini gösterir ki bu da beklenen bir durumdur.

Şekil 5.4'de C_B ve $L/\nabla^{1/3}$ sabit kalmak şartıyla genişlik-draft oranının KM üzerine etkisi görülmektedir. Burada ise aynı deplasmanda genişliğin artışı ile özellikle enine metasantr yarıçapının önemli oranda artırmasından dolayı B/T oranının KM değerini yükselttiği görülmektedir. Şekil 5.5'de ise blok katsayısının KM değerini azaltma şeklinde etkisini gösterdiği görülmektedir. Bunun nedeni aynı deplasmanda dolgun olan gemilerin narin gemilere göre özellikle hacim merkezlerinin düşey yerinin (KB) daha küçük olmasıdır.

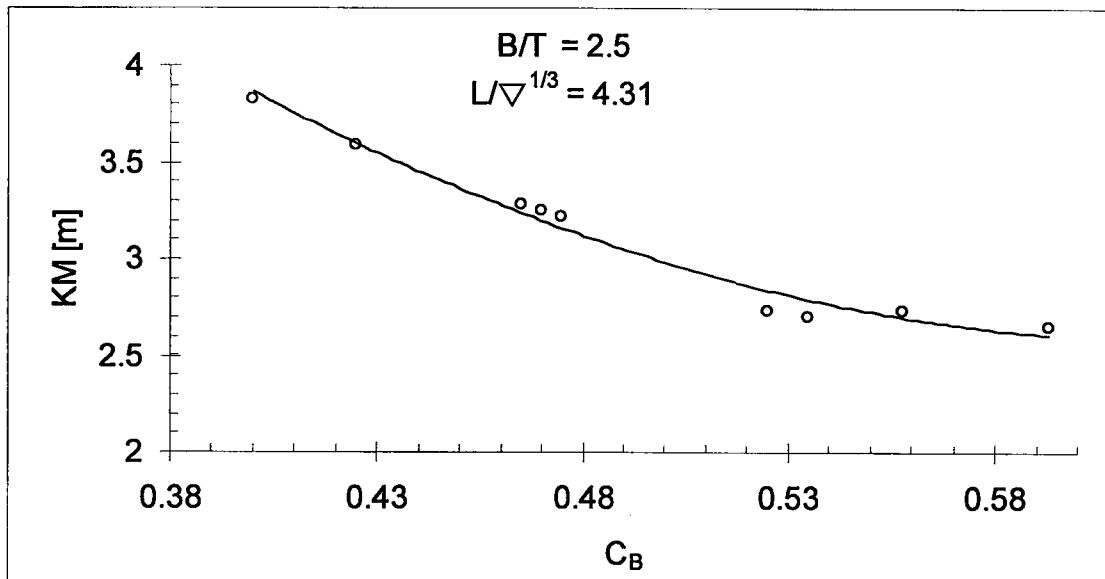
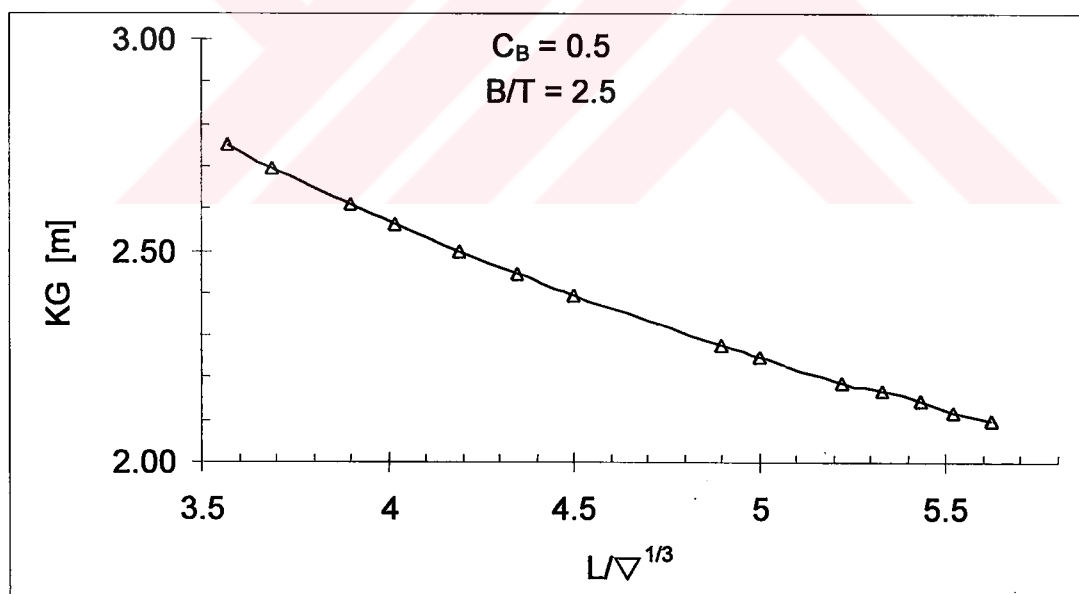
Gemi ağırlık merkezinin düşey yeri KG gemideki ağırlık gruplarının dağılımına bağlı olarak istatistiklere dayalı olarak çıkarılan KG formülü ile gemi form parametreleri arasındaki ilişki incelenmiştir. Şekil 5.6'da boy-deplasman oranının KG üzerine etkisi görülmekte ve aynı deplasmanda diğer parametreler sabit kalmak şartıyla gemi boyunun artışının KG değerini azalttığı görülmektedir. Şekil 5.7'de genişlik-draft oranının KG değerini artırdığı ve Şekil 5.8'de ise blok katsayısının azaltıldığı beklenen bir durum olarak görülmektedir. Burada istatistiksel olarak elde edilen KG formülünün kullanılmasıyla bulunan sonuçlar pratik açıdan kabul edilebilir niteliktidir. Form parametrelerin başlangıç stabilitesinin ölçüsü olan GM üzerine etkisi ise Şekil 5.9, 5.10 ve 5.11'de görülmektedir.

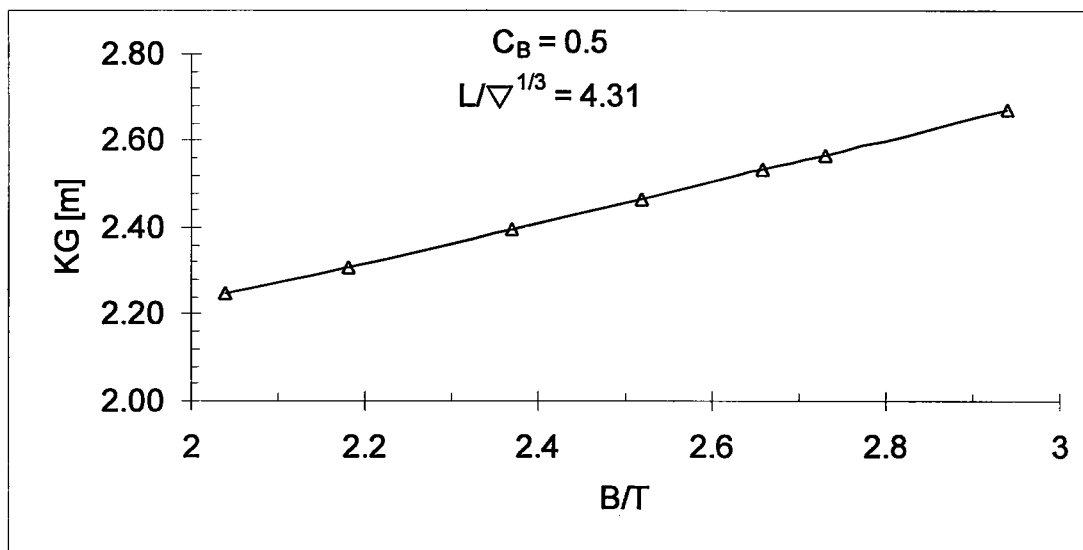


Şekil 5.3 $L/\Delta^{1/3}$ oranının KM üzerine etkisi

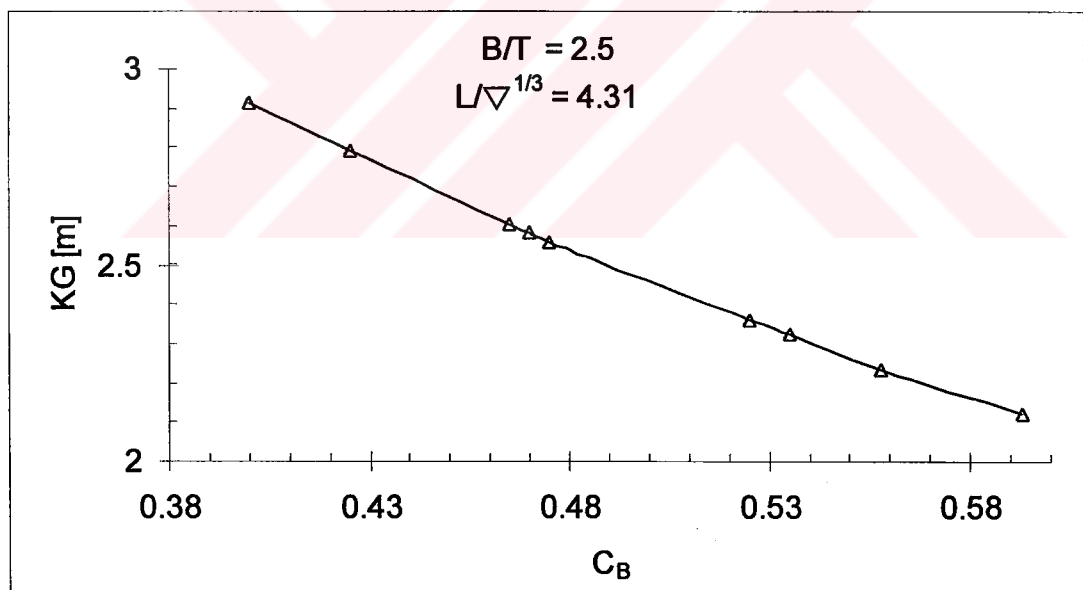


Şekil 5.4 B/T oranının KM üzerine etkisi

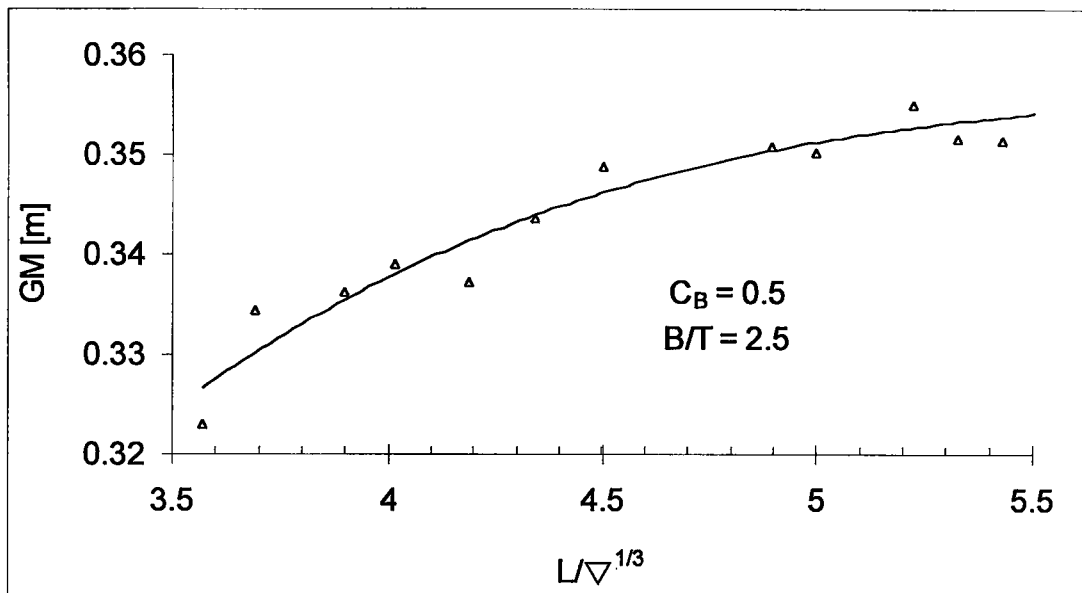
Şekil 5.5 C_B nin KM üzerine etkisiŞekil 5.6 $L/\nabla^{1/3}$ oranının KG üzerine etkisi



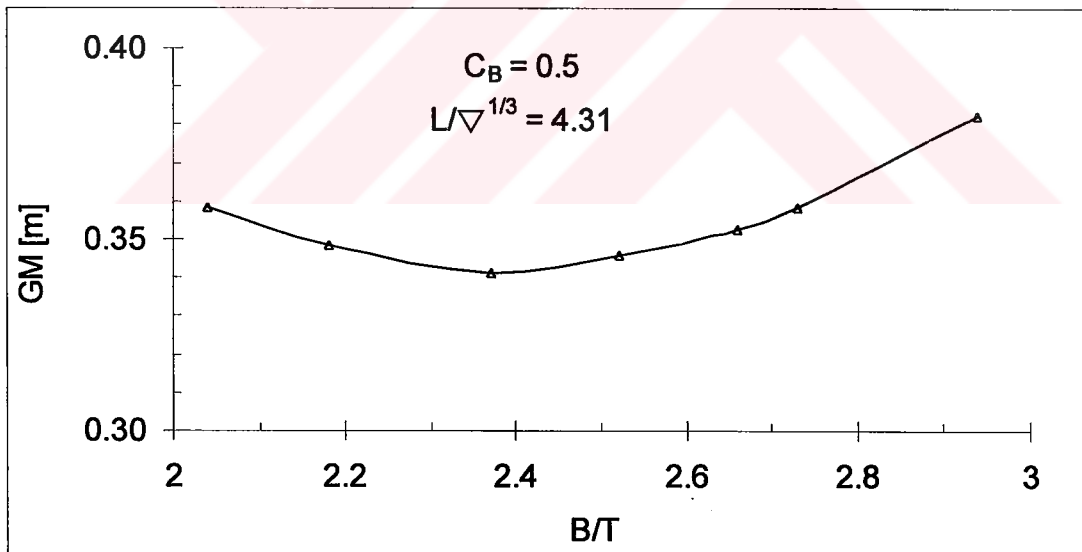
Şekil 5.7 B/T oranının KG üzerine etkisi



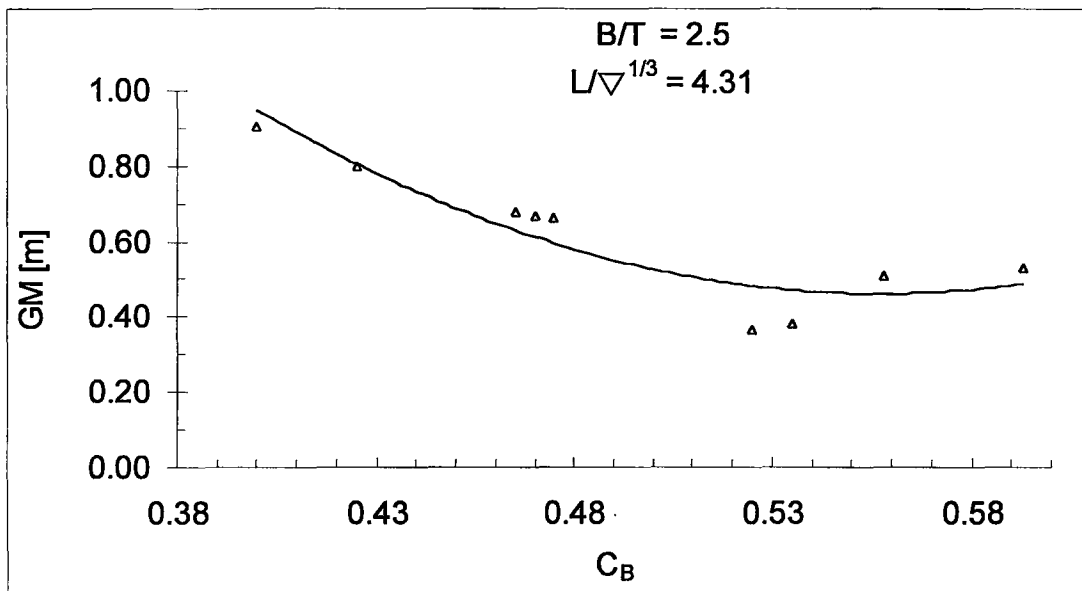
Şekil 5.8 C_B 'nin KG üzerine etkisi



Şekil 5.9 $L/\Delta^{1/3}$ oranının GM üzerine etkisi



Şekil 5.10 B/T oranının GM üzerine etkisi



Şekil 5.11 C_B 'nin GM üzerine etkisi

Bundan sonraki aşamada ise daha önceki bölümlerde önerilen stabilite kriterlerinin örnek gemilere uygulanmasıyla bulunan sonuçların gösterilmesine çalışılacaktır. Bu amaçla rüzgar ve deniz durumunu gösteren ve kullanımı pratik açıdan önemli olan Tablo 5.5'de verilen Beaufort ölçüğinden (BN) yararlanılmıştır. Hesaplarda özellikle balıkçı gemileri için kritik olan 4 ile 8 arasındaki Beaufort rüzgar kuvvetlerine karşılık gelen deniz durumu dikkate alınmıştır.

Şekil 5.12'de boy-deplasman oranının Φ_m kriteri üzerine etkisi 4 şiddetindeki deniz durumu için görülmektedir. Burada aynı deplasmanda C_B ve B/T sabit olmak üzere gemi boyunun artması ile gemilerin sağlanması gereken Φ_m değerinin arttığı açıkça görülmektedir. Şekil 5.13'de ise bütün deniz durumları için boy-deplasman oranının Φ_m kriteri ve mevcut Φ_m üzerine etkisi görülmektedir. Bu şimdiden görüleceği gibi mevcut Φ_m değeri de boy-deplasman oranı ile artmaka olup Φ_m kriteri mevcut durum ile tamamen uyum içindedir. Aynı zamanda deniz şiddeti arttıkça gemilerin sağlanması gereken Φ_m değerinin de arttığı, sadece 4 şiddetindeki deniz durumu için mevcut Φ_m değerlerinin kriteri sağladığı görülmektedir.

Şekil 5.14'de genişlik-draft oranının Φ_m kriteri üzerine etkisi görülmektedir. Aynı deplasman için B/T oranının artmasıyla gemilerin sağlaması gereken Φ_m değeri kriter'e göre azalmaktadır. Şekil 5.15'de bütün deniz durumları için genişlik-draft oranının mevcut Φ_m ve kriter üzerine etkisi görülmektedir. Burada da mevcut Φ_m değerinin B/T oranı ile azaldığı ve düşük B/T oranlı gemilerin daha şiddetli deniz durumları için kriteri daha iyi sağladığı görülmektedir. Şekil 5.16 ve Şekil 5.17'de ise blok katsayısının Φ_m üzerine etkisi görülmektedir. Burada C_B ile mevcut ve sağlanması gereken Φ_m değerlerinin önemli oranda olmasa da arttığı gözlenmektedir.

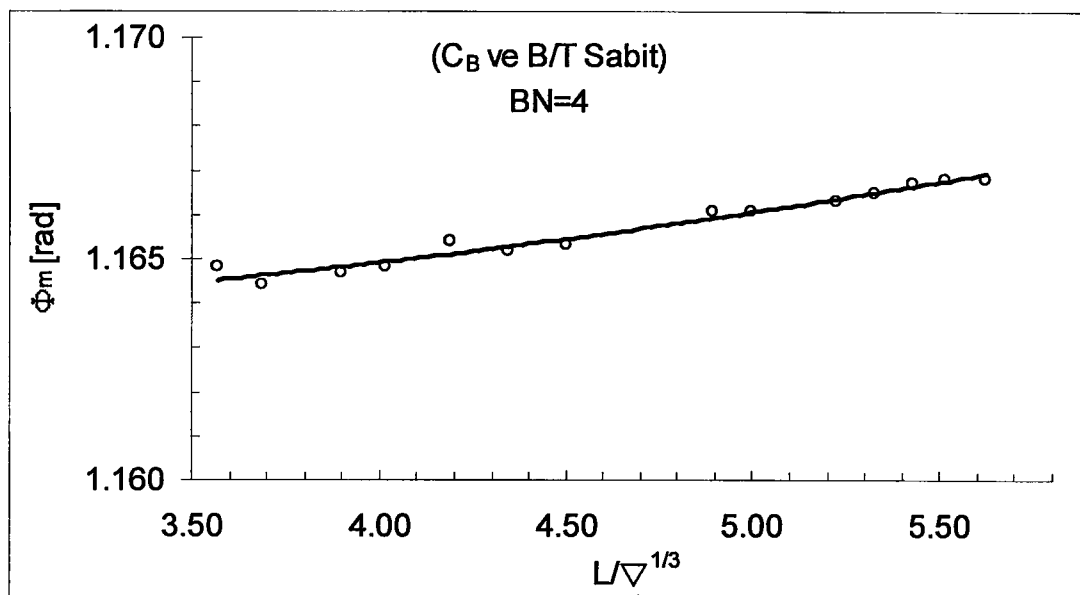
Maksimum doğrultma moment koluna karşılık gelen Φ_m açısı ile ilgili şu sonuca varılabilir: Gemiler genellikle Φ_m açısını geçtikten hemen sonra devrildiklerinden büyük genlikli yalpa hareketleri için Φ_m değeri çok önemli bir kriterdir. Dolayısıyla bu açıyı gemilerin çalışacağı deniz durumuna göre belirlemek dizayn açısından en uygun yoldur.

Boy-deplasman oranının GM kriteri üzerine etkisi Şekil 5.18 ve Şekil 5.19 da görülmektedir. Burada sabit deplasman için gemi boyunun artması ile mevcut ve GM kriterinde önemli bir değişme görülmemektedir. Bütün gemiler kriteri sağlamakta olup deniz şiddetinin artmasıyla dahi GM kriterinde önemli bir artış olmamaktadır. Şekil 5.20 ve Şekil 5.21'de genişlik-draft oranının GM kriteri üzerine etkisi görülmekte olup bu oranın artışı ile GM kriteri değeri de artmaktadır. Fakat burada deniz şiddetinin artmasından dolayı GM kriterindeki artış önemli oran da değildir. Aynı şekilde blok katsayısının GM kriteri üzerine etkisi Şekil 5.22 ve Şekil 5.23'de görülmektedir. Blok katsayısının artışı ile GM kriterinin mevcut GM değerinde olduğu gibi azaldığı görülmektedir. Burada da deniz şiddetinin artması ile GM kriterinde önemli bir artış söz konusu değildir.

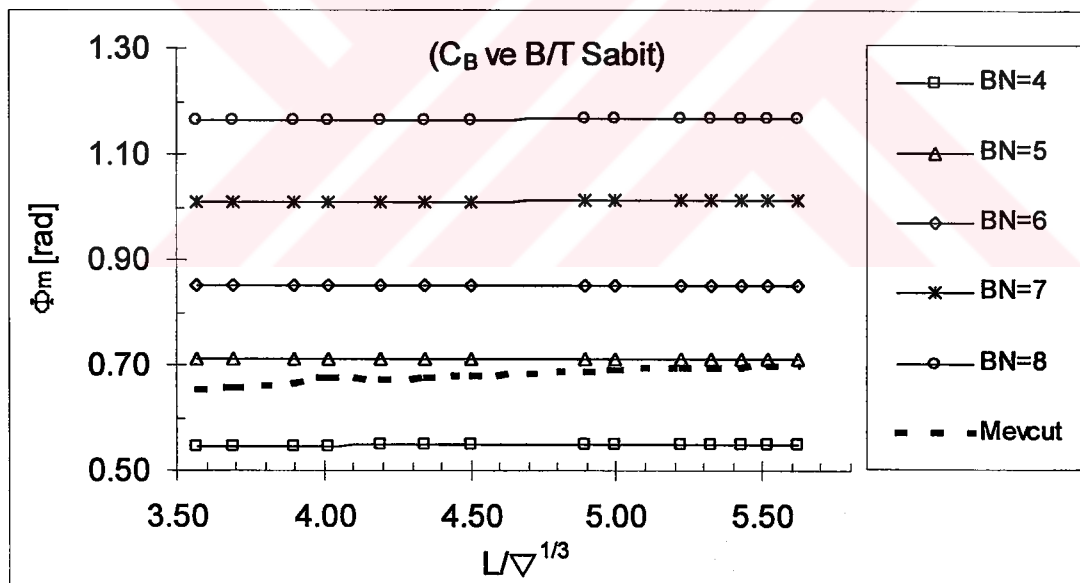
Gemilerin başlangıç stabilitesinin ölçüsü olan GM ile ilgili şu sonuca varılabilir: GM değeri büyük açılarda stabilitenin ölçüsü değildir, sadece küçük genlikli yalpa hareketini kontrol eder. Özellikle GM değerini artıran B/T oranı Φ_m değerini ise azaltmaktadır. Bundan dolayı GM değerinin mutlaka üstten de sınırlanılması veya yeterli GM değeri sağlanıktan sonra Φ_m değerinin mümkün olduğu kadar büyük tutulması büyük açılarda stabilitet açısından çok önemlidir.

Tablo 5.5 Rüzgar ve deniz durumu tablosu (Sabuncu, 1983)

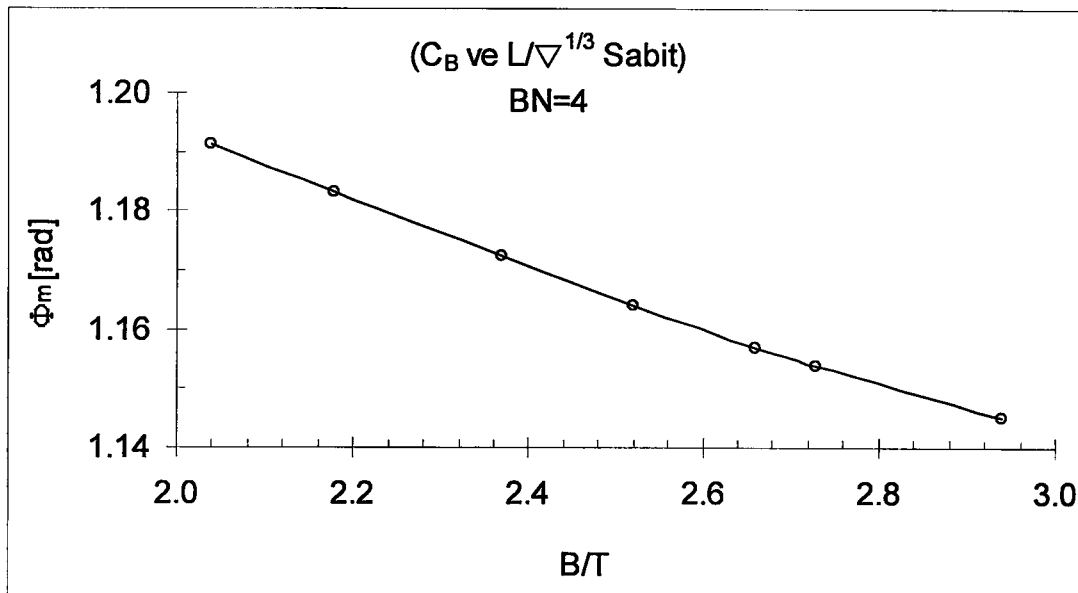
RÜZGAR				DENİZ		
Beaufort Rüzgar Kuvveti (BN)	Denizciliğeki Adı	Knot Olarak Sınırlar	Rüzgar Hızı knot	Karakteristik Dalga Yükseklikleri ($H_{1/3}$) [metre]	Karakteristik Periyot Sınırı [sn]	Ortalama Dalga Periyodu T_w [sn]
0	Sükunet	< 1	0	0	0-1.2	0.5
1	Hafif Hava	1-3	2	0.02		
2	Hafif Meltem	4-6	5	0.09	0.4-2.8	1.4
3	Yumuşak Meltem	7-10	8.5	0.3	0.8-5.0	2.4
4	Mutedil Meltem	11-16	13.5	0.88	1.4-7.6	3.9
5	Fırsatka	17-21	19	2.1	2.8-10.6	5.4
6	Kuvvetli	22-27	24.5	3.95	3.8-13.6	7
7	Sert	28-33	30.5	7	4.8-17.0	8.7
8	Çok Sert	34-40	37	11.3	6-20.5	10.5
9	Adı Fırtına	41-47	44	17.7	7-24.2	12.5
10	Kuvvetli Fırtına	48-55	51.5	25.3	8-28.2	14.7
11	Bora	56-63	59.5	35.4	10-32	17
12	Kasurga	64-71	>64	>39	10-35	18



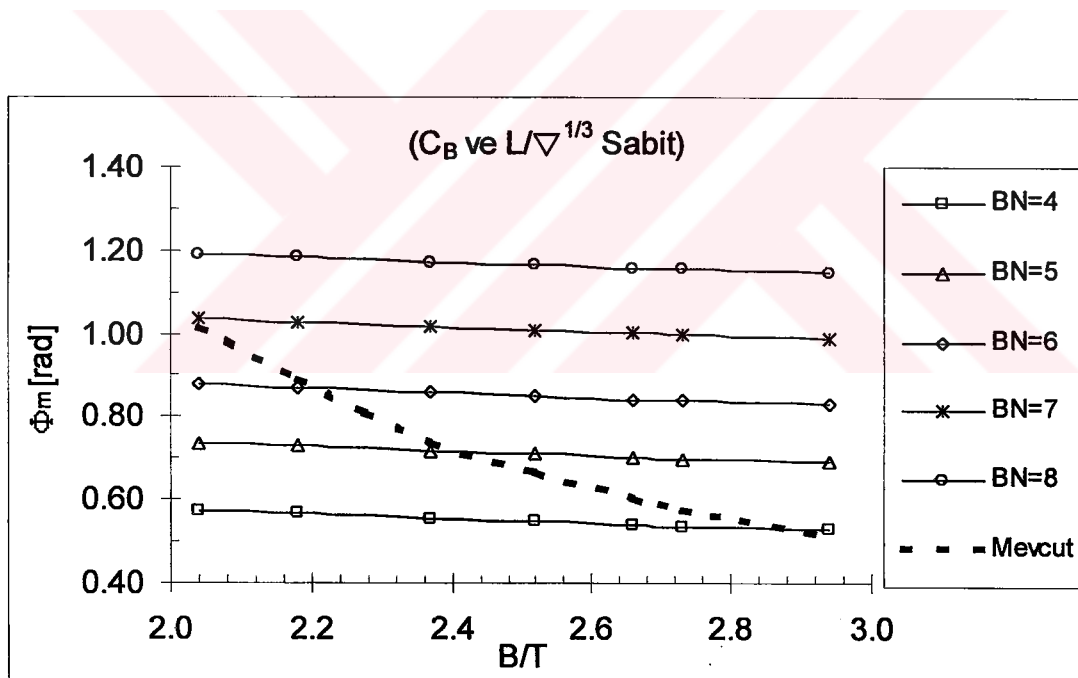
Şekil 5.12 $L/\Delta^{1/3}$ oranının Φ_m kriteri üzerine etkisi



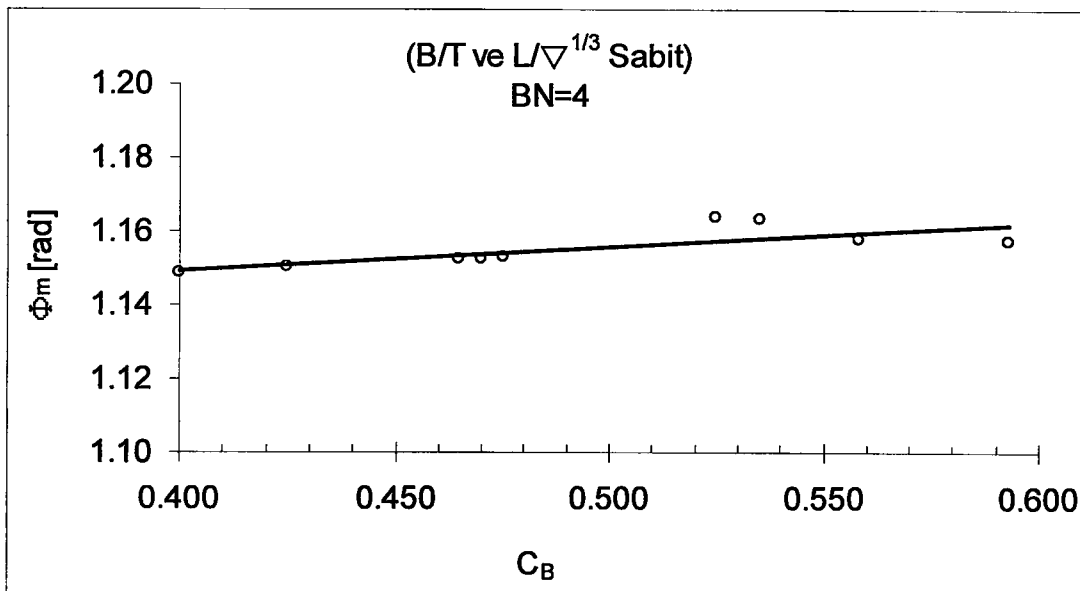
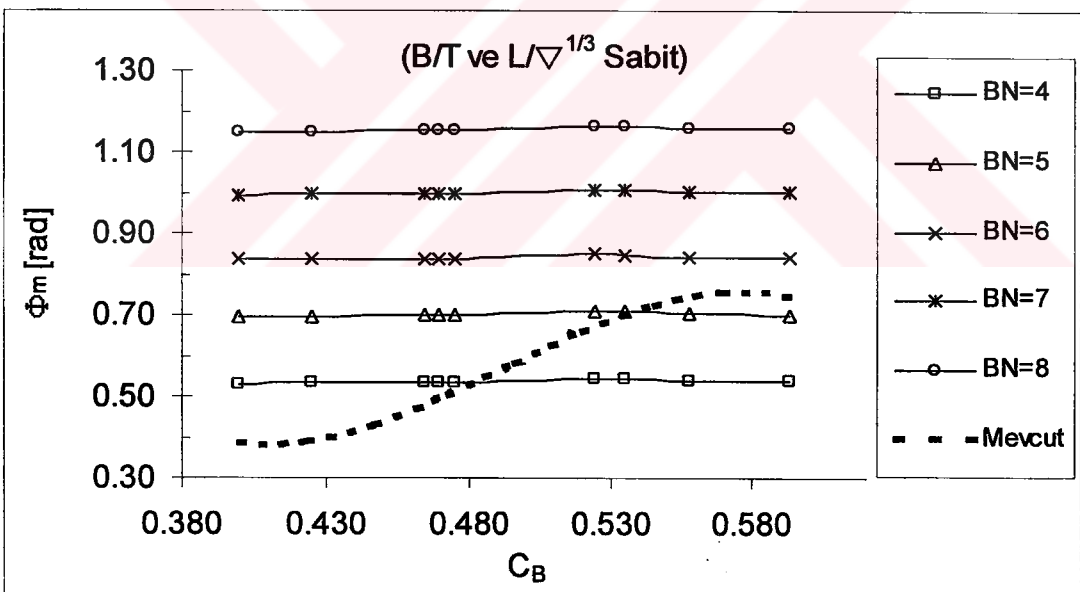
Şekil 5.13 $L/\Delta^{1/3}$ oranının Φ_m kriteri üzerine etkisi, BN = 4 - 8 arasında

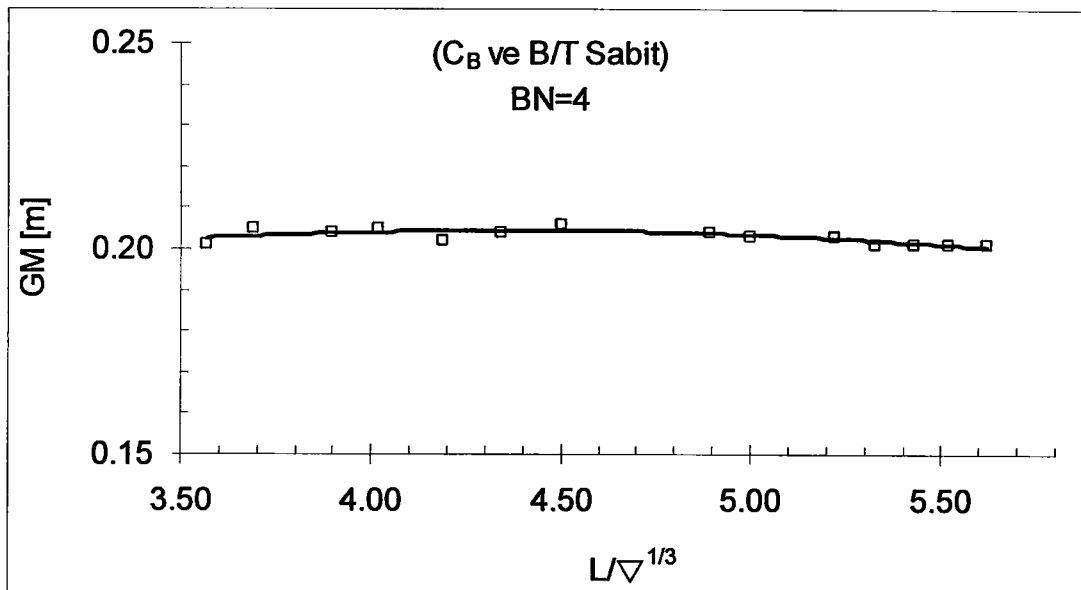


Şekil 5.14 B/T oranının Φ_m kriteri üzerine etkisi

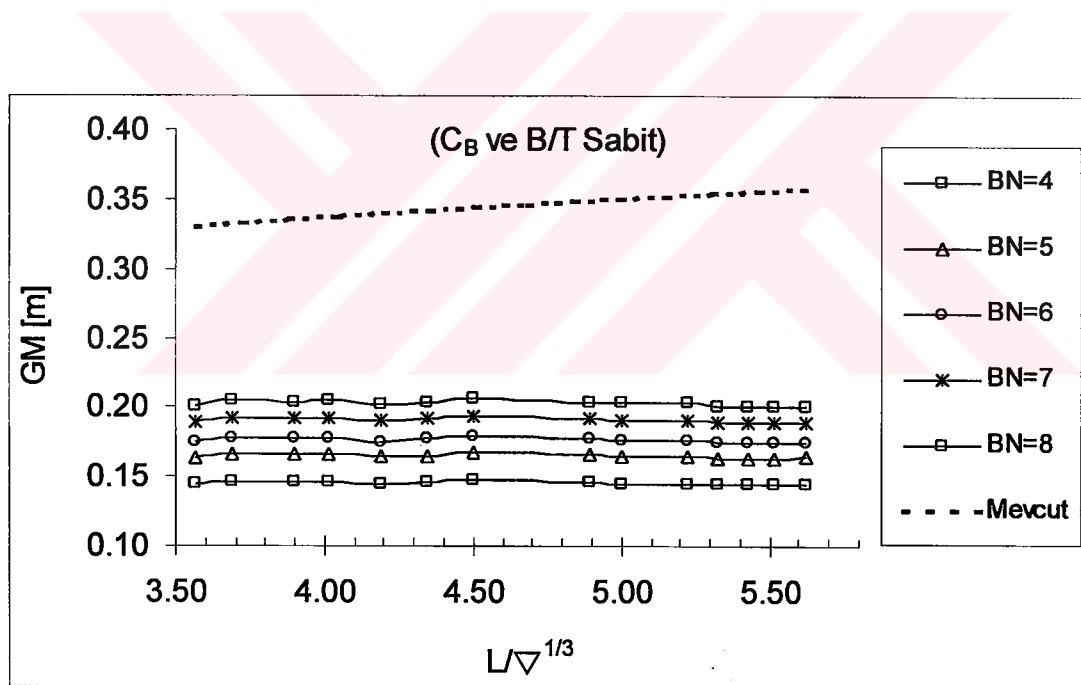


Şekil 5.15 B/T oranının Φ_m kriteri üzerine etkisi, $BN = 4 - 8$ arasında

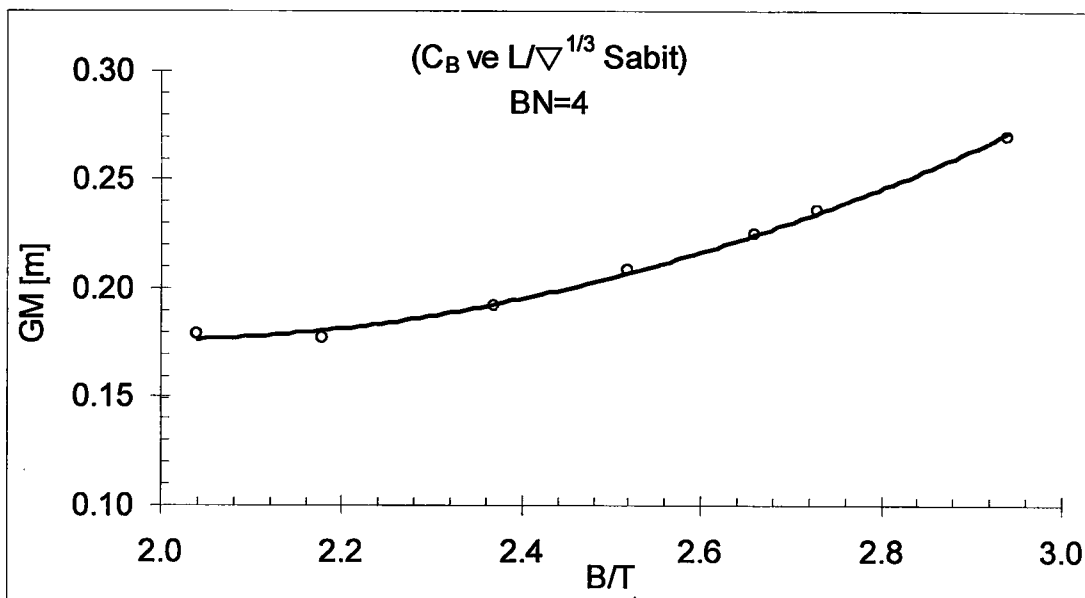
Şekil 5.16 C_B 'nin Φ_m kriteri üzerine etkisiŞekil 5.17 C_B 'nin Φ_m kriteri üzerine etkisi, BN = 4 - 8 arasında



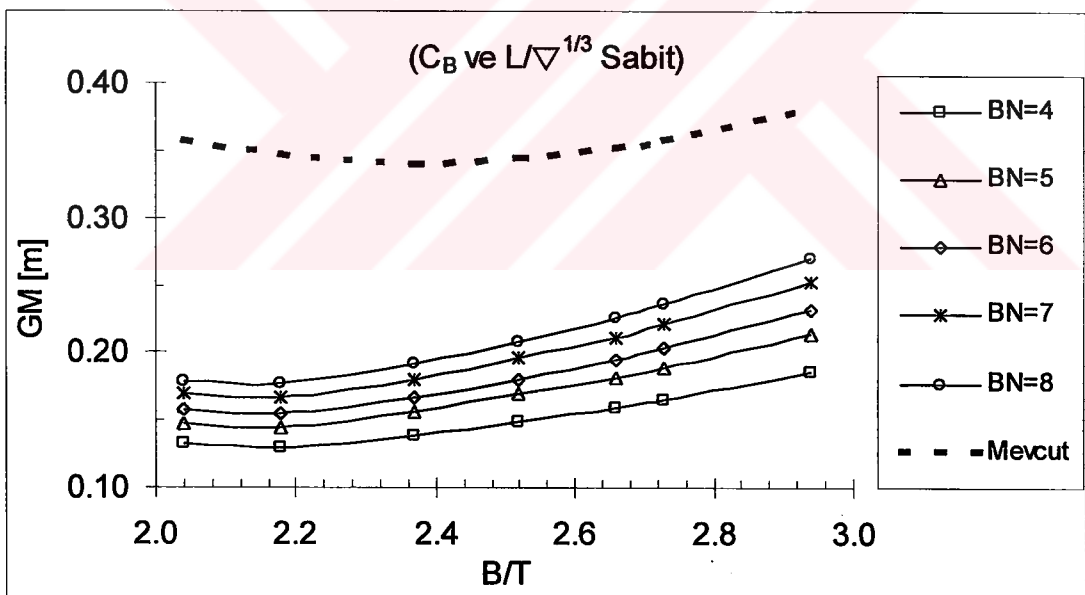
Şekil 5.18 $L/\nabla^{1/3}$ oranının GM kriteri üzerine etkisi



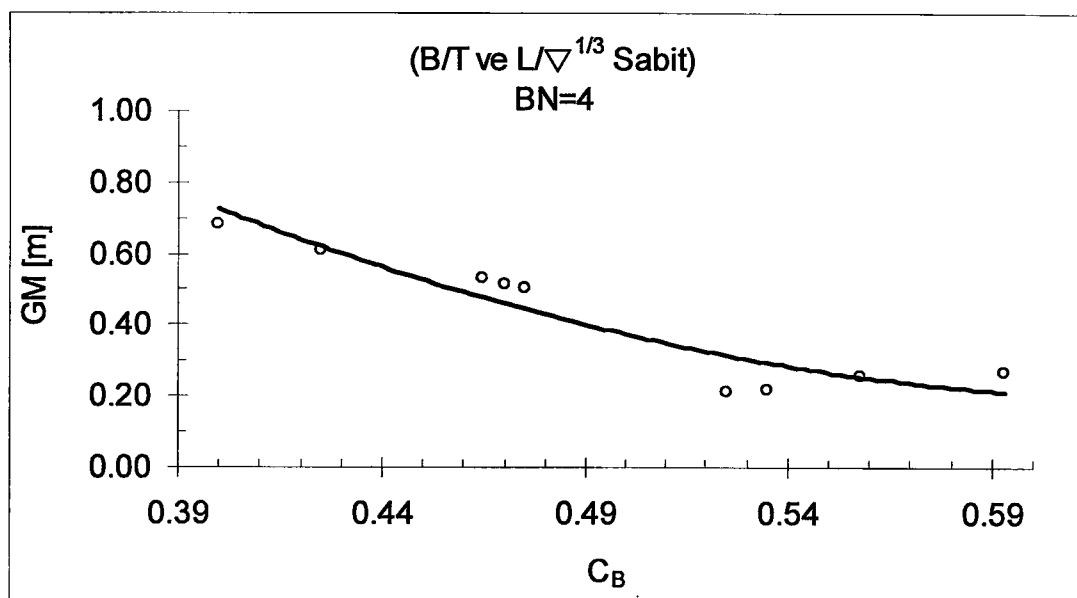
Şekil 5.19 $L/\nabla^{1/3}$ oranının GM kriteri üzerine etkisi, $BN = 4 - 8$ arasında



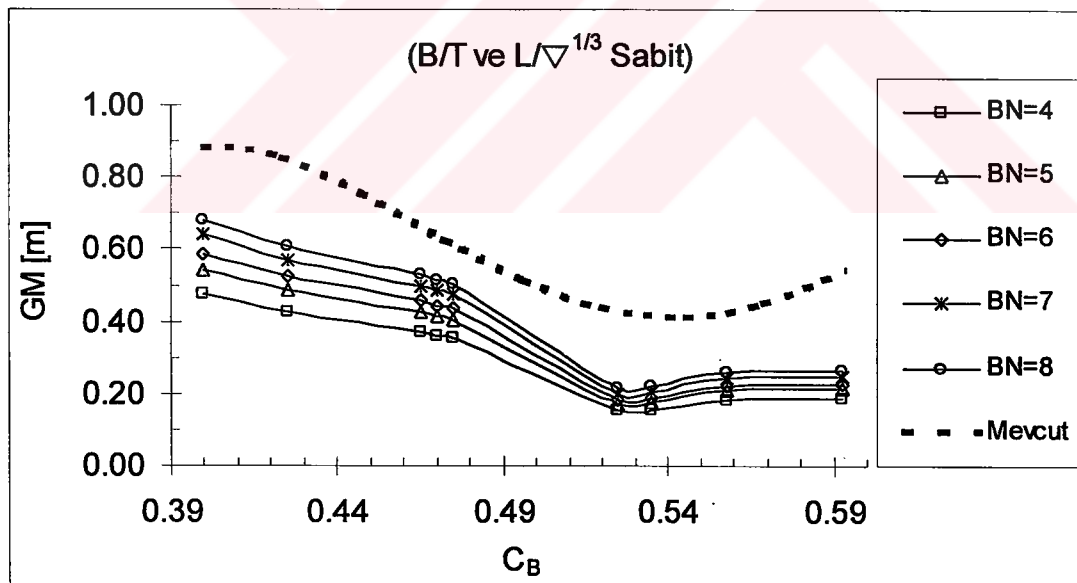
Şekil 5.20 B/T oranının GM kriteri üzerine etkisi



Şekil 5.21 B/T oranının GM kriteri üzerine etkisi, BN = 4 - 8 arasında



Şekil 5.22 C_B 'nin GM kriteri üzerine etkisi



Şekil 5.23 C_B 'nin GM kriteri üzerine etkisi, BN = 4 - 8 arasında

Lineer olmayan yalpa hareketinin stabilitesi için en önemli kriter pratik stabilite bölgesinin bulunmasıdır. Bu bölge lineer olmayan zorlanmış yalpa hareketinin başlangıç zamanından bağımsız çözümler kümesinin sınırlarını faz düzleminde belirleyen eğrilerden oluşur. Burada, pratik stabilite bölgesi, eğrilerin uç noktalarının doğru ile birleştirilmesinden elde edilmiştir.

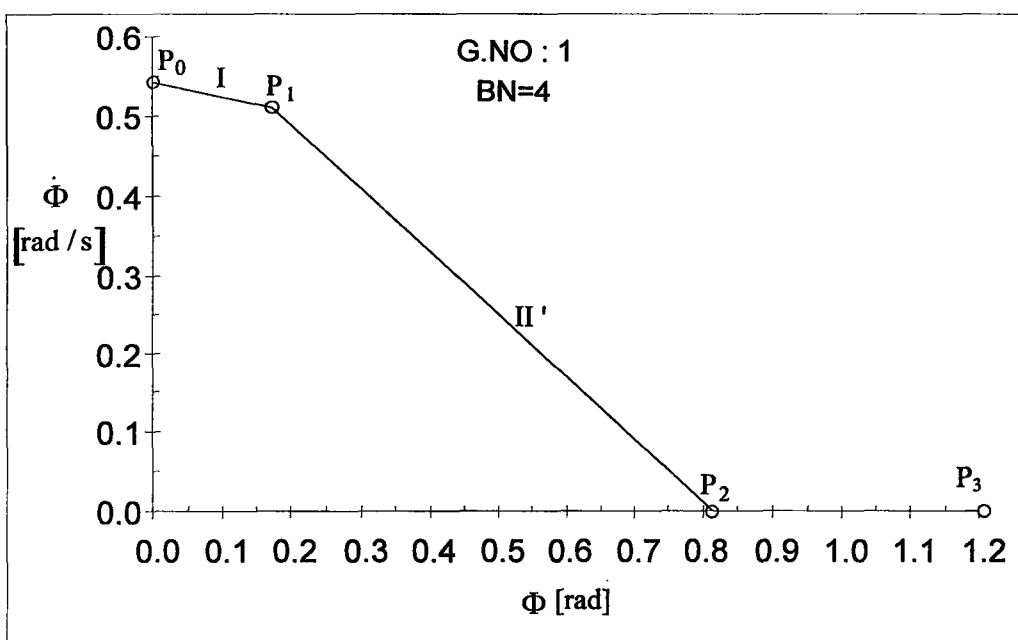
Öncelikle 1 nolu gemi için sadece deniz durumunun değişimi ile pratik stabilite bölgesinin oluşumu Şekil 5.24-29 arasında gözlenmektedir. Şekil 5.24 ve 25 de sadece I ve II' eğrileri mevcut olup III nolu eğri oluşmamıştır. Burada yalpa hızı, II' eğrisinin P_2 noktasındaki yalpa açısından sıfır olacağından dolayı hareket bu açıdan itibaren ters yöne dönmeye başlayacaktır. Şekil 5.26, 27 ve 28 da ise pratik stabilite bölgesinde III nolu eğri ortaya çıkmış ve bu eğrinin olduğu bölgede her an devrilme söz konusudur ve dolayısıyla P_2 noktası devrilme açısıdır. Şekil 5.29 de bütün deniz durumlarında 1 nolu gemi için pratik stabilitesi toplu olarak gösterilmekte ve devrilme açısının zorlamalar arttıkça küçüldüğü görülmektedir.

Şekil 5.30 de boy-deplasman oranının pratik stabilite bölgesi üzerine etkisi görülmektedir. Deplasman, genişlik-draft oranı ve blok katsayısı sabit kalmak şartıyla gemi boyunun artışı ile stabilite aralığının yani devrilme açısının da arttığı açıkça görülmektedir. Dolayısıyla boy-deplasman oranı büyük olan gemiler daha narin olduklarından daha iyi sönüm momentine sahiptirler. Diğer bir ifadeyle, dış kuvvetlerin gemiye uyguladığı işin büyük bir kısmının gemi tarafından yalpa hareketine dönüşmeden dalga çıkartılarak sökümlenmesidir. Böylece gemi daha büyük yalpa açılarına kadar hareketini südürebilir.

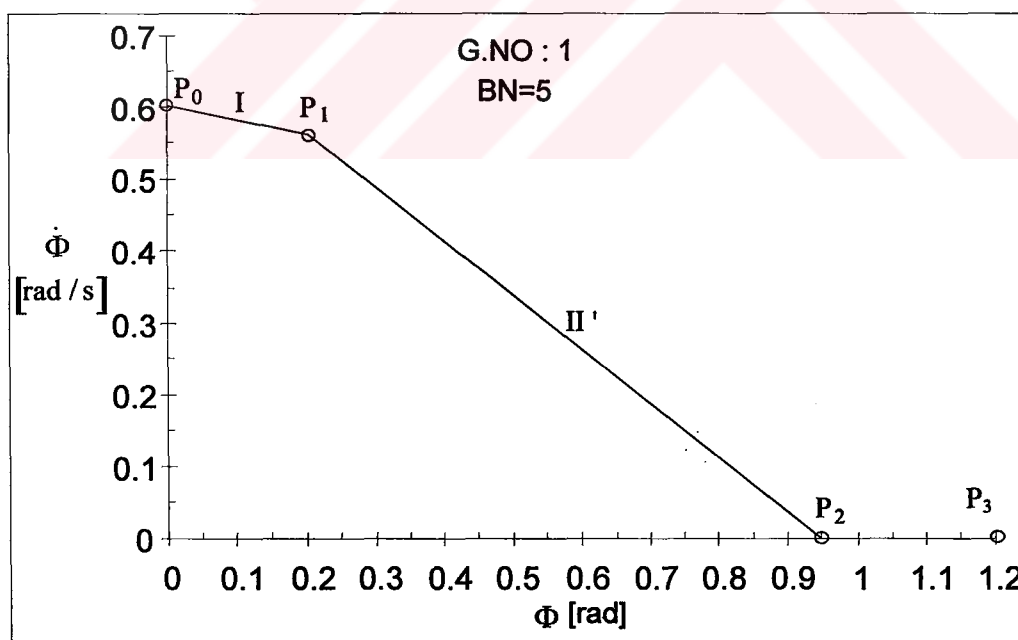
Boy-deplasman oranının tam tersine genişlik-draft oranının artışı ile stabilite aralığı Şekil 5.31'den de görüldüğü gibi azalmaktadır. Bunun sebebi dolgunlaşan gemiler sonuca dairesel bir kesite yaklaştıklarından sökümleri azalmaktadır. Dolayısıyla geminin üzerine uygulanan işin büyük bir kısmının potansiyel enerji yani doğrultma momenti ile karşılaşması gereklidir. Doğrultma momenti de belli bir değerden sonra yetersiz kalacağından stabilite aralığı daralacaktır.

Şekil 5.32 de ise aynı deplasmanda, boy-deplasman ve genişlik-draft oranları sabit kalmak koşuluyla blok katsayısının artışının stabilite aralığını artırdığı görülmektedir.

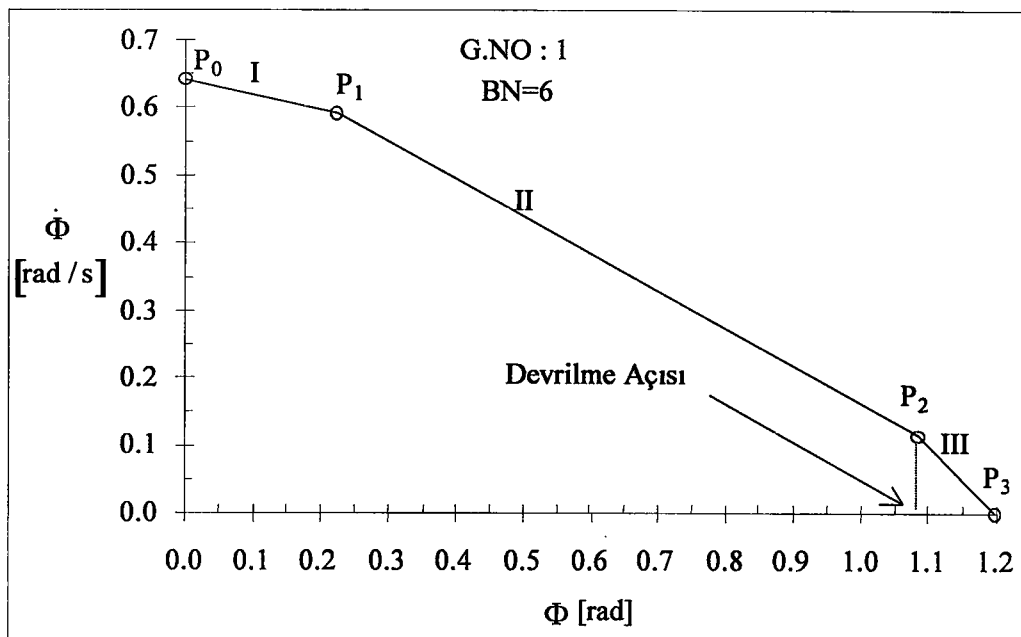
Φ_m kriterindeki sonuçlar pratik stabilite bölgesi ile paralellik arz etmekte olup dolayısıyla bu iki kriter birbirini teyit etmektedir.



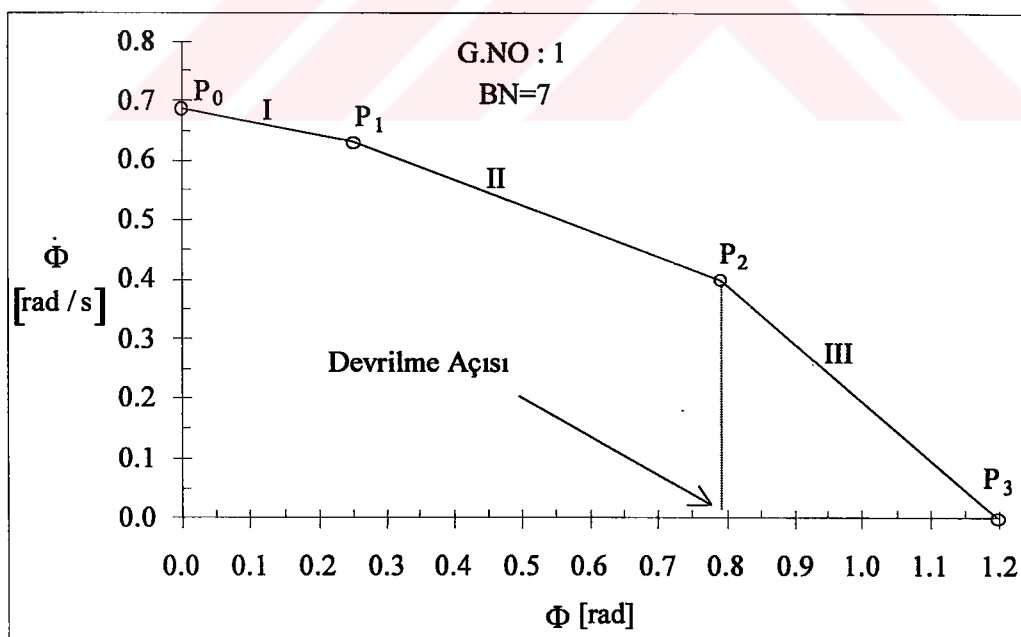
Şekil 5.24 BN = 4 deniz durumunda 1 nolu gemi için pratik stabilite bölgesi



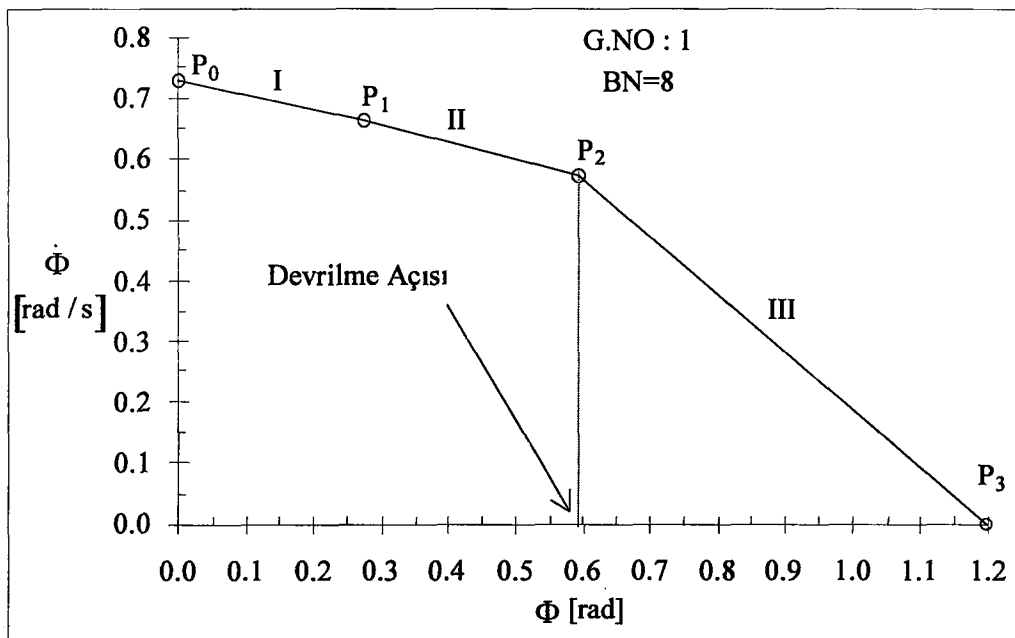
Şekil 5.25 BN = 5 deniz durumunda 1 nolu gemi için pratik stabilite bölgesi



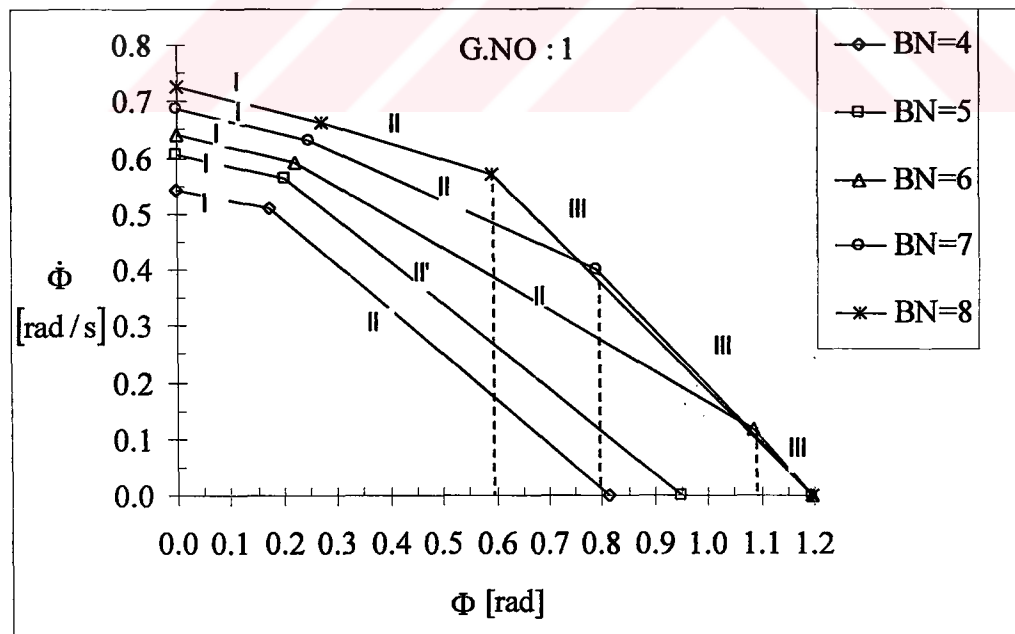
Şekil 5.26 BN = 6 deniz durumunda 1 nolu gemi için pratik stabilité bölgesi



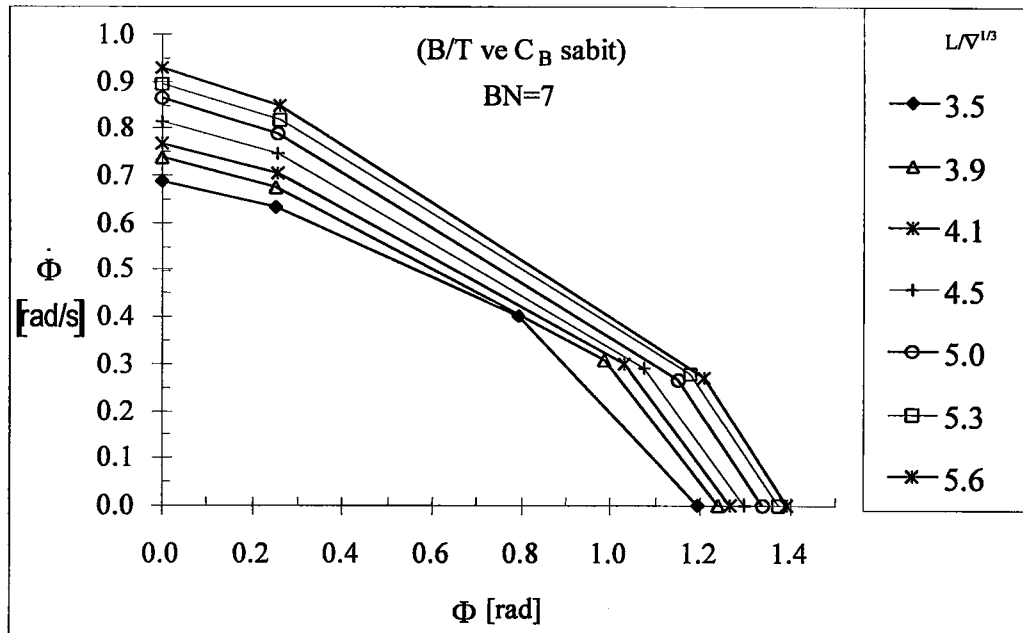
Şekil 5.27 BN = 7 deniz durumunda 1 nolu gemi için pratik stabilité bölgesi



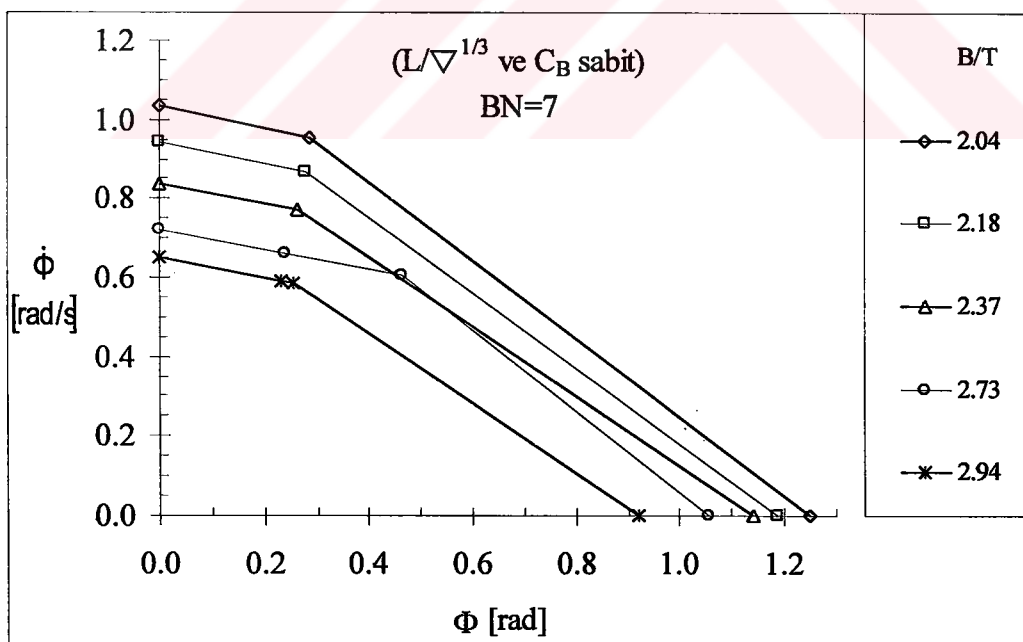
Şekil 5.28 BN = 8 deniz durumunda 1 nolu gemi için pratik stabilite bölgeleri



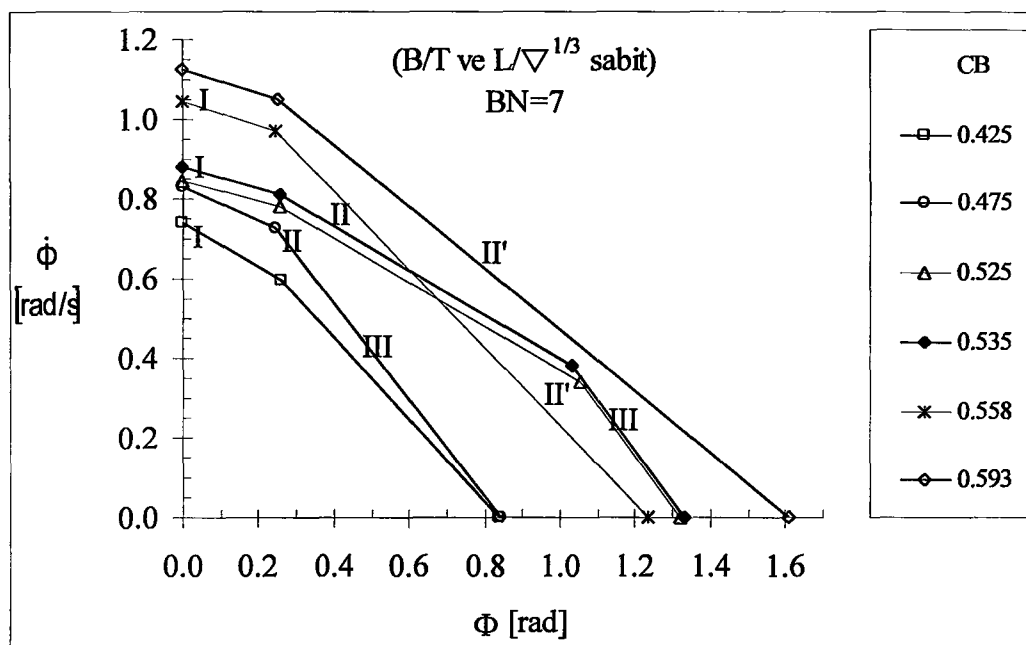
Şekil 5.29 Bütün deniz durumlarında 1 nolu gemi için pratik stabilite bölgeleri



Sekil 5.30 $L/\nabla^{1/3}$ oranının pratik stabilite bölgesi üzerine etkisi



Şekil 5.31 B/T oranının pratik stabilite bölgesi üzerine etkisi



Şekil 5.32 C_B 'nin pratik stabilite bölgelerine etkisi

6. SONUÇLAR ve ÖNERİLER

Günümüzdeki stabilite kriterlerinin yetersizliğinden hareketle, Özkan tarafından geliştirilen stabilite kriterlerinin gemi öndizayn aşamasında kullanılmasını hedefleyen bu çalışma ile balıkçı gemilerinin stabilite açısından dizaynına yeni bir boyut kazandırılmıştır. Çalışmada önerilen bu kriterlerin, halen uygulanmakta olan mevcut stabilite kriterleri ile temel yaklaşımda farklılık arz etmesine rağmen, sonuçta bunların bir uyum içinde bulunduğu yapılan uygulamalarla görülmüştür. Mevcut IMO kriterleri, devrilmiş ve inceleme sırasında çalışmakta olan bir grup geminin istatistiksel bir incelemesini esas kabul eden Rahola'nın tezine dayanmaktadır. Bu sonuçlar ile Pratik Stabilite Kriterlerinin, sayısal ve anlam olarak bir uyum içinde olması, Pratik Stabilite Kriterleri'nin geçerliliği ve kullanılabilirliği açısından önemli bir ölçütür.

Bu çalışma ile elde edilen temel sonuçları iki grup altında toplamak mümkündür. Bunlardan birincisi, balıkçı gemilerinin başlangıç ve statik stabilite hesaplarına esas teşkil eden stabilite çapraz eğrileri, hacim merkezinin düşey yeri, enine metasantr yüksekliği ve ağırlık merkezinin düşey yeri için, gemi öndizayn parametrelerine bağlı olarak yaklaşık ifadeler elde edilmesidir. Stabilite analizine temel teşkil eden bu ifadeler yardımıyla, öndizayn aşamasında gemilerin stabilitesi hakkında fikir edinilmesi ve bunun yanında stabilite açısından uygun dizayn parametrelerinin belirlenmesi mümkün olabilmektedir. Yapılan uygulamalarda gerçek değerler ile yaklaşık hesaplar arasındaki farkın, kabul edilebilir sınırlar içinde olduğu tespit edilmiştir.

İkincisi ise zorlanmış yalpa hareketi için verilen stabilite kriterlerinin uygulanması ile elde edilen sonuçlar olup, bunlar şu şekilde sıralanabilir :

Maksimum doğrultma moment koluna karşılık gelen Φ_m açısı ile ilgili şu sonuca varılabilir: Φ_m açısı için, dalga ve rüzgar gibi dış tesirlere bağlı olarak alt sınır değeri yeniden belirlenmiştir. Böyle bir sınırlama IMO kriterinde de mevcuttur. Fakat IMO kriterine bakıldığından Φ_m 'in sabit, burada ise gemi ve ortamın bağımlısı olarak değiştiği görülmektedir. Devrilme olaylarının çoğu genellikle Φ_m açısını geçtikten hemen sonra meydana geldiğinden, büyük genlikli yalpa hareketleri için Φ_m değeri çok önemli bir kriterdir. Dolayısıyla bu kriteri gemilerin çalışacağı deniz durumuna göre belirlemek ve bunu sağlayan form parametrelerine göre gemiyi dizayn etmek stabilite açısından önemlidir. Zorlamalar arttıkça gemilerin sağlaması gereken Φ_m 'in daha büyük değerler alması gereği yapılan uygulamalarda da görülmüştür.

Geminin genişlik-draft oranı arttığında, başka bir deyişle tonajı enine istikametinde dağıtılmış tarzda bir dizayn benimsendiğinde GZ eğrisinin maksimum olduğu yer (Φ_m), deplasman sabit olması koşuluna bağlı olarak azalacaktır. GZ eğrisinin kapsadığı açı aralığı daralacak ve eğri dikleşecektir. Kuşkusuz bu şekilde dizayn edilmiş bir gemi için uniform sınırlılık koşuluna bağlı olarak geliştirilen Φ_m kriteri için alt sınır ister istemez azalacaktır. Boy-deplasman oranı ve blok katsayısının artışı çok belirgin olmasa da Φ_m değerini artırmaktadır.

Gemilerin başlangıç stabilitesinin ölçüsü olan GM ile ilgili şu sonuca varılabilir: Bugün, gemilerin gerekenden fazla bir GM ile dizayn edilmesi, Φ_m için önerilen en küçük alt sınır şartı ile çelişmektedir. Özellikle GM değerini artıran B/T oranı Φ_m değerini ise azaltmaktadır. Bundan dolayı GM değerinin mutlaka üstten de sınırlandırılması veya yeterli GM değeri sağlandıktan sonra Φ_m değerinin mümkün olduğu kadar büyük tutulması büyük açılarda stabilite açısından çok önemlidir. Ayrıca zorlamalar arttıkça gemilerin sağlaması gereken GM değerinin arttığı fakat bu artışın çok önemli oranda olmadığı yapılan uygulamalarda görülmüştür. Dolayısıyla GM değeri büyük açılarda stabilitenin ölçüsü değildir, sadece küçük genlikli yalpa hareketlerini kontrol eder.

Lineer olmayan yalpa hareketinin stabilitesi için en önemli kriter pratik stabilité bölgesinin bulunmasıdır. Bu bölge lineer olmayan zorlanmış yalpa hareketinin başlangıç zamanından bağımsız çözümler kümesinin sınırlarını faz düzleminde belirleyen eğrilerden oluşur.

Pratik stabilité bölgesinde yalpa hızı, II' eğrisinin P_2 noktasındaki yalpa açısında sıfır olmakta ve bu açıdan itibaren hareket ters yöne dönmeye başlayacaktır. Eğer, hareketin stabilitesinin garanti edilmediği sınırı gösteren III nolu eğri ortaya çıkarsa, bu eğrinin olduğu bölgede her an devrilme söz konusu olduğundan P_2 noktası devrilme açısı olacaktır. Pratik stabilité bölgесine bağlı olarak devrilme açısının zorlamalar arttıkça küçüldüğü gösterilmiştir.

Boy-deplasman oranının artışının stabilité aralığını yani devrilme açısını artırdığı, genişlik-draft oranı artışının ise azalttığı yapılan uygulamalarla gösterilmiştir. Ayrıca Φ_m kriteri ve pratik stabilité bölgesi ile bulunan sonuçların birbirine paralel çıktıgı görülmüştür.

ÖNERİLER

Özellikle balıkçı gemisi dizaynı yapan dizaynerlerin, ön dizayn aşamasında bu çalışmada sunulan regresyon formülü ve önerilen stabilite kriterlerini kullanarak stabilite yönünden emniyetli dizayn parametrelerini belirlemeleri yararlı olacaktır.

Uygulamalarda kullanılan yaklaşık formüllerin yerine gerçek veya gerçeğe daha yakın değerler kullanıldığında sonuçların daha doğru ve güvenilir çıkacağı aşikardır. Bu noktadan hareketle özellikle sönüm katsayılarının hesabında model deneyleri ile bulunan değerler kullanıldığında pratik stabilite bölgesinin oluşumu daha belirgin bir şekilde ortaya çıkacaktır.

Pratik açıdan çok fayda sağlayacak olan, balıkçı gemilerinin stabilite açısından emniyetli olduğu bölgeleri form parametrelerine bağlı olarak gösteren grafiklerin elde edilmesi bundan sonraki aşamada yapılması gereken yararlı bir çalışma olacaktır.

KAYNAKLAR

- Amy, J. R., Johnson, R. E. ve Miller, E. R., (1976), "Development of Intact Stability Criteria for Towing and Fishing Vessels", Transactions of the Society of Naval Architects and Marine Engineers, (84).
- Atwood, G., (1796), "Disquisition on the Stability of Ships", Philosophical Transactions of the Royal Society of London.
- Bass, D.W. ve Haddara, M.R., (1988), "Nonlinear Models of Ship Roll Damping", International Shipbuilding Progress, 35 (401): 5-24
- Beukelman, W. ve Versluis, A., (1971), "Stability of Beamtrawlers in Following Seas", Laboratorium Voor Scheepsbouwkunde, Technische Hogeschool Delft, Report No. 295
- Bouguer, P., (1746), "Traite du Navire, de la Construction et de les Mouvements", Paris.
- Calderia, F., (1986), "The Boundedness of Solutions of a Liénard Equation Arising in the Theory of Ship Rolling", IMA Journal of Applied Mathematics, 36: 129-139.
- Cardo, A., Francescutto, A. ve Nabergoj, R., (1982), "On the Maximum Amplitude in Nonlinear Rolling", 2nd Int. Conference on Stability of Ships and Ocean Vehicles, (2): 33-41, Tokyo.
- Cox, J. H., (1977), "Fishing Vessel Safety", Transactions of the Royal Institution of Naval Architects, 119: 73-95.
- Çalışal, S. M. ve McGreer, D., (1993), "A Resistance Study on A Series of Low L/B Vessels", Marine Technology, 30 (4): 286-296.
- Dahle, E. A. ve Kjaerland, O., (1979), "The Capsizing of M/S Helland-Hansen", Spring Meeting, the Royal Institution of Naval Architects, 51-70, London.
- Dalzell, J.F., (1978), "A Note on the Form of Ship Roll Damping", Journal of Ship Research, 22(3): 178-185.
- De Jong, B., (1973), "Some Aspects of Ship Motions in Irregular Beam and Following Waves", Report No. 175S, Nederlands Ship Research Centre (TNO), Delft.
- Denis M. ve Pierson, W. J., (1953), "On the Motions of Ships in Confused Seas", Transactions of the Society of Naval Architects and Marine Engineers, 61: 280-357.
- Denny, A., (1887), "On The Practical Application of Stability Calculation", Trans. Institution of Naval Architects, (28).
- Doust, D.J., (1963), "Optimized Trawler Forms", Trans. Necies, 79.

Doust, D.J., (1979), "Statistical Analysis of Resistance Data For Trawler", Fishing Boat of The World, London, 3:370-387.

Falzarano, M. J. ve Armin, W.T., (1990), "Application of Modern Geometric Methods for Dynamical Systems to The Problem of Vessel Capsized with Water on Deck", STAB 90, 565-572, Napolis-Italy

Falzarano, M. J., Esparza, I. ve Mulk, M.T.U., (1995), "A Combined Steady-State and Transient Approach to Study Large Amplitude Ship Rolling Motion and Capsizing", Journal of Ship Research, 39 (3): 213-224.

Froude, W., (1861), "On the Rolling of Ships", Trans. INA

Grim, O. (1952/53), "Rollschwingungen, Stabilitat und Sicherheit in Seegang" Schiffstechnik.

Grim, O., (1954), "Zur Stabilitats der Periodischen Erzwungenen Rollschwingungen Eines Schiffes", Ingenieur-Archiv.

Grim, O., (1961), "Beitrag zu dem Problem der Sicherheit des Schiffes im Seegang" Wissenschaftliche Zeitschrift der Universitat Kostock.

Haddara, M. R., (1971), "On the Non-linear Rolling of Ships in Random Seas", United States Coast Guard Headquarters, May, Washington, D. C.

Haddara, M.R.(1971) "On the Stability of Ship Motion in Regular Oblique Waves", International Shipbuilding Progress

Haddara, M. R., (1974), "A Modified Approach for the Application of Fokker-Planck Equation to the Non-linear Ship Motions in Random Waves", International Shipbuilding Progress, (21): 242.

Haddara, M. R., (1976), "A Study of the Extreme Variance of Rolling Motion in Random Oblique Waves", International Shipbuilding Progress, (23).

Haddara, M. R., (1984), "A Note on the Effect of Damping Moment Form on Rolling Response", International Shipbuilding Progress, 31(363): 285-290.

Haddara, M.R. ve Bass, D.W., (1990), "On The Form of Roll Damping Moment For Small Fishing Vessel", Ocean Engineering, 17 (6): 525-539.

Haddara, M.R., Wishahy, M. ve Wu, X., (1994), "Assesment of Ship's Transverse Stability At Sea", Ocean Engineering, 21 (8): 781-800.

Helas, G., (1982), "Intact Stability of Ships In Following Waves", 2nd Int. Conference on Stability of Ships and Ocean Vehicles, (1): 71-81, Tokyo.

IMO Res. A.749 (18), (1993), 4th November, "Code on Intact Stability For All Types of Ships Covered By Imo Instruments", IMO Assembly, 18th Session Agenda Item11.

Kafalı, K., (1980), "Balıkçı Gemisi Formlarının İncelenmesi", Gemi İnşası Fakültesi-Gemi Enstitüsü, İTÜ, İstanbul, (25).

Kastner, S., (1975), "Long-term and Short-term Stability Criteria in a Random Seaway", Proceedings of the International Conference on Stability of Ships and Ocean Vehicles, Glasgow.

Krylov, A. N., (1896), "A New Theory of the Pitching Motion of Ships on Waves and of the Stresses Produced by This Motion", Trans. INA

Krylov , A.N., (1898), "A General Theory of the Oscillation of a Ship on Waves", Trans. INA

Kuo, C. ve Odabaşı, A.Y.(1975), "Application of Dynamic Systems Approach to Ship and Ocean Vehicles Stability", Int. Conf. on Stability of Ships and Ocean Vehicles", Glasgow

Kuo, C., Vassalos, D., Alexander, J. G. ve Barrie, D. A., (1986), "Incorporating Theoretical Advances in Usable Ship Stability Criteria", International Conference on the Safeship Project: Ship Stability and Safety, the Royal Institution of Naval Architects and the Department of Transport, Londra, 1 (12).

Lasalle, J.P., ve Lefschetz, S., (1961), "Stability By Lyapunov's Direct Method with Applications", Academic Press.

Lewis, E. V., (1989), Principles of Naval Architecture, The Society of Naval Architects and Marine Engineers, 3, New York.

Lyapunov, A.M., (1949), "General Problem of Stability of Motion", Annals of Math. Study, (17), Princeton University Press.

Mathisen, J.B. ve Price, W.G., (1984), "Estimation of Ship Roll Damping Coefficients", Trans. RINA, 295-303.

Morrall, A., (1975), "Simulation of Capsizing in Beam Seas of a Side Trawler", Proceedings of the International Conference on Stability of Ships and Ocean Vehicles, Glasgow.

Morral, A., (1979), "Capsizing of Small Trawlers", Trans. RINA, 122:71-148.

Morral, A., (1980), "The Gaul Disaster: An Investigation Into The Loss of A Large Stern Trawler", Rina Spring Meeting, (2):391-440.

Moseley, H., (1850), "On the Dynamical Stability and on the Oscillations of Floating Bodies", Phil. of the Transactions of the Royal Society, 609.

Nayfeh, A. ve Sanchez, N. E., (1989), "Chaos and Dynamical Instability in the Rolling Motion of Ships", Proceedings of the 17th Symposium on Naval Hydrodynamics, National Academy Press, Washington DC, 617-631.

Nayfeh, A.H. ve Sanchez, N.E., (1990), "Stability and Complicated Rolling Responses of Ships In Regular Beam Seas", International Shipbuilding Progress, 37 (412): 331-352.

Nayfeh, A.H. ve Oh, I.G., (1995), "Nonlinearly Coupled Pitch And Roll Motions In The Presence of Internal Resonance; Part I, Theory", International Shipbuilding Progress, 42 (432): 295-324.

Odabaşı, A.Y. (1973), "A Study on the Philosophy of Naval Hydromechanics", T.H. Scheepbouwkunde, Delft, Rep. No.380 M

Odabaşı, A.Y., (1976), "Ultimate Stability of Ships", Trans. RINA, 119: 237-263.

Odabaşı, A.Y., (1982), "A Morphology of Mathematical Stability Theory and its Application to Intact Ship Stability Assessment", 2nd Int. Conference on Stability of Ships and Ocean Vehicles, (2): 47-64, Tokyo.

Özkan, İ.R., (1977), "Lyapunov Direkt Yöntemi İle Gemilerin Stabilite Teorisi", Doktora Tezi, İstanbul Teknik Üniversitesi Fen Bilimleri Enstitüsü.

Özkan, İ.R., (1979), "A Rational Approach To Intact Ship Stability Assessment", Ocean Engineering, 6 (5): 493-516.

Özkan, İ.R., (1980), "Some Extensions of The Uniform Boundedness of Rolling Motion", BSRA Report No.Nadh/22.

Özkan, İ.R., (1981), "Total (Practical) Stability of Ships", Ocean Engineering, 8 (6):551-598.

Özkan, İ.R., (1982a), "Lyapunov Stability of Dynamical System As Applied To Ships Rolling Motion", International Shipbuilding Progress, 29 (329): 2-7.

Özkan, İ.R., (1982b), "A New GM Criterion", The Naval Architect, E81-E82.

Özkan, İ.R., (1985), "Applications of The Ship Practical Stability Criteria", International Ship building Progress, 32 (374): 224-243.

Özkan, İ.R., (1987), "Gemilerde Stabilite Kavramının Gemi Dizayn Aşamasındaki Etkisi", Türk Loydu Vakfı Seri Konferansları, (6): 152-162.

Özkan, İ.R., (1990), "Design Consequences of Practical Ship Stability Criteria", 4th International Conference on Stability of Ships and Ocean Vehicles (STAB '90), Naples, Italy. 460-469.

Pattullo, R.N.M. ve Thomson, G.R., (1965), "The B.S.R.A. Trawler Series (Part I) Beam-Draft and Length-Displacement Ratio Series Resistance and Propulsion Tests", Transactions of the Royal Institution of Naval Architects, 106, 215-241.

Pierrottet, E., (1935), "A Standard of Stability For Ships", Transactions of The Institution of Naval Architects, 208.

Prohaska, C. W., (1947), "Residuary Stability", Trans. INA

Rahola, J., (1939), "The Judging of The Stability of Ships and The Determination of The Minimum Amount of Stability", Doktora Tezi, Finlandiya Teknik Üniversitesi, Helsinki.

Reed, E. J., (1868), "On the Stability of Monitors under Canvas", Transactions of the Institution of Naval Architects, (9): 198.

Ridgely-Nevitt, C., (1963), "The Development of Parent Hulls for a High Displacement-Length Series of Trawler Forms", Transactions of the Society of Naval Architects and Marine Engineers, 71: 5-30.

Roberts, J.B., (1985a), "Estimation of Nonlinear Ship Roll Damping from Free-Decay Data", Journal of Ship Research, 29 (2): 127-138

Roberts, J.B. ve Dacunha, N.M.C., (1985b), "Roll Motion of a Ship in Random Beam Waves: Comparison Between Theory and Experiment", Journal of Ship Research, 29 (2): 112-126

Sabuncu, T., (1983), Gemi Hareketleri, İTÜ Kütüphanesi, (1248): 108-109.

Scribanti, A., (1904), "On the Heeling and Rolling of Ships of Small Initial Stability", Trans. INA

Spouge, J.R., (1990), "Non-linear Roll Damping Measurements", The Royal Institution of Naval Architects, 319-332, London

Standard Symbols and Terminology, (1990), International Towing Tank Conference (ITTC'90), Draft, Madrid.

Takagi, A., (1979), "Notes on Stability", Fishing Boats of The World 2, FAO, 475-488.

Thompson, J.M.T., Rainey, R.C.T. ve Soliman, M.S., (1990), "Ship Stability Criteria Based on Chaotic Transients From Incursive Fractals", Phil. Trans. R. Soc. Lond. A 332:149-167.

Thompson, J.M.T., (1997), "Designing Against Capsize in Beam Seas: Recent Advances and New Insights", Applied Mechanical Review, 50 (5): 307-325:

Thomson, G. ve Tope, J. E., (1970), "International Considerations of Intact Stability Standards", Transactions of the Royal Institution of Naval Architects, (112):43.

Torremolinos International Convention on the Safety of Fishing Vessels, (1977), Final Act, Chapter II, Regulation 14 (Freeing Ports) and Chapter III (Stability and associated Seaworthiness), IMCO.

Torremolinos 1993 Protocol and Torremolinos International Convention for the Safety of Fishing Vessels, (1995), Consolidated edition, IMO.

Traung, J.O., (1967), "Research Vessel Data", FAO, Fishers Reports, 2 (28)

Traung, J.O., (1968), "Research Vessel Data", FAO, Fishers Reports, 3 (29)

Traung, J.O., (1969), "Research Vessel Data", FAO, Fishers Reports, 3 (29)

Tsuchiya, T., (1975), "An Approach to Treating Stability of Fishing Vessels", Proceedings of the International Conference on Stability of Ships and Ocean Vehicles, Glasgow.

Voznessensky, A.J. ve Firsoff, G.A., (1957), "Statistical Analysis of data Concerning Rolling of Ships" Proc. Symposium on the Behaviour of Ships in a Seaway, Wageningen

Welaya, Y., (1980), "Application of Time-dependent Restoring for Stability Assessment of Ships and Semi-submersibles", PhD Thesis, University of Strathclyde, Glasgow.

Wendel, K. (1954) "Stabilitatseinbugen im Seegang und durch Koksdeckslast" Hansa

Wendel, K., (1960), "Safety from Capsizing", Fishing Boats of the World, 2: 496, Fishing News Books Ltd., Londra.

Yoshizawa, T, (1958), "Lyapunov's Functions and Boundedness of Solutions", Funkcialaj-Ekvacioj, 2: 17-103

Ek 1 Uygulamada Kullanılan Balıkçı Gemilerinin Ofset Yarı Genişlikleri
Gemi No : 1

Posta No	WL 0	WL 1/4	WL 1/2	WL 1	WL 2	WL 3	WL 4	LWL	WL 6
0	0.000	0.000	0.000	0.000	0.000	0.000	0.011	0.717	1.670
0.25	0.000	0.013	0.013	0.013	0.014	0.018	0.024	1.076	1.945
0.5	0.000	0.060	0.085	0.127	0.179	0.282	0.604	1.404	2.200
0.75	0.000	0.103	0.154	0.233	0.370	0.566	0.960	1.712	2.413
1	0.000	0.152	0.248	0.373	0.591	0.868	1.314	1.992	2.605
1.5	0.000	0.301	0.462	0.684	1.059	1.456	1.913	2.440	2.910
2	0.000	0.435	0.689	1.052	1.549	1.989	2.419	2.806	3.106
2.5	0.000	0.586	0.941	1.417	2.015	2.446	2.798	3.070	3.262
3	0.000	0.700	1.182	1.774	2.434	2.826	3.087	3.255	3.354
4	0.000	0.788	1.507	2.344	3.008	3.282	3.392	3.427	3.427
5	0.000	0.788	1.564	2.468	3.097	3.337	3.413	3.427	3.427
6	0.000	0.788	1.459	2.173	2.747	3.001	3.137	3.232	3.307
7	0.000	0.739	1.174	1.629	2.078	2.317	2.501	2.684	2.872
7.5	0.000	0.624	0.928	1.289	1.671	1.900	2.089	2.299	2.540
8	0.000	0.453	0.674	0.955	1.272	1.463	1.648	1.870	2.146
8.5	0.000	0.284	0.452	0.650	0.871	1.019	1.182	1.407	1.699
9	0.000	0.154	0.256	0.385	0.523	0.611	0.729	0.928	1.211
9.25	0.000	0.104	0.170	0.275	0.372	0.435	0.521	0.689	0.944
9.5	0.000	0.062	0.103	0.164	0.228	0.276	0.350	0.477	0.686
9.75	0.000	0.022	0.030	0.052	0.095	0.136	0.188	0.271	0.423
10	0.000	0.000	0.000	0.000	0.000	0.000	0.004	0.086	0.179

Gemi No : 2

Posta No	WL 0	WL 1/4	WL 1/2	WL 1	WL 2	WL 3	WL 4	LWL	WL 6
0	0.000	0.000	0.000	0.000	0.000	0.000	0.011	0.706	1.645
0.25	0.000	0.013	0.013	0.013	0.013	0.018	0.024	1.060	1.916
0.5	0.000	0.059	0.083	0.125	0.176	0.277	0.595	1.382	2.167
0.75	0.000	0.102	0.152	0.230	0.364	0.557	0.945	1.686	2.377
1	0.000	0.149	0.245	0.367	0.582	0.855	1.294	1.962	2.565
1.5	0.000	0.297	0.455	0.674	1.043	1.434	1.884	2.403	2.866
2	0.000	0.428	0.678	1.036	1.526	1.959	2.382	2.764	3.059
2.5	0.000	0.577	0.927	1.395	1.985	2.409	2.755	3.024	3.213
3	0.000	0.690	1.164	1.747	2.397	2.783	3.041	3.206	3.303
4	0.000	0.776	1.484	2.308	2.963	3.232	3.341	3.375	3.375
5	0.000	0.776	1.540	2.431	3.050	3.287	3.361	3.375	3.375
6	0.000	0.776	1.437	2.140	2.705	2.956	3.090	3.183	3.257
7	0.000	0.728	1.157	1.604	2.047	2.282	2.463	2.643	2.829
7.5	0.000	0.615	0.914	1.270	1.646	1.871	2.057	2.264	2.501
8	0.000	0.446	0.664	0.940	1.252	1.441	1.623	1.842	2.114
8.5	0.000	0.279	0.446	0.640	0.858	1.004	1.164	1.386	1.674
9	0.000	0.152	0.252	0.379	0.515	0.601	0.718	0.914	1.192
9.25	0.000	0.102	0.167	0.271	0.367	0.428	0.513	0.679	0.930
9.5	0.000	0.061	0.102	0.161	0.225	0.272	0.344	0.470	0.676
9.75	0.000	0.021	0.030	0.052	0.093	0.134	0.185	0.267	0.417
10	0.000	0.000	0.000	0.000	0.000	0.000	0.004	0.085	0.176

Gemi No: 3

Posta No	WL 0	WL 1/4	WL 1/2	WL 1	WL 2	WL 3	WL 4	LWL	WL 6
0	0.000	0.000	0.000	0.000	0.000	0.000	0.010	0.687	1.601
0.25	0.000	0.012	0.012	0.012	0.013	0.017	0.023	1.031	1.865
0.5	0.000	0.058	0.081	0.122	0.172	0.270	0.579	1.345	2.109
0.75	0.000	0.099	0.148	0.224	0.354	0.542	0.920	1.641	2.313
1	0.000	0.145	0.238	0.357	0.567	0.832	1.260	1.909	2.497
1.5	0.000	0.289	0.442	0.656	1.015	1.396	1.833	2.339	2.789
2	0.000	0.417	0.660	1.009	1.485	1.907	2.318	2.690	2.977
2.5	0.000	0.562	0.902	1.358	1.932	2.345	2.681	2.943	3.127
3	0.000	0.671	1.133	1.700	2.333	2.708	2.959	3.120	3.215
4	0.000	0.755	1.444	2.247	2.883	3.145	3.251	3.285	3.285
5	0.000	0.755	1.499	2.365	2.968	3.198	3.271	3.285	3.285
6	0.000	0.755	1.399	2.082	2.633	2.877	3.007	3.098	3.169
7	0.000	0.709	1.126	1.561	1.992	2.220	2.397	2.572	2.753
7.5	0.000	0.598	0.890	1.236	1.602	1.821	2.002	2.203	2.434
8	0.000	0.434	0.646	0.915	1.219	1.402	1.579	1.793	2.057
8.5	0.000	0.272	0.434	0.623	0.835	0.977	1.133	1.348	1.629
9	0.000	0.148	0.245	0.369	0.501	0.585	0.699	0.890	1.160
9.25	0.000	0.100	0.163	0.264	0.357	0.417	0.499	0.661	0.905
9.5	0.000	0.059	0.099	0.157	0.219	0.265	0.335	0.457	0.658
9.75	0.000	0.021	0.029	0.050	0.091	0.131	0.180	0.259	0.406
10	0.000	0.000	0.000	0.000	0.000	0.000	0.004	0.082	0.171

Gemi No: 4

Posta No	WL 0	WL 1/4	WL 1/2	WL 1	WL 2	WL 3	WL 4	LWL	WL 6
0	0.000	0.000	0.000	0.000	0.000	0.000	0.010	0.677	1.577
0.25	0.000	0.012	0.012	0.012	0.013	0.017	0.023	1.016	1.837
0.5	0.000	0.057	0.080	0.120	0.169	0.266	0.571	1.325	2.077
0.75	0.000	0.098	0.146	0.220	0.349	0.534	0.906	1.616	2.279
1	0.000	0.143	0.234	0.352	0.558	0.820	1.241	1.881	2.460
1.5	0.000	0.284	0.436	0.646	1.000	1.375	1.806	2.304	2.748
2	0.000	0.411	0.650	0.994	1.463	1.879	2.284	2.650	2.933
2.5	0.000	0.554	0.889	1.338	1.903	2.310	2.642	2.899	3.080
3	0.000	0.661	1.116	1.675	2.298	2.668	2.915	3.073	3.167
4	0.000	0.744	1.423	2.213	2.840	3.099	3.203	3.236	3.236
5	0.000	0.744	1.477	2.330	2.924	3.151	3.222	3.236	3.236
6	0.000	0.744	1.378	2.051	2.594	2.834	2.962	3.052	3.122
7	0.000	0.698	1.109	1.538	1.962	2.187	2.362	2.534	2.712
7.5	0.000	0.589	0.876	1.217	1.578	1.794	1.973	2.171	2.398
8	0.000	0.428	0.636	0.901	1.201	1.382	1.556	1.766	2.026
8.5	0.000	0.268	0.427	0.614	0.823	0.962	1.116	1.328	1.605
9	0.000	0.146	0.241	0.364	0.494	0.577	0.689	0.877	1.143
9.25	0.000	0.098	0.160	0.260	0.352	0.410	0.492	0.651	0.892
9.5	0.000	0.058	0.098	0.155	0.216	0.261	0.330	0.450	0.648
9.75	0.000	0.020	0.029	0.049	0.089	0.129	0.177	0.256	0.400
10	0.000	0.000	0.000	0.000	0.000	0.000	0.004	0.081	0.169

Gemi No: 5

Posta No	WL 0	WL 1/4	WL 1/2	WL 1	WL 2	WL 3	WL 4	LWL	WL 6
0	0.000	0.000	0.000	0.000	0.000	0.000	0.010	0.662	1.542
0.25	0.000	0.012	0.012	0.012	0.013	0.017	0.022	0.993	1.796
0.5	0.000	0.056	0.078	0.117	0.165	0.260	0.558	1.296	2.031
0.75	0.000	0.096	0.142	0.215	0.341	0.522	0.886	1.580	2.228
1	0.000	0.140	0.229	0.344	0.546	0.801	1.213	1.839	2.405
1.5	0.000	0.278	0.426	0.632	0.978	1.345	1.766	2.253	2.687
2	0.000	0.402	0.636	0.972	1.430	1.837	2.233	2.591	2.868
2.5	0.000	0.541	0.869	1.308	1.861	2.258	2.583	2.834	3.012
3	0.000	0.646	1.092	1.638	2.247	2.609	2.850	3.005	3.096
4	0.000	0.727	1.391	2.164	2.777	3.030	3.131	3.164	3.164
5	0.000	0.727	1.444	2.278	2.859	3.081	3.151	3.164	3.164
6	0.000	0.727	1.347	2.006	2.536	2.771	2.896	2.984	3.053
7	0.000	0.682	1.084	1.504	1.919	2.139	2.309	2.478	2.652
7.5	0.000	0.576	0.857	1.190	1.543	1.754	1.929	2.122	2.345
8	0.000	0.418	0.622	0.881	1.174	1.351	1.521	1.727	1.981
8.5	0.000	0.262	0.418	0.600	0.804	0.941	1.091	1.299	1.569
9	0.000	0.143	0.236	0.356	0.483	0.564	0.673	0.857	1.118
9.25	0.000	0.096	0.157	0.254	0.344	0.401	0.481	0.636	0.872
9.5	0.000	0.057	0.095	0.151	0.211	0.255	0.323	0.440	0.634
9.75	0.000	0.020	0.028	0.048	0.087	0.126	0.173	0.250	0.391
10	0.000	0.000	0.000	0.000	0.000	0.000	0.004	0.079	0.165

Gemi No: 6

Posta No	WL 0	WL 1/4	WL 1/2	WL 1	WL 2	WL 3	WL 4	LWL	WL 6
0	0.000	0.000	0.000	0.000	0.000	0.000	0.010	0.651	1.516
0.25	0.000	0.012	0.012	0.012	0.012	0.016	0.022	0.977	1.766
0.5	0.000	0.055	0.077	0.115	0.163	0.256	0.549	1.274	1.997
0.75	0.000	0.094	0.140	0.212	0.336	0.513	0.871	1.554	2.191
1	0.000	0.138	0.225	0.338	0.537	0.788	1.193	1.808	2.365
1.5	0.000	0.273	0.419	0.621	0.962	1.322	1.736	2.215	2.642
2	0.000	0.395	0.625	0.955	1.406	1.806	2.195	2.548	2.820
2.5	0.000	0.532	0.855	1.286	1.829	2.221	2.540	2.787	2.961
3	0.000	0.636	1.073	1.610	2.209	2.565	2.803	2.955	3.044
4	0.000	0.715	1.368	2.128	2.731	2.979	3.079	3.111	3.111
5	0.000	0.715	1.420	2.240	2.811	3.029	3.098	3.111	3.111
6	0.000	0.715	1.325	1.972	2.494	2.724	2.848	2.934	3.002
7	0.000	0.671	1.066	1.479	1.886	2.103	2.270	2.436	2.608
7.5	0.000	0.567	0.843	1.170	1.517	1.725	1.896	2.087	2.305
8	0.000	0.411	0.612	0.867	1.154	1.328	1.496	1.698	1.948
8.5	0.000	0.257	0.411	0.590	0.791	0.925	1.073	1.277	1.543
9	0.000	0.140	0.232	0.350	0.474	0.554	0.662	0.843	1.099
9.25	0.000	0.094	0.154	0.250	0.338	0.395	0.473	0.626	0.857
9.5	0.000	0.056	0.094	0.149	0.207	0.251	0.317	0.433	0.623
9.75	0.000	0.020	0.027	0.048	0.086	0.124	0.171	0.246	0.384
10	0.000	0.000	0.000	0.000	0.000	0.000	0.004	0.078	0.162

Gemi No: 7

Posta No	WL 0	WL 1/4	WL 1/2	WL 1	WL 2	WL 3	WL 4	LWL	WL 6
0	0.000	0.000	0.000	0.000	0.000	0.000	0.010	0.639	1.489
0.25	0.000	0.012	0.012	0.012	0.012	0.016	0.021	0.959	1.735
0.5	0.000	0.054	0.075	0.113	0.160	0.251	0.539	1.252	1.962
0.75	0.000	0.092	0.137	0.208	0.330	0.504	0.856	1.527	2.152
1	0.000	0.135	0.221	0.332	0.527	0.774	1.172	1.776	2.323
1.5	0.000	0.269	0.412	0.610	0.945	1.299	1.706	2.176	2.595
2	0.000	0.388	0.614	0.938	1.381	1.774	2.157	2.503	2.770
2.5	0.000	0.523	0.840	1.264	1.797	2.181	2.495	2.738	2.909
3	0.000	0.624	1.054	1.582	2.170	2.520	2.753	2.903	2.991
4	0.000	0.703	1.343	2.090	2.682	2.926	3.025	3.056	3.056
5	0.000	0.703	1.395	2.201	2.762	2.976	3.043	3.056	3.056
6	0.000	0.703	1.301	1.937	2.450	2.676	2.798	2.882	2.949
7	0.000	0.659	1.047	1.453	1.853	2.066	2.230	2.393	2.562
7.5	0.000	0.557	0.828	1.150	1.490	1.694	1.863	2.050	2.265
8	0.000	0.404	0.601	0.851	1.134	1.305	1.469	1.668	1.914
8.5	0.000	0.253	0.404	0.580	0.777	0.909	1.054	1.255	1.515
9	0.000	0.138	0.228	0.344	0.466	0.544	0.650	0.828	1.080
9.25	0.000	0.093	0.152	0.245	0.332	0.388	0.464	0.615	0.842
9.5	0.000	0.055	0.092	0.146	0.204	0.246	0.312	0.425	0.612
9.75	0.000	0.019	0.027	0.047	0.084	0.122	0.168	0.241	0.378
10	0.000	0.000	0.000	0.000	0.000	0.000	0.003	0.077	0.159

Gemi No: 8

Posta No	WL 0	WL 1/4	WL 1/2	WL 1	WL 2	WL 3	WL 4	LWL	WL 6
0	0.000	0.000	0.000	0.000	0.000	0.000	0.009	0.612	1.427
0.25	0.000	0.011	0.011	0.011	0.012	0.015	0.020	0.919	1.662
0.5	0.000	0.052	0.072	0.108	0.153	0.241	0.516	1.199	1.879
0.75	0.000	0.088	0.132	0.199	0.316	0.483	0.820	1.462	2.062
1	0.000	0.130	0.212	0.318	0.505	0.742	1.123	1.702	2.225
1.5	0.000	0.257	0.394	0.585	0.905	1.244	1.634	2.085	2.486
2	0.000	0.372	0.588	0.899	1.323	1.700	2.066	2.398	2.654
2.5	0.000	0.501	0.804	1.210	1.722	2.090	2.390	2.623	2.787
3	0.000	0.598	1.010	1.515	2.079	2.414	2.637	2.781	2.865
4	0.000	0.673	1.287	2.002	2.570	2.803	2.898	2.928	2.928
5	0.000	0.673	1.336	2.108	2.646	2.851	2.915	2.928	2.928
6	0.000	0.673	1.247	1.856	2.347	2.564	2.680	2.761	2.825
7	0.000	0.632	1.003	1.392	1.775	1.979	2.137	2.293	2.454
7.5	0.000	0.533	0.793	1.101	1.428	1.623	1.785	1.964	2.170
8	0.000	0.387	0.576	0.816	1.086	1.250	1.408	1.598	1.833
8.5	0.000	0.242	0.387	0.555	0.744	0.871	1.009	1.202	1.452
9	0.000	0.132	0.218	0.329	0.447	0.522	0.623	0.793	1.034
9.25	0.000	0.089	0.145	0.235	0.318	0.371	0.445	0.589	0.807
9.5	0.000	0.053	0.088	0.140	0.195	0.236	0.299	0.407	0.586
9.75	0.000	0.018	0.026	0.045	0.081	0.116	0.160	0.231	0.362
10	0.000	0.000	0.000	0.000	0.000	0.000	0.003	0.073	0.153

Gemi No: 9

Posta No	WL 0	WL 1/4	WL 1/2	WL 1	WL 2	WL 3	WL 4	LWL	WL 6
0	0.000	0.000	0.000	0.000	0.000	0.000	0.009	0.607	1.413
0.25	0.000	0.011	0.011	0.011	0.011	0.015	0.020	0.910	1.646
0.5	0.000	0.051	0.072	0.107	0.152	0.238	0.511	1.188	1.862
0.75	0.000	0.088	0.130	0.197	0.313	0.479	0.812	1.448	2.042
1	0.000	0.128	0.210	0.315	0.500	0.734	1.112	1.686	2.204
1.5	0.000	0.255	0.391	0.579	0.896	1.232	1.618	2.065	2.462
2	0.000	0.368	0.583	0.891	1.311	1.683	2.047	2.375	2.628
2.5	0.000	0.496	0.797	1.199	1.705	2.070	2.367	2.598	2.760
3	0.000	0.593	1.000	1.501	2.059	2.391	2.612	2.754	2.838
4	0.000	0.667	1.275	1.983	2.545	2.777	2.870	2.900	2.900
5	0.000	0.667	1.323	2.088	2.620	2.824	2.888	2.900	2.900
6	0.000	0.667	1.235	1.838	2.324	2.540	2.655	2.735	2.798
7	0.000	0.626	0.994	1.378	1.758	1.960	2.116	2.271	2.431
7.5	0.000	0.528	0.785	1.091	1.414	1.608	1.768	1.945	2.149
8	0.000	0.383	0.570	0.808	1.076	1.238	1.394	1.582	1.816
8.5	0.000	0.240	0.383	0.550	0.737	0.862	1.000	1.190	1.438
9	0.000	0.131	0.216	0.326	0.442	0.517	0.617	0.786	1.024
9.25	0.000	0.088	0.144	0.233	0.315	0.368	0.441	0.583	0.799
9.5	0.000	0.052	0.087	0.139	0.193	0.234	0.296	0.403	0.581
9.75	0.000	0.018	0.026	0.044	0.080	0.115	0.159	0.229	0.358
10	0.000	0.000	0.000	0.000	0.000	0.000	0.003	0.073	0.151

Gemi No: 10

Posta No	WL 0	WL 1/4	WL 1/2	WL 1	WL 2	WL 3	WL 4	LWL	WL 6
0	0.000	0.000	0.000	0.000	0.000	0.000	0.009	0.593	1.383
0.25	0.000	0.011	0.011	0.011	0.011	0.015	0.020	0.891	1.610
0.5	0.000	0.050	0.070	0.105	0.148	0.233	0.500	1.162	1.821
0.75	0.000	0.086	0.128	0.193	0.306	0.468	0.795	1.417	1.998
1	0.000	0.126	0.206	0.309	0.489	0.719	1.088	1.649	2.156
1.5	0.000	0.249	0.382	0.567	0.877	1.206	1.583	2.020	2.409
2	0.000	0.360	0.570	0.871	1.282	1.647	2.002	2.323	2.571
2.5	0.000	0.485	0.779	1.173	1.668	2.025	2.316	2.542	2.700
3	0.000	0.580	0.979	1.468	2.015	2.339	2.556	2.695	2.776
4	0.000	0.652	1.247	1.940	2.490	2.717	2.808	2.837	2.837
5	0.000	0.652	1.295	2.043	2.564	2.762	2.825	2.837	2.837
6	0.000	0.652	1.208	1.799	2.274	2.484	2.597	2.676	2.737
7	0.000	0.612	0.972	1.348	1.720	1.918	2.070	2.222	2.378
7.5	0.000	0.517	0.768	1.067	1.383	1.573	1.729	1.903	2.102
8	0.000	0.375	0.558	0.790	1.053	1.211	1.364	1.548	1.777
8.5	0.000	0.235	0.375	0.538	0.721	0.844	0.978	1.165	1.407
9	0.000	0.128	0.212	0.319	0.433	0.505	0.604	0.768	1.002
9.25	0.000	0.086	0.141	0.228	0.308	0.360	0.431	0.571	0.782
9.5	0.000	0.051	0.086	0.136	0.189	0.228	0.289	0.395	0.568
9.75	0.000	0.018	0.025	0.043	0.078	0.113	0.156	0.224	0.351
10	0.000	0.000	0.000	0.000	0.000	0.000	0.003	0.071	0.148

Gemi No: 11

Posta No	WL 0	WL 1/4	WL 1/2	WL 1	WL 2	WL 3	WL 4	LWL	WL 6
0	0.000	0.000	0.000	0.000	0.000	0.000	0.009	0.588	1.369
0.25	0.000	0.011	0.011	0.011	0.011	0.015	0.020	0.882	1.595
0.5	0.000	0.050	0.069	0.104	0.147	0.231	0.495	1.151	1.803
0.75	0.000	0.085	0.126	0.191	0.303	0.464	0.787	1.403	1.978
1	0.000	0.124	0.204	0.305	0.485	0.711	1.077	1.633	2.135
1.5	0.000	0.247	0.378	0.561	0.868	1.194	1.568	2.000	2.385
2	0.000	0.357	0.565	0.863	1.270	1.631	1.982	2.300	2.546
2.5	0.000	0.481	0.772	1.161	1.652	2.005	2.293	2.516	2.674
3	0.000	0.574	0.969	1.454	1.995	2.316	2.530	2.668	2.749
4	0.000	0.646	1.235	1.921	2.466	2.690	2.780	2.809	2.809
5	0.000	0.646	1.282	2.023	2.538	2.735	2.797	2.809	2.809
6	0.000	0.646	1.196	1.781	2.251	2.460	2.571	2.649	2.710
7	0.000	0.606	0.963	1.335	1.703	1.899	2.050	2.200	2.354
7.5	0.000	0.512	0.761	1.057	1.370	1.557	1.712	1.884	2.082
8	0.000	0.371	0.552	0.782	1.042	1.199	1.350	1.533	1.759
8.5	0.000	0.232	0.371	0.533	0.714	0.835	0.969	1.153	1.393
9	0.000	0.127	0.210	0.316	0.428	0.500	0.598	0.761	0.992
9.25	0.000	0.085	0.139	0.225	0.305	0.356	0.427	0.565	0.774
9.5	0.000	0.051	0.085	0.134	0.187	0.226	0.287	0.391	0.563
9.75	0.000	0.018	0.025	0.043	0.078	0.112	0.154	0.222	0.347
10	0.000	0.000	0.000	0.000	0.000	0.000	0.003	0.070	0.147

Gemi No: 12

Posta No	WL 0	WL 1/4	WL 1/2	WL 1	WL 2	WL 3	WL 4	LWL	WL 6
0	0.000	0.000	0.000	0.000	0.000	0.000	0.009	0.582	1.356
0.25	0.000	0.010	0.010	0.010	0.011	0.015	0.019	0.874	1.580
0.5	0.000	0.049	0.069	0.103	0.145	0.229	0.491	1.140	1.786
0.75	0.000	0.084	0.125	0.189	0.300	0.459	0.779	1.390	1.959
1	0.000	0.123	0.202	0.303	0.480	0.705	1.067	1.617	2.115
1.5	0.000	0.244	0.375	0.556	0.860	1.183	1.553	1.981	2.363
2	0.000	0.353	0.559	0.854	1.258	1.615	1.964	2.279	2.522
2.5	0.000	0.476	0.764	1.150	1.636	1.986	2.272	2.493	2.649
3	0.000	0.569	0.960	1.440	1.976	2.294	2.507	2.643	2.723
4	0.000	0.640	1.223	1.903	2.442	2.664	2.754	2.783	2.783
5	0.000	0.640	1.270	2.004	2.514	2.710	2.771	2.783	2.783
6	0.000	0.640	1.185	1.764	2.230	2.437	2.547	2.624	2.685
7	0.000	0.600	0.953	1.323	1.687	1.881	2.031	2.179	2.332
7.5	0.000	0.507	0.754	1.047	1.357	1.543	1.696	1.867	2.062
8	0.000	0.368	0.547	0.775	1.033	1.188	1.338	1.518	1.742
8.5	0.000	0.230	0.367	0.528	0.707	0.828	0.959	1.142	1.380
9	0.000	0.125	0.208	0.313	0.424	0.496	0.592	0.754	0.983
9.25	0.000	0.084	0.138	0.223	0.302	0.353	0.423	0.560	0.767
9.5	0.000	0.050	0.084	0.133	0.185	0.224	0.284	0.387	0.557
9.75	0.000	0.018	0.025	0.043	0.077	0.111	0.153	0.220	0.344
10	0.000	0.000	0.000	0.000	0.000	0.000	0.003	0.070	0.145

Gemi No: 13

Posta No	WL 0	WL 1/4	WL 1/2	WL 1	WL 2	WL 3	WL 4	LWL	WL 6
0	0.000	0.000	0.000	0.000	0.000	0.000	0.009	0.577	1.344
0.25	0.000	0.010	0.010	0.010	0.011	0.015	0.019	0.866	1.566
0.5	0.000	0.049	0.068	0.102	0.144	0.227	0.486	1.130	1.771
0.75	0.000	0.083	0.124	0.188	0.297	0.455	0.773	1.378	1.942
1	0.000	0.122	0.200	0.300	0.476	0.699	1.058	1.603	2.097
1.5	0.000	0.242	0.372	0.551	0.853	1.172	1.540	1.964	2.342
2	0.000	0.350	0.554	0.847	1.247	1.601	1.947	2.259	2.500
2.5	0.000	0.472	0.758	1.140	1.622	1.969	2.252	2.471	2.626
3	0.000	0.564	0.952	1.428	1.959	2.274	2.485	2.620	2.700
4	0.000	0.634	1.213	1.887	2.421	2.641	2.730	2.759	2.759
5	0.000	0.634	1.259	1.986	2.493	2.686	2.747	2.759	2.759
6	0.000	0.634	1.175	1.749	2.211	2.416	2.525	2.602	2.662
7	0.000	0.595	0.945	1.311	1.673	1.865	2.013	2.160	2.312
7.5	0.000	0.502	0.747	1.038	1.345	1.529	1.681	1.850	2.044
8	0.000	0.365	0.543	0.768	1.024	1.178	1.326	1.505	1.727
8.5	0.000	0.228	0.364	0.523	0.701	0.820	0.951	1.132	1.368
9	0.000	0.124	0.206	0.310	0.421	0.491	0.587	0.747	0.975
9.25	0.000	0.084	0.137	0.221	0.300	0.350	0.419	0.555	0.760
9.5	0.000	0.050	0.083	0.132	0.184	0.222	0.281	0.384	0.552
9.75	0.000	0.017	0.024	0.042	0.076	0.110	0.151	0.218	0.341
10	0.000	0.000	0.000	0.000	0.000	0.000	0.003	0.069	0.144

Gemi No: 14

Posta No	WL 0	WL 1/4	WL 1/2	WL 1	WL 2	WL 3	WL 4	LWL	WL 6
0.00	0.000	0.000	0.000	0.000	0.000	0.000	0.009	0.572	1.333
0.25	0.000	0.010	0.010	0.010	0.011	0.014	0.019	0.859	1.552
0.50	0.000	0.048	0.067	0.101	0.143	0.225	0.482	1.120	1.756
0.75	0.000	0.083	0.123	0.186	0.295	0.451	0.766	1.366	1.926
1.00	0.000	0.121	0.198	0.297	0.472	0.693	1.049	1.590	2.079
1.50	0.000	0.240	0.368	0.546	0.845	1.162	1.526	1.947	2.322
2.00	0.000	0.347	0.550	0.840	1.236	1.588	1.930	2.240	2.479
2.50	0.000	0.468	0.751	1.131	1.608	1.952	2.233	2.450	2.603
3.00	0.000	0.559	0.944	1.416	1.942	2.255	2.464	2.597	2.676
4.00	0.000	0.629	1.202	1.870	2.400	2.619	2.707	2.735	2.735
5.00	0.000	0.629	1.248	1.969	2.471	2.663	2.723	2.735	2.735
6.00	0.000	0.629	1.164	1.734	2.192	2.395	2.503	2.579	2.639
7.00	0.000	0.590	0.937	1.300	1.658	1.849	1.996	2.142	2.292
7.50	0.000	0.498	0.741	1.029	1.334	1.516	1.667	1.835	2.027
8.00	0.000	0.362	0.538	0.762	1.015	1.168	1.315	1.492	1.713
8.50	0.000	0.226	0.361	0.519	0.695	0.813	0.943	1.123	1.356
9.00	0.000	0.123	0.204	0.307	0.417	0.487	0.582	0.741	0.966
9.25	0.000	0.083	0.136	0.219	0.297	0.347	0.416	0.550	0.754
9.50	0.000	0.049	0.082	0.131	0.182	0.220	0.279	0.381	0.548
9.75	0.000	0.017	0.024	0.042	0.076	0.109	0.150	0.216	0.338
10.00	0.000	0.000	0.000	0.000	0.000	0.000	0.003	0.069	0.143

Gemi No: 15

Posta No	WL 0	WL 1/4	WL 1/2	WL 1	WL 2	WL 3	WL 4	LWL	WL 6
0	0.000	0.000	0.000	0.000	0.000	0.000	0.009	0.590	1.375
0.25	0.000	0.011	0.011	0.011	0.011	0.015	0.020	0.886	1.602
0.5	0.000	0.050	0.070	0.104	0.147	0.232	0.498	1.156	1.811
0.75	0.000	0.085	0.127	0.192	0.304	0.466	0.790	1.409	1.987
1	0.000	0.125	0.204	0.307	0.487	0.715	1.082	1.640	2.145
1.5	0.000	0.248	0.380	0.563	0.872	1.199	1.575	2.009	2.396
2	0.000	0.358	0.567	0.866	1.275	1.638	1.991	2.311	2.557
2.5	0.000	0.483	0.775	1.167	1.659	2.014	2.303	2.528	2.686
3	0.000	0.577	0.973	1.460	2.004	2.326	2.542	2.680	2.761
4	0.000	0.649	1.240	1.930	2.477	2.702	2.793	2.822	2.822
5	0.000	0.649	1.288	2.032	2.550	2.747	2.810	2.822	2.822
6	0.000	0.649	1.201	1.789	2.262	2.471	2.583	2.661	2.722
7	0.000	0.609	0.967	1.341	1.711	1.907	2.059	2.210	2.365
7.5	0.000	0.514	0.764	1.061	1.376	1.564	1.720	1.893	2.091
8	0.000	0.373	0.555	0.786	1.047	1.205	1.357	1.540	1.767
8.5	0.000	0.233	0.373	0.535	0.717	0.839	0.973	1.158	1.399
9	0.000	0.127	0.210	0.317	0.430	0.503	0.600	0.764	0.997
9.25	0.000	0.086	0.140	0.226	0.307	0.358	0.429	0.567	0.777
9.5	0.000	0.051	0.085	0.135	0.188	0.227	0.288	0.393	0.565
9.75	0.000	0.018	0.025	0.043	0.078	0.112	0.155	0.223	0.349
10	0.000	0.000	0.000	0.000	0.000	0.000	0.003	0.071	0.147

Gemi No: 16

Posta No	WL 0	WL 1/4	WL 1/2	WL 1	WL 2	WL 3	WL 4	LWL	WL 6
0	0.000	0.000	0.000	0.000	0.000	0.000	0.009	0.609	1.420
0.25	0.000	0.011	0.011	0.011	0.012	0.015	0.020	0.915	1.654
0.5	0.000	0.051	0.072	0.108	0.152	0.239	0.514	1.193	1.870
0.75	0.000	0.088	0.131	0.198	0.314	0.481	0.816	1.455	2.052
1	0.000	0.129	0.211	0.317	0.503	0.738	1.117	1.694	2.215
1.5	0.000	0.256	0.392	0.582	0.901	1.238	1.626	2.075	2.474
2	0.000	0.370	0.586	0.895	1.317	1.691	2.056	2.386	2.641
2.5	0.000	0.498	0.800	1.205	1.713	2.080	2.379	2.610	2.773
3	0.000	0.595	1.005	1.508	2.069	2.402	2.625	2.767	2.851
4	0.000	0.670	1.281	1.993	2.557	2.790	2.884	2.914	2.914
5	0.000	0.670	1.330	2.098	2.633	2.837	2.901	2.914	2.914
6	0.000	0.670	1.241	1.847	2.335	2.552	2.667	2.748	2.811
7	0.000	0.628	0.998	1.385	1.767	1.969	2.126	2.282	2.442
7.5	0.000	0.531	0.789	1.096	1.421	1.615	1.776	1.955	2.159
8	0.000	0.385	0.573	0.812	1.081	1.244	1.401	1.590	1.825
8.5	0.000	0.241	0.385	0.553	0.741	0.866	1.005	1.196	1.445
9	0.000	0.131	0.217	0.328	0.444	0.519	0.620	0.789	1.029
9.25	0.000	0.088	0.144	0.234	0.317	0.370	0.443	0.586	0.803
9.5	0.000	0.052	0.088	0.139	0.194	0.235	0.297	0.405	0.584
9.75	0.000	0.018	0.026	0.045	0.080	0.116	0.160	0.230	0.360
10	0.000	0.000	0.000	0.000	0.000	0.000	0.003	0.073	0.152

Gemi No: 17

Posta No	WL 0	WL 1/4	WL 1/2	WL 1	WL 2	WL 3	WL 4	LWL	WL 6
0	0.000	0.000	0.000	0.000	0.000	0.000	0.010	0.636	1.482
0.25	0.000	0.011	0.011	0.011	0.012	0.016	0.021	0.955	1.726
0.5	0.000	0.054	0.075	0.113	0.159	0.250	0.536	1.246	1.952
0.75	0.000	0.092	0.137	0.207	0.328	0.502	0.852	1.519	2.142
1	0.000	0.135	0.220	0.331	0.525	0.770	1.166	1.768	2.311
1.5	0.000	0.267	0.410	0.607	0.940	1.292	1.697	2.166	2.582
2	0.000	0.386	0.611	0.934	1.375	1.765	2.146	2.491	2.757
2.5	0.000	0.520	0.835	1.257	1.788	2.171	2.483	2.725	2.895
3	0.000	0.621	1.049	1.574	2.160	2.508	2.740	2.889	2.976
4	0.000	0.699	1.337	2.080	2.669	2.912	3.010	3.041	3.041
5	0.000	0.699	1.388	2.190	2.748	2.961	3.028	3.041	3.041
6	0.000	0.699	1.295	1.928	2.438	2.663	2.784	2.868	2.934
7	0.000	0.656	1.042	1.446	1.844	2.056	2.219	2.382	2.549
7.5	0.000	0.554	0.824	1.144	1.483	1.686	1.854	2.040	2.254
8	0.000	0.402	0.598	0.847	1.129	1.298	1.462	1.660	1.904
8.5	0.000	0.252	0.402	0.577	0.773	0.904	1.049	1.248	1.508
9	0.000	0.137	0.227	0.342	0.464	0.542	0.647	0.824	1.074
9.25	0.000	0.092	0.151	0.244	0.331	0.386	0.462	0.612	0.838
9.5	0.000	0.055	0.092	0.146	0.203	0.245	0.310	0.423	0.609
9.75	0.000	0.019	0.027	0.047	0.084	0.121	0.167	0.240	0.376
10	0.000	0.000	0.000	0.000	0.000	0.000	0.003	0.076	0.159

Gemi No: 18

Posta No	WL 0	WL 1/4	WL 1/2	WL 1	WL 2	WL 3	WL 4	LWL	WL 6
0	0.000	0.000	0.000	0.000	0.000	0.000	0.010	0.655	1.527
0.25	0.000	0.012	0.012	0.012	0.012	0.017	0.022	0.984	1.778
0.5	0.000	0.055	0.077	0.116	0.164	0.258	0.552	1.283	2.011
0.75	0.000	0.095	0.141	0.213	0.338	0.517	0.877	1.565	2.206
1	0.000	0.139	0.227	0.341	0.540	0.793	1.201	1.821	2.381
1.5	0.000	0.275	0.422	0.626	0.968	1.331	1.748	2.231	2.660
2	0.000	0.398	0.630	0.962	1.416	1.819	2.211	2.565	2.839
2.5	0.000	0.536	0.861	1.295	1.842	2.236	2.557	2.806	2.982
3	0.000	0.640	1.081	1.622	2.225	2.583	2.822	2.975	3.066
4	0.000	0.720	1.377	2.143	2.750	3.000	3.100	3.133	3.133
5	0.000	0.720	1.429	2.256	2.831	3.050	3.119	3.133	3.133
6	0.000	0.720	1.334	1.986	2.511	2.743	2.868	2.955	3.023
7	0.000	0.676	1.073	1.489	1.900	2.118	2.286	2.453	2.626
7.5	0.000	0.571	0.848	1.178	1.528	1.737	1.910	2.101	2.322
8	0.000	0.414	0.616	0.873	1.162	1.337	1.506	1.710	1.962
8.5	0.000	0.259	0.414	0.594	0.796	0.932	1.080	1.286	1.553
9	0.000	0.141	0.234	0.352	0.478	0.558	0.667	0.849	1.107
9.25	0.000	0.095	0.155	0.251	0.340	0.397	0.476	0.630	0.863
9.5	0.000	0.056	0.094	0.150	0.209	0.252	0.320	0.436	0.627
9.75	0.000	0.020	0.028	0.048	0.087	0.125	0.172	0.247	0.387
10	0.000	0.000	0.000	0.000	0.000	0.000	0.004	0.079	0.163

Gemi No: 19

Posta No	WL 0	WL 1/4	WL 1/2	WL 1	WL 2	WL 3	WL 4	LWL	WL 6
0	0.000	0.000	0.000	0.000	0.000	0.000	0.010	0.674	1.570
0.25	0.000	0.012	0.012	0.012	0.013	0.017	0.022	1.011	1.829
0.5	0.000	0.057	0.079	0.119	0.168	0.265	0.568	1.319	2.068
0.75	0.000	0.097	0.145	0.219	0.347	0.532	0.902	1.609	2.269
1	0.000	0.143	0.233	0.350	0.556	0.816	1.235	1.873	2.449
1.5	0.000	0.283	0.434	0.643	0.996	1.369	1.798	2.294	2.736
2	0.000	0.409	0.647	0.989	1.456	1.870	2.274	2.638	2.920
2.5	0.000	0.551	0.885	1.332	1.894	2.299	2.630	2.886	3.066
3	0.000	0.658	1.111	1.667	2.288	2.656	2.902	3.060	3.153
4	0.000	0.741	1.416	2.203	2.828	3.085	3.188	3.222	3.222
5	0.000	0.741	1.470	2.320	2.911	3.137	3.208	3.222	3.222
6	0.000	0.741	1.372	2.042	2.582	2.821	2.949	3.038	3.108
7	0.000	0.695	1.104	1.531	1.954	2.178	2.351	2.523	2.700
7.5	0.000	0.587	0.872	1.212	1.571	1.786	1.964	2.161	2.387
8	0.000	0.426	0.634	0.897	1.195	1.375	1.549	1.758	2.017
8.5	0.000	0.267	0.425	0.611	0.819	0.958	1.111	1.322	1.598
9	0.000	0.145	0.240	0.362	0.491	0.574	0.686	0.873	1.138
9.25	0.000	0.098	0.160	0.258	0.350	0.409	0.489	0.648	0.888
9.5	0.000	0.058	0.097	0.154	0.215	0.259	0.329	0.448	0.645
9.75	0.000	0.020	0.028	0.049	0.089	0.128	0.177	0.254	0.398
10	0.000	0.000	0.000	0.000	0.000	0.000	0.004	0.081	0.168

Gemi No: 20

Posta No	WL 0	WL 1/4	WL 1/2	WL 1	WL 2	WL 3	WL 4	LWL	WL 6
0	0.000	0.000	0.000	0.000	0.000	0.000	0.010	0.683	1.590
0.25	0.000	0.012	0.012	0.012	0.013	0.017	0.023	1.025	1.853
0.5	0.000	0.058	0.080	0.121	0.171	0.268	0.576	1.337	2.095
0.75	0.000	0.099	0.147	0.222	0.352	0.539	0.914	1.630	2.298
1	0.000	0.144	0.236	0.355	0.563	0.827	1.251	1.897	2.480
1.5	0.000	0.287	0.440	0.652	1.009	1.387	1.821	2.324	2.771
2	0.000	0.414	0.656	1.002	1.475	1.895	2.303	2.673	2.958
2.5	0.000	0.558	0.897	1.349	1.919	2.329	2.664	2.924	3.106
3	0.000	0.667	1.126	1.689	2.318	2.691	2.940	3.100	3.194
4	0.000	0.750	1.435	2.232	2.865	3.125	3.230	3.264	3.264
5	0.000	0.750	1.489	2.350	2.949	3.178	3.250	3.264	3.264
6	0.000	0.750	1.390	2.069	2.616	2.858	2.988	3.078	3.149
7	0.000	0.704	1.118	1.551	1.979	2.206	2.382	2.556	2.735
7.5	0.000	0.594	0.884	1.228	1.592	1.809	1.989	2.189	2.419
8	0.000	0.431	0.642	0.909	1.211	1.393	1.569	1.781	2.044
8.5	0.000	0.270	0.431	0.619	0.830	0.971	1.125	1.340	1.618
9	0.000	0.147	0.243	0.367	0.498	0.581	0.694	0.884	1.153
9.25	0.000	0.099	0.162	0.262	0.355	0.414	0.496	0.656	0.899
9.5	0.000	0.059	0.098	0.156	0.217	0.263	0.333	0.454	0.654
9.75	0.000	0.021	0.029	0.050	0.090	0.130	0.179	0.258	0.403
10	0.000	0.000	0.000	0.000	0.000	0.000	0.004	0.082	0.170

Gemi No: 21

Posta No	WL 0	WL 1/4	WL 1/2	WL 1	WL 2	WL 3	WL 4	LWL	WL 6
0	0.000	0.000	0.000	0.000	0.000	0.000	0.011	0.709	1.651
0.25	0.000	0.013	0.013	0.013	0.013	0.018	0.024	1.063	1.923
0.5	0.000	0.060	0.084	0.125	0.177	0.278	0.597	1.387	2.175
0.75	0.000	0.102	0.152	0.231	0.365	0.559	0.949	1.692	2.385
1	0.000	0.150	0.245	0.368	0.584	0.858	1.299	1.969	2.575
1.5	0.000	0.298	0.456	0.676	1.047	1.440	1.890	2.412	2.876
2	0.000	0.430	0.681	1.040	1.531	1.966	2.391	2.774	3.070
2.5	0.000	0.580	0.931	1.400	1.992	2.418	2.765	3.035	3.224
3	0.000	0.692	1.169	1.753	2.406	2.793	3.052	3.217	3.315
4	0.000	0.779	1.489	2.317	2.973	3.244	3.353	3.388	3.388
5	0.000	0.779	1.546	2.439	3.061	3.298	3.373	3.388	3.388
6	0.000	0.779	1.442	2.147	2.715	2.967	3.101	3.195	3.268
7	0.000	0.731	1.161	1.610	2.054	2.290	2.472	2.653	2.839
7.5	0.000	0.617	0.917	1.274	1.652	1.878	2.065	2.272	2.510
8	0.000	0.448	0.666	0.944	1.257	1.446	1.629	1.849	2.121
8.5	0.000	0.280	0.447	0.643	0.861	1.007	1.168	1.391	1.680
9	0.000	0.153	0.253	0.381	0.517	0.604	0.721	0.918	1.197
9.25	0.000	0.103	0.168	0.272	0.368	0.430	0.515	0.681	0.933
9.5	0.000	0.061	0.102	0.162	0.226	0.273	0.346	0.471	0.678
9.75	0.000	0.021	0.030	0.052	0.094	0.135	0.186	0.268	0.419
10	0.000	0.000	0.000	0.000	0.000	0.000	0.004	0.085	0.177

Gemi No: 22

Gemi No: 23

Gemi No: 24

Gemi No: 25

Gemi No: 26

Gemi No: 27

Posta No	WL 0	WL 1/4	WL 1/2	WL 1	WL 2	WL 3	WL 4	LWL	WL 6
0	0.000	0.000	0.000	0.000	0.000	0.000	0.016	0.776	1.542
0.25	0.000	0.003	0.003	0.003	0.004	0.005	0.052	1.081	1.778
0.5	0.000	0.039	0.058	0.089	0.141	0.250	0.609	1.342	1.992
0.75	0.000	0.076	0.119	0.193	0.327	0.540	0.933	1.590	2.178
1	0.000	0.120	0.197	0.318	0.528	0.815	1.244	1.826	2.333
1.5	0.000	0.250	0.388	0.600	0.974	1.358	1.774	2.209	2.588
2	0.000	0.393	0.620	0.949	1.432	1.848	2.213	2.524	2.765
2.5	0.000	0.561	0.894	1.328	1.874	2.253	2.542	2.755	2.904
3	0.000	0.712	1.158	1.693	2.245	2.566	2.784	2.916	2.992
4	0.000	0.840	1.547	2.227	2.745	2.942	3.019	3.049	3.049
5	0.000	0.840	1.640	2.352	2.831	2.995	3.040	3.049	3.049
6	0.000	0.840	1.502	2.114	2.577	2.775	2.873	2.939	2.989
7	0.000	0.748	1.160	1.589	1.994	2.217	2.380	2.528	2.678
7.5	0.000	0.616	0.911	1.265	1.627	1.844	2.023	2.208	2.408
8	0.000	0.442	0.664	0.933	1.227	1.431	1.612	1.818	2.055
8.5	0.000	0.281	0.441	0.637	0.863	1.003	1.167	1.374	1.632
9	0.000	0.142	0.248	0.386	0.516	0.604	0.725	0.911	1.169
9.25	0.000	0.100	0.166	0.269	0.369	0.437	0.526	0.680	0.913
9.5	0.000	0.063	0.102	0.162	0.236	0.284	0.349	0.463	0.660
9.75	0.000	0.027	0.044	0.075	0.117	0.144	0.185	0.261	0.407
10	0.000	0.000	0.000	0.000	0.000	0.000	0.001	0.074	0.157

Gemi No: 28

Posta No	WL 0	WL 1/4	WL 1/2	WL 1	WL 2	WL 3	WL 4	LWL	WL 6
0	0.000	0.000	0.000	0.000	0.000	0.000	0.023	0.807	1.523
0.25	0.000	0.003	0.003	0.003	0.003	0.004	0.115	1.110	1.768
0.5	0.000	0.033	0.049	0.072	0.132	0.256	0.649	1.363	1.980
0.75	0.000	0.064	0.102	0.174	0.319	0.563	0.980	1.601	2.173
1	0.000	0.105	0.167	0.293	0.519	0.836	1.283	1.837	2.321
1.5	0.000	0.220	0.349	0.568	0.973	1.379	1.806	2.221	2.567
2	0.000	0.371	0.593	0.924	1.444	1.872	2.233	2.531	2.751
2.5	0.000	0.559	0.895	1.336	1.904	2.277	2.554	2.753	2.886
3	0.000	0.754	1.196	1.733	2.274	2.577	2.783	2.906	2.974
4	0.000	0.921	1.663	2.291	2.759	2.926	2.992	3.019	3.019
5	0.000	0.921	1.771	2.428	2.858	2.986	3.015	3.019	3.019
6	0.000	0.921	1.621	2.191	2.619	2.798	2.884	2.938	2.980
7	0.000	0.798	1.200	1.631	2.040	2.274	2.438	2.579	2.720
7.5	0.000	0.645	0.938	1.303	1.675	1.903	2.092	2.275	2.468
8	0.000	0.451	0.681	0.954	1.254	1.480	1.672	1.882	2.116
8.5	0.000	0.291	0.446	0.650	0.894	1.040	1.217	1.427	1.680
9	0.000	0.143	0.250	0.393	0.528	0.629	0.764	0.952	1.206
9.25	0.000	0.101	0.165	0.267	0.375	0.456	0.558	0.716	0.946
9.5	0.000	0.061	0.100	0.159	0.243	0.297	0.365	0.482	0.683
9.75	0.000	0.027	0.049	0.086	0.131	0.151	0.190	0.271	0.422
10	0.000	0.000	0.000	0.000	0.000	0.000	0.001	0.071	0.155

Gemi No: 28

Posta No	WL 0	WL0.1	WL0.2	WL0.3	WL0.4	WL0.6	WL0.8	LWL	WL1.2	WL1.4
0	0.000	0.000	0.000	0.000	0.000	0.000	0.000	0.233	1.198	1.832
0.25	0.000	0.000	0.000	0.000	0.000	0.000	0.000	0.622	1.543	2.115
0.5	0.000	0.056	0.074	0.080	0.086	0.121	0.301	1.000	1.805	2.313
0.75	0.000	0.097	0.150	0.189	0.221	0.324	0.602	1.301	2.021	2.451
1	0.000	0.145	0.233	0.298	0.363	0.540	0.900	1.578	2.201	2.558
1.5	0.000	0.260	0.425	0.558	0.690	1.000	1.448	2.038	2.484	2.708
2	0.000	0.419	0.667	0.867	1.053	1.454	1.920	2.378	2.673	2.808
2.5	0.000	0.608	0.941	1.195	1.419	1.861	2.277	2.608	2.805	2.879
3	0.000	0.832	1.239	1.522	1.767	2.195	2.537	2.770	2.879	2.921
4	0.000	1.274	1.823	2.139	2.357	2.658	2.832	2.923	2.950	2.950
5	0.000	1.690	2.280	2.552	2.708	2.888	2.947	2.950	2.950	2.950
6	0.000	1.938	2.516	2.752	2.864	2.944	2.950	2.950	2.950	2.950
7	0.000	1.758	2.316	2.540	2.667	2.797	2.864	2.897	2.915	2.929
7.5	0.000	1.460	1.941	2.192	2.357	2.561	2.693	2.773	2.835	2.894
8	0.000	1.041	1.446	1.699	1.885	2.156	2.301	2.516	2.661	2.803
8.5	0.000	0.646	0.953	1.171	1.348	1.634	1.882	2.121	2.360	2.593
9	0.000	0.333	0.540	0.693	0.820	1.053	1.295	1.564	1.856	2.154
9.25	0.000	0.201	0.348	0.466	0.569	0.761	0.976	1.227	1.513	1.826
9.5	0.000	0.074	0.174	0.260	0.339	0.490	0.664	0.870	1.130	1.451
9.75	0.000	0.000	0.000	0.074	0.124	0.224	0.348	0.502	0.714	0.991
10	0.000	0.000	0.000	0.000	0.000	0.000	0.050	0.145	0.289	0.487

Gemi No: 30

Posta No	WL 0	WL0.1	WL0.2	WL0.3	WL0.4	WL0.6	WL0.8	LWL	WL1.2	WL1.4
0	0.000	0.000	0.000	0.000	0.000	0.000	0.000	0.307	1.154	1.791
0.25	0.000	0.032	0.037	0.037	0.040	0.040	0.095	0.761	1.581	2.124
0.5	0.000	0.089	0.123	0.155	0.178	0.255	0.488	1.177	1.888	2.333
0.75	0.000	0.144	0.232	0.301	0.367	0.537	0.887	1.553	2.141	2.494
1	0.000	0.215	0.350	0.462	0.571	0.829	1.246	1.854	2.330	2.603
1.5	0.000	0.396	0.634	0.832	1.010	1.392	1.851	2.296	2.586	2.732
2	0.000	0.626	0.947	1.203	1.429	1.854	2.259	2.566	2.735	2.807
2.5	0.000	0.872	1.277	1.561	1.802	2.204	2.517	2.721	2.815	2.850
3	0.000	1.105	1.584	1.891	2.118	2.451	2.681	2.804	2.856	2.870
4	0.000	1.524	2.069	2.353	2.534	2.749	2.844	2.870	2.870	2.870
5	0.000	1.825	2.348	2.603	2.735	2.850	2.870	2.870	2.870	2.870
6	0.000	1.880	2.445	2.678	2.781	2.856	2.870	2.870	2.870	2.870
7	0.000	1.599	2.098	2.342	2.477	2.638	2.729	2.781	2.813	2.844
7.5	0.000	1.303	1.742	1.989	2.158	2.382	2.534	2.638	2.718	2.798
8	0.000	0.944	1.309	1.558	1.742	2.015	2.224	2.394	2.546	2.701
8.5	0.000	0.608	0.895	1.111	1.277	1.556	1.797	2.029	2.259	2.494
9	0.000	0.330	0.525	0.680	0.806	1.036	1.274	1.530	1.797	2.098
9.25	0.000	0.204	0.353	0.476	0.583	0.769	0.982	1.220	1.498	1.811
9.5	0.000	0.089	0.187	0.267	0.344	0.497	0.674	0.884	1.131	1.452
9.75	0.000	0.000	0.000	0.077	0.132	0.235	0.359	0.514	0.720	1.007
10	0.000	0.000	0.000	0.000	0.000	0.000	0.046	0.132	0.264	0.474

Ek 2 Bahkiç Gemileri İçin Pratik Stabilite Kriterlerini Uygulama Tabloları

GEMİNİN ANA BOYUTLARI			
Geminin Adı			
Su Hattı Boyu	L		m.
Genişlik	B		m.
Draft	T		m.
Yükseklik	D		m.
Ağırlık Merkezinin Düşey Yeri	KG		m.
Blok Katsayısı	CB		
Deplasman	Δ		ton
HESAP PARAMETRELERİ			
Önce GZ-Φ Eğrisi Çizilir ve Üzerinden Gerekli Değerler Okunur (Şekil E2.1,2)			
Başlangıç Metasantr Yüksekliği	GM		m.
Maksimum GZ Değeri	GZ _{max}		m.
GZ _{max} Karşılık Gelen Açı Değeri	Φ _m		rad.
GZ - Φ Eğrisi Altında Kalan Alan (0≤Φ≤Φ _m)	A _{Φ_m}		rad.m
Stabilitenin Kaybolduğu Açı	Φ _v		rad.
GZ - Φ Eğrisi Altında Kalan Alan (0≤Φ≤Φ _v)	A _{Φ_v}		rad.m
Rüzgar Basıncı	P		kN/m ²
Rüzgara Açık Yan Projeksiyon Alanı	A		m ²
Rüzgar Moment Kolu [h=T+(D-T)/1.8 - KG]	h		m.
Dalga Yüksekliği	H _w		m.
Dalga Peryodu	T _w		s.
Yalpa Peryodu	T _φ		s.
HESAPLAMALAR			
1. Kütle ve Eksu Kütle Atalet Momenti Hesabı			
GF = KG - T			m
K ₁ = (B ² + 4 * GF ²) / 12			m ²
I = K ₁ * Δ / 9.81 "kütle atalet momenti"			ton.m.s ²
LB = L / B			
TB = T / B			
AK1 = - 1.020198 + 0.496011 * LB - 0.04287 * LB ²			
AK2 = (5.296516 - 2.250937 * LB + 0.193563 * LB ²) * TB			
AK3 = (-7.500317 + 2.913968 * LB - 0.24222 * LB ²) * TB ²			
AK4 = (3.164722 - 1.284722 * LB + 0.114778 * LB ²) * CB			
AK5 = (-12.739028 + 5.332778 * LB - 0.489306 * LB ²) * TB * CB			
AK6 = (17.630556 - 64.855556 * LB + 0.602778 * LB ²) * TB ² * CB			
AK7 = (-1.991468 + 0.925 * LB - 0.085119 * LB ²) * CB ²			
AK8 = (7.647817 - 3.630952 * LB + 0.348214 * LB ²) * TB * CB ²			
AK9 = (-10.456349 + 4.52381 * LB - 0.416667 * LB ²) * TB ² * CB ²			
K ₂ = AK1 + AK2 + AK3 + AK4 + AK5 + AK6 + AK7 + AK8 + AK9			
J = (K ₂ * B) ² * Δ / 9.81 "eksu kütle atalet momenti"			ton.m.s ²
IJ = (I + J)			ton.m.s ²

2. Doğrultucu Moment Kolumnun Hesabı ($GZ(\Phi) = c_0 \Phi + c_1 \Phi^3 + c_2 \Phi^5 + c_3 \Phi^7 + c_4 \Phi^9$)

Doğrultma moment kolu eğrisi $GZ(\Phi)$ aşağıda verildiği gibi dokuzuncu mertebeden tek dereceli polinom ile yaklaşık olarak ifade edilmiştir,

$$GZ(\Phi) = c_0 \Phi + c_1 \Phi^3 + c_2 \Phi^5 + c_3 \Phi^7 + c_4 \Phi^9$$

burada c_i katsayıları aşağıdaki şartlarla kolaylıkla hesaplanabilir

$$c_0 = GM$$

olduğundan c_0 yukarıdaki denklemde yerine koyulduğunda aşağıdaki denklemler elde edilir.

$$i) \int_{\phi=0}^{\phi=\phi_v} GZ(\Phi) d\Phi = A_{\Phi_v}$$

$$\frac{1}{4} \Phi_v^4 c_1 + \frac{1}{6} \Phi_v^6 c_2 + \frac{1}{8} \Phi_v^8 c_3 + \frac{1}{10} \Phi_v^{10} c_4 = A_{\Phi_v} - \frac{1}{2} GM \Phi_v^2$$

$$ii) GZ(\Phi_m) = GZ_{max}$$

$$\Phi_m^3 c_1 + \Phi_m^5 c_2 + \Phi_m^7 c_3 + \Phi_m^9 c_4 = GZ - GM \Phi_m$$

$$iii) GZ(\Phi_v) = 0$$

$$\Phi_v^3 c_1 + \Phi_v^5 c_2 + \Phi_v^7 c_3 + \Phi_v^9 c_4 = -GM \Phi_v$$

$$iv) \left. \frac{dGZ(\Phi)}{d\Phi} \right|_{\Phi=\Phi_m} = 0$$

$$3\Phi_m^2 c_1 + 5\Phi_m^4 c_2 + 7\Phi_m^6 c_3 + 9\Phi_m^8 c_4 = -GM$$

c_1, c_2, c_3, c_4 katsayıları yukarıdaki denklemlerden kolaylıkla hesaplanır.

$c_1 =$	$c_2 =$	$c_3 =$	$c_4 =$
$C_{11} = \Delta * GM$			ton.m
$C_{22} = \left[\frac{c_1 \Phi_v^3 + c_2 \Phi_v^5 + c_3 \Phi_v^7 + c_4 \Phi_v^9}{\Phi_v^3} \right] * \Delta$			ton.m

3. Maksimum Dalga Momenti

$$E_1$$

$$\lambda = 9.81 * T_w^2 / (2 * \pi)$$

$$m$$

$$E_1 = \pi * \Delta * H_w * GM / \lambda$$

$$ton.m$$

4. Rüzgar Sağanağı Momenti

$$WM_1$$

$$WM_1 = 1.5 * P * A * h / 9.81$$

$$ton.m.$$

$$Z_1 = E_1 + WM_1$$

$$ton.m$$

5. Sönüm Momenti $f_1(\dot{\Phi}) = B_{11} * \dot{\Phi} + B_{22} * \dot{\Phi}^2$

$$c = 0.025 \quad k = 0.001 [ton.m^{-4}s^{-2}]$$

$B_{11} = c * IJ$	ton.m.s	$B_{22} = k * L * B^4$	ton.m.s ²
-------------------	---------	------------------------	----------------------

6. Zorlamalar İle Sönüm Momentinin Kesişim Yerinin Bulunması (Şekil E2.4)

$$B_{11} * \dot{\Phi} + B_{22} * \dot{\Phi}^2 - 1.5 Z_1 = 0$$

$$b'_1 = [-B_{11} + ((B_{11})^2 + 4 * B_{22} * (1.5 * Z_1))^{0.5}] / (2 * B_{22}) \quad rad/s$$

7. Zorlamalar İle Doğrultma Momentinin Kesişim Yerlerinin Bulunması (Şekil E2.3)

a'_1	rad.	a'_2	rad
--------	------	--------	-----

8. Pratik Stabilite Bölgesinin Noktalarının Bulunması (Şekil E2.5)
i) $P_0(\Phi_0, \dot{\Phi}_0)$ noktası

Φ_0	0	rad
$\dot{\Phi}_0 = [(b'_1)^2 + 3 Z_1 a'_1 / (I+J)]^{0.5}$		rad/s.

ii) $P_1(\Phi_1, \dot{\Phi}_1)$ noktası
 Φ_1 aşağıdaki denklemin en küçük pozitif kökü olarak alınır.

$$\int_0^{\Phi_1} g_1(\Phi) d\Phi + \frac{1}{2} Z_1 \Phi_1 - \frac{3}{2} Z_1 a'_1 = 0, \quad \text{burada } g_1(\Phi) = \Delta GZ(\Phi)$$

alınır ve herhangi bir iterasyon yöntemi ile denklemin kökü kolaylıkla bulunur.

Φ_1		rad
$\dot{\Phi}_1 = b'_1$		rad/s

iii) $P_2(\Phi_2, \dot{\Phi}_2)$ noktası

$\Phi_2 = \Phi_V$		rad
-------------------	--	-----

$$\Phi_2 = \Phi_1 + [C_{11} * (\Phi_3^2 - \Phi_1^2) / 2 - C_{22} * (\Phi_3^4 - \Phi_1^4) / 4] / Z_1 - (b'_1)^2 * IJ / (2 * Z_1)$$

 Φ_2 bulunmasında aşağıdaki durumlar ortaya çıkabilir :

- a) $\Phi_2 < \Phi_1$ ise "Pratik stabilite bölgesi oluşmaz ve bu durumda sönüm yetersizdir "
- b) $\Phi_2 > \Phi_3$ ise "(P₁P₂) eğrisi üçüncü bölgeyi de kapsar ve III. bölge oluşmaz". Bu durumda II. bölgenin sınırını bulmak gereklidir yani $\dot{\Phi}_2 = 0$ alarak Φ'_2 bulunur.

$$V_2 = 0.5(b'_1)^2 + \frac{\int_0^{\Phi_2} g_1(\Phi) d\Phi - Z_1 \Phi_2}{I+J} \rightarrow V_2 - \frac{\int_0^{\Phi_2} g_1(\Phi) d\Phi + Z_1 \Phi_2}{I+J} = 0$$

Yukarıdaki denklemin kökü Φ'_2 olarak alınır.

$$c) \Phi_1 < \Phi_2 < \Phi_3 \text{ ise } \dot{\Phi}_2 = \sqrt{\frac{2 \int_0^{\Phi_2} g_1(\Phi) d\Phi}{I+J}}$$

$\Phi_2 =$		rad
$\dot{\Phi}_2 =$		rad/s

iv) $P_3(\Phi_3, \dot{\Phi}_3)$ noktası

$\Phi_3 = \Phi_V$		rad.
$\dot{\Phi}_3 = 0$		rad/s.

9. Φ_{m_r} Kriteri

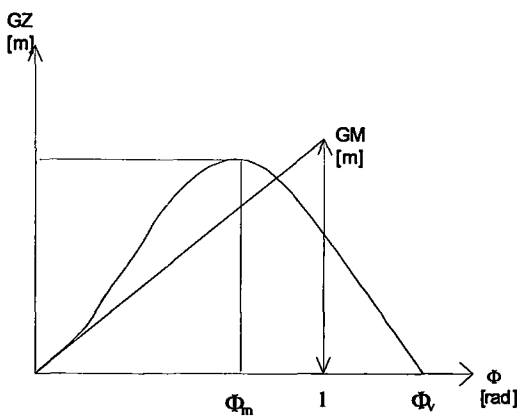
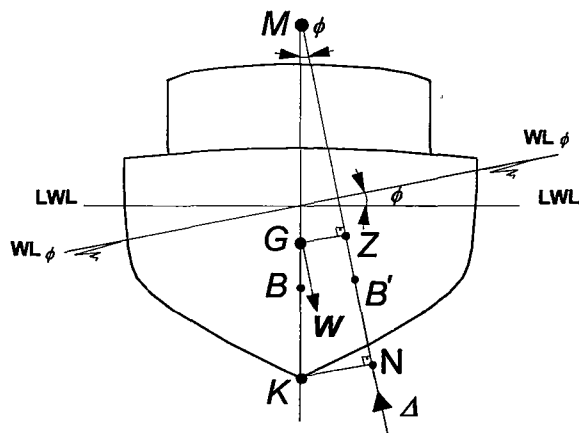
$$\Phi_{m_r} = [WM_1 + (WM_1^2 + 5 * \Delta * GM * E_1 * T_\Phi / 12)^{0.5}] / (5 * \Delta * GM / 6) \quad \text{rad}$$

 $\Phi_m < \Phi_{m_r}$ ise "mevcut Φ_m yetersizdir"

10. GM_r Kriteri

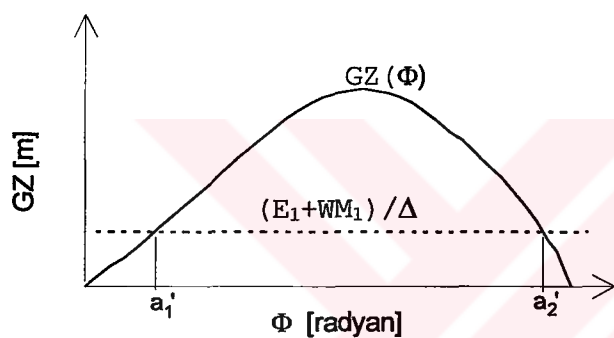
$$GM_r = 1.89 * [(E_1 + WM_1)^2 * C_{22}]^{1/3} / \Delta \quad \text{m.}$$

 $GM > GM_r$ ise "mevcut GM yeterlidir"

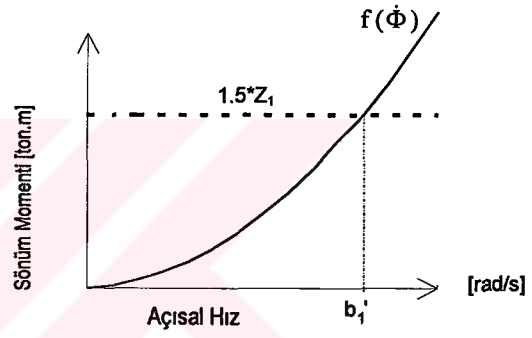


Şekil E2.1 Meyilli bir geminin geometrik özellikleri

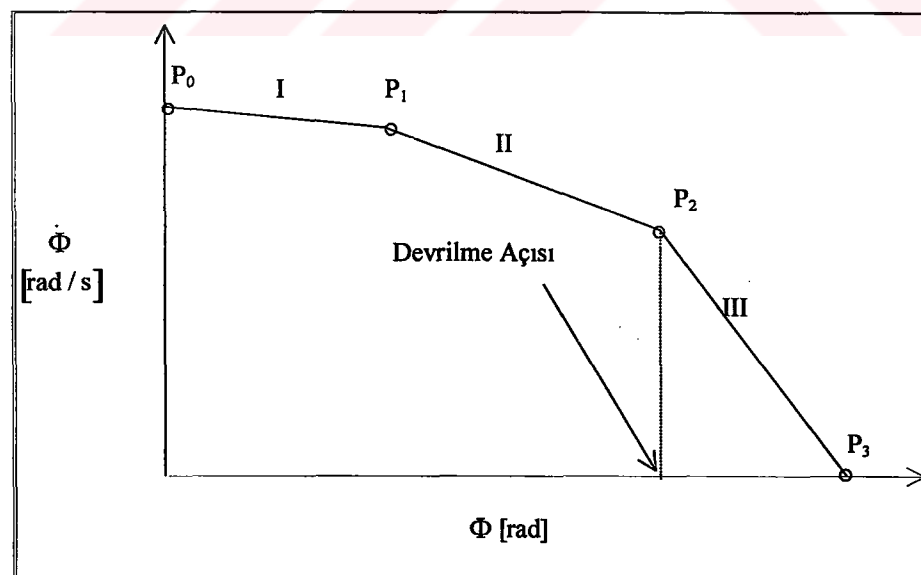
Şekil E2.2 GZ-Φ eğrisi



Şekil E2.3 Doğrultma momenti ve zorlamalar



Şekil E2.4 Sönüüm momenti ve zorlamalar



Şekil E2.5 Pratik stabilite bölgeleri

ÖZGEÇMİŞ

Doğum tarihi 15.09.1970

Doğum yeri Tirebolu

Lise	1984 - 1987	Şişli Endüstri Meslek Lisesi Elektronik Bölümü
Lisans	1987 - 1991	İstanbul Teknik Üniversitesi Gemi İnşaatı ve Deniz Bilimleri Fakültesi Deniz Bilimleri Bölümü
Yüksek Lisans Enstitüsü	1992 - 1994	Yıldız Teknik Üniversitesi, Fen Bilimleri Gemi İnşaatı Mühendisliği Anabilim Dalı
Doktora Enstitüsü	1994 - 1998	Yıldız Teknik Üniversitesi, Fen Bilimleri Gemi İnşaatı Mühendisliği Anabilim Dalı

Çalıştığı Kurumlar

Mühendisi	1991 - 1992	Fransız Loydu (Bureau Veritas), Kontrol
	1993 -	Yıldız Teknik Üniversitesi, Makine Fakültesi Gemi İnşaatı Mühendisliği Bölümü Araştırma Görevlisi

Diğer

Medeni Hal Evli ve bir çocuk babası

Yabancı Dil İngilizce